

UNIVERSITE DE POITIERS
CENTRE D'ETUDES SUPERIEURES DE CIVILISATION MEDIEVALE
ECOLE DOCTORALE LETTRES, PENSEES, ARTS ET HISTOIRE

**THESE DE DOCTORAT D'HISTOIRE DE L'ART
ET ARCHEOLOGIE DU MOYEN AGE**

PIERRE MARTIN

**LES PREMIERS CHEVETS A DEAMBULATOIRE
ET CHAPELLES RAYONNANTES
DE LA LOIRE MOYENNE (X^e-XI^e SIECLES)**

SAINT-AIGNAN D'ORLEANS

SAINT-MARTIN DE TOURS

NOTRE-DAME DE MEHUN-SUR-YEVRE

LA MADELEINE DE CHATEAUDUN

VOL 2 : FIGURES

SOUS LA DIRECTION DE CLAUDE ANDRAULT-SCHMITT

JURY

CLAUDE ANDRAULT-SCHMITT

PROFESSEUR A L'UNIVERSITE DE POITIERS

CHRISTIAN SAPIN

DIRECTEUR DE RECHERCHE AU C.N.R.S. - C.E.M. AUXERRE

QUITTERIE CAZES

MAITRE DE CONFERENCES H.D.R. A L'UNIVERSITE DE PARIS-I PANTHEON-SORBONNE

DANIEL PRIGENT

ARCHEOLOGUE DEPARTEMENTAL DE MAINE-ET-LOIRE

CECILE TREFFORT

PROFESSEUR A L'UNIVERSITE DE POITIERS

DECEMBRE 2010

UNIVERSITE DE POITIERS
CENTRE D'ETUDES SUPERIEURES DE CIVILISATION MEDIEVALE
ECOLE DOCTORALE LETTRES, PENSEES, ARTS ET HISTOIRE

**THESE DE DOCTORAT D'HISTOIRE DE L'ART
ET ARCHEOLOGIE DU MOYEN AGE**

PIERRE MARTIN

**LES PREMIERS CHEVETS A DEAMBULATOIRE
ET CHAPELLES RAYONNANTES
DE LA LOIRE MOYENNE (X^e-XI^e SIECLES)**

**SAINT-AIGNAN D'ORLEANS
SAINT-MARTIN DE TOURS
NOTRE-DAME DE MEHUN-SUR-YEVRE
LA MADELEINE DE CHATEAUDUN**

VOL 2 : FIGURES

SOUS LA DIRECTION DE CLAUDE ANDRAULT-SCHMITT

JURY

CLAUDE ANDRAULT-SCHMITT
PROFESSEUR A L'UNIVERSITE DE POITIERS

CHRISTIAN SAPIN
DIRECTEUR DE RECHERCHE AU C.N.R.S. - C.E.M. AUXERRE

QUITTERIE CAZES
MAITRE DE CONFÉRENCES H.D.R. A L'UNIVERSITE DE PARIS-I PANTHEON-SORBONNE

DANIEL PRIGENT
ARCHEOLOGUE DEPARTEMENTAL DE MAINE-ET-LOIRE

CECILE TREFFORT
PROFESSEUR A L'UNIVERSITE DE POITIERS

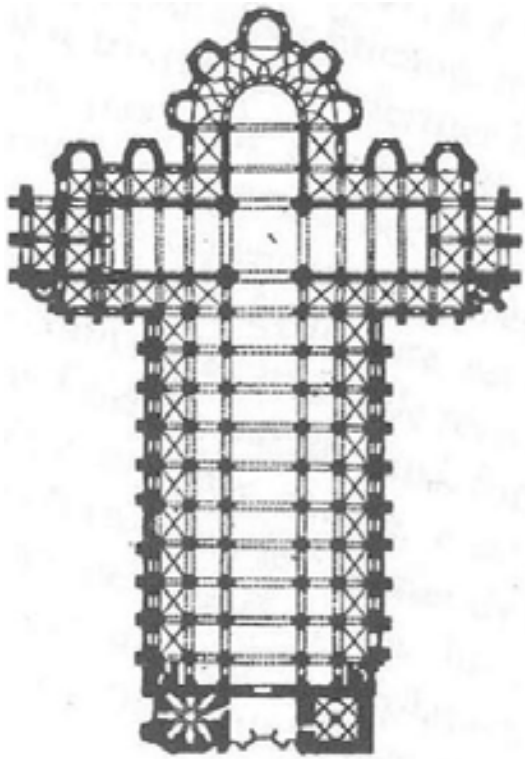
DECEMBRE 2010

Sommaire

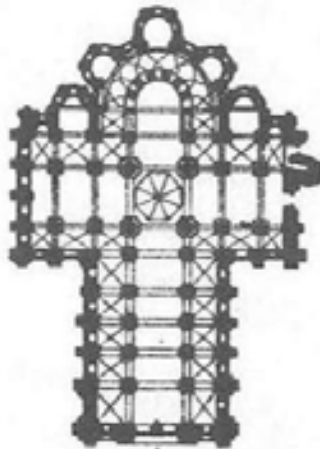
Figures ————— p. 3

Table des figures ——— p. 237

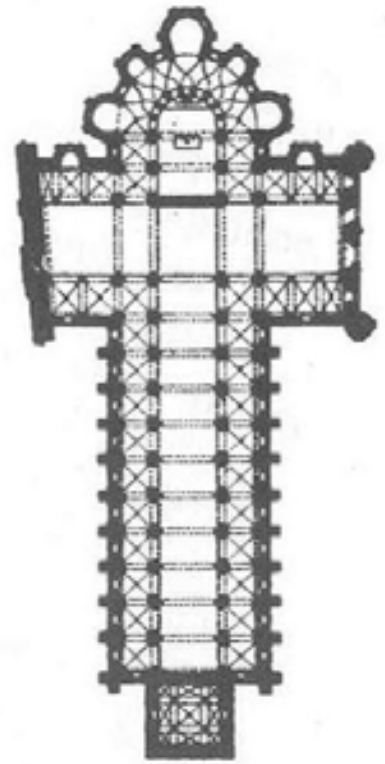
FIGURES



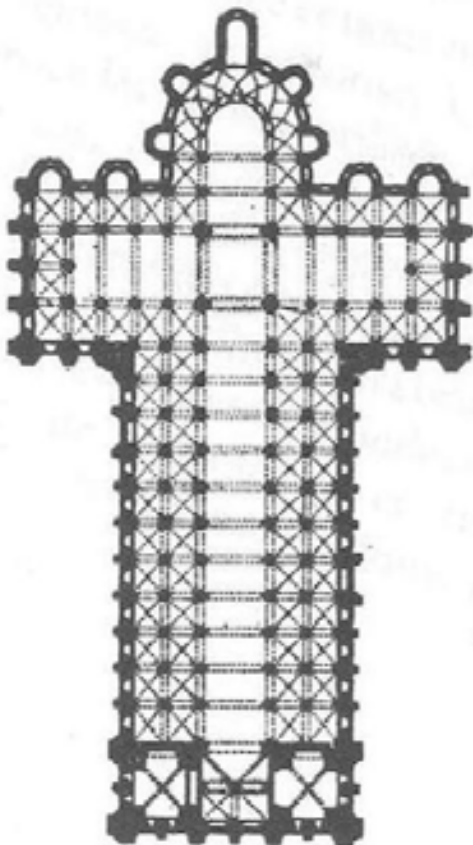
①



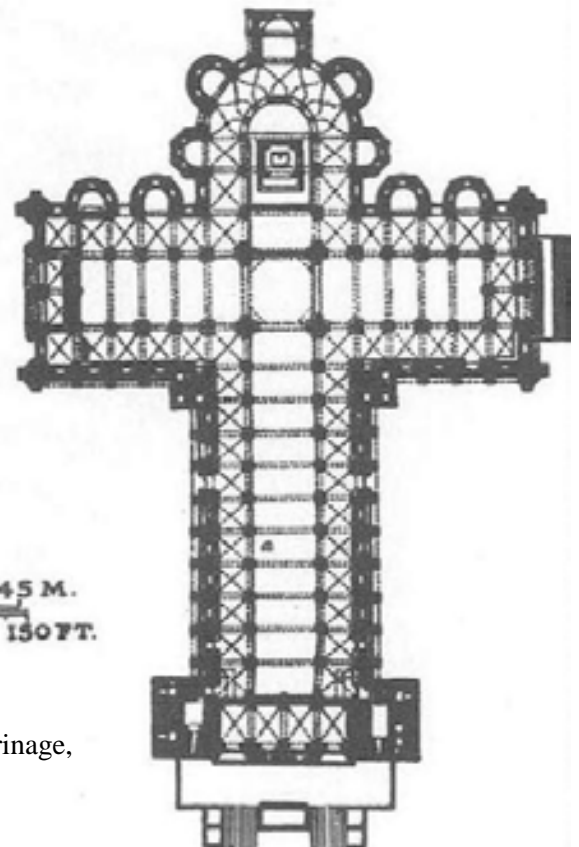
③



②



④



⑤



Fig.1 - Les églises de pèlerinage,
d'après CONANT 1959.

1 : Tours, Saint-Martin.

2 : Limoges, Saint-Martial.

3 : Conques, Sainte-Foy.

4 : Toulouse, Saint-Sernin.

5 : Compostelle, Saint-Jacques.



Fig. 2 - Orléans. Plan de situation extrait de la carte I.G.N. 22190 (1:25000^e).



Fig. 3 - Orléans. Cadastre, section BM, 1969.



Fig. 4 - Orléans, cadastre napoléonien, section C dite de Saint-Aignan (1823) (A. D. Loiret : Fi 505 [2 Mi 5245]).

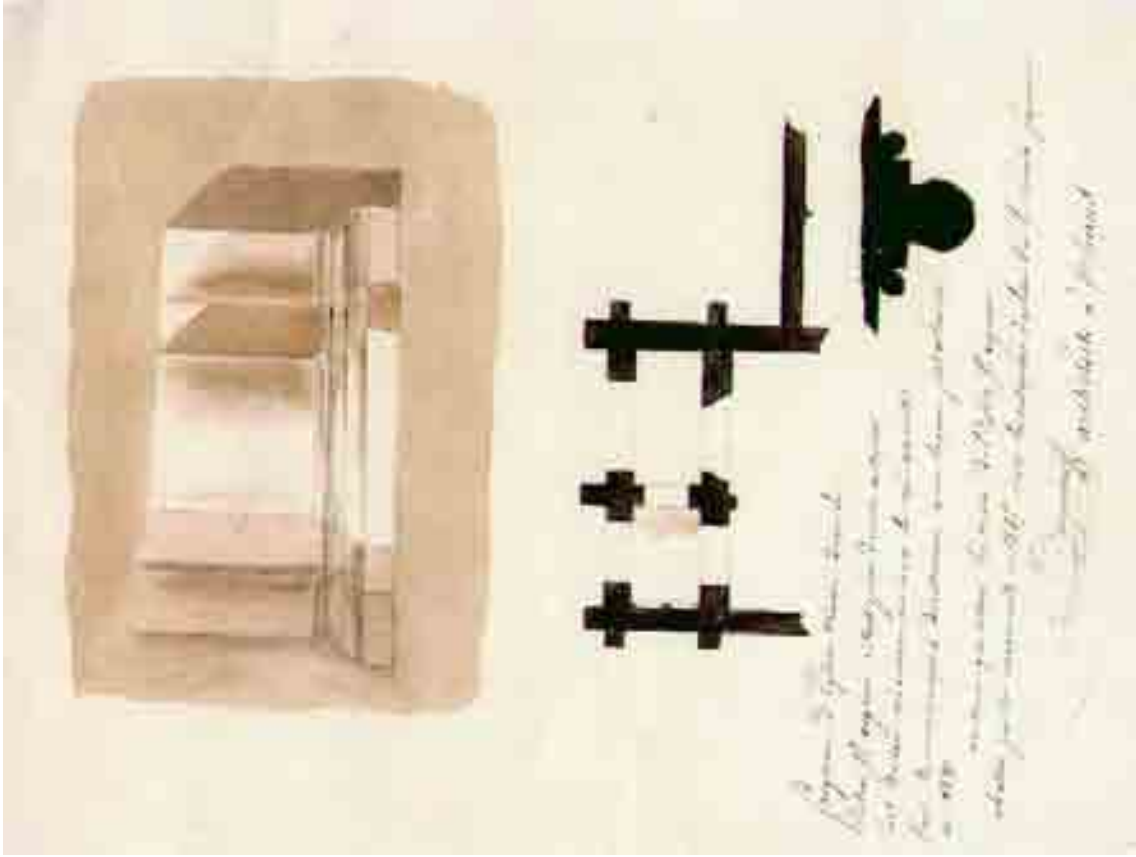


Fig. 5 - Orléans, église Saint-Aignan. Cloître (localisation inconnue), découvertes archéologiques faites en 1821, aquarelle de Thuillier, (coll. Société archéologique et historique de l'Orléanais).

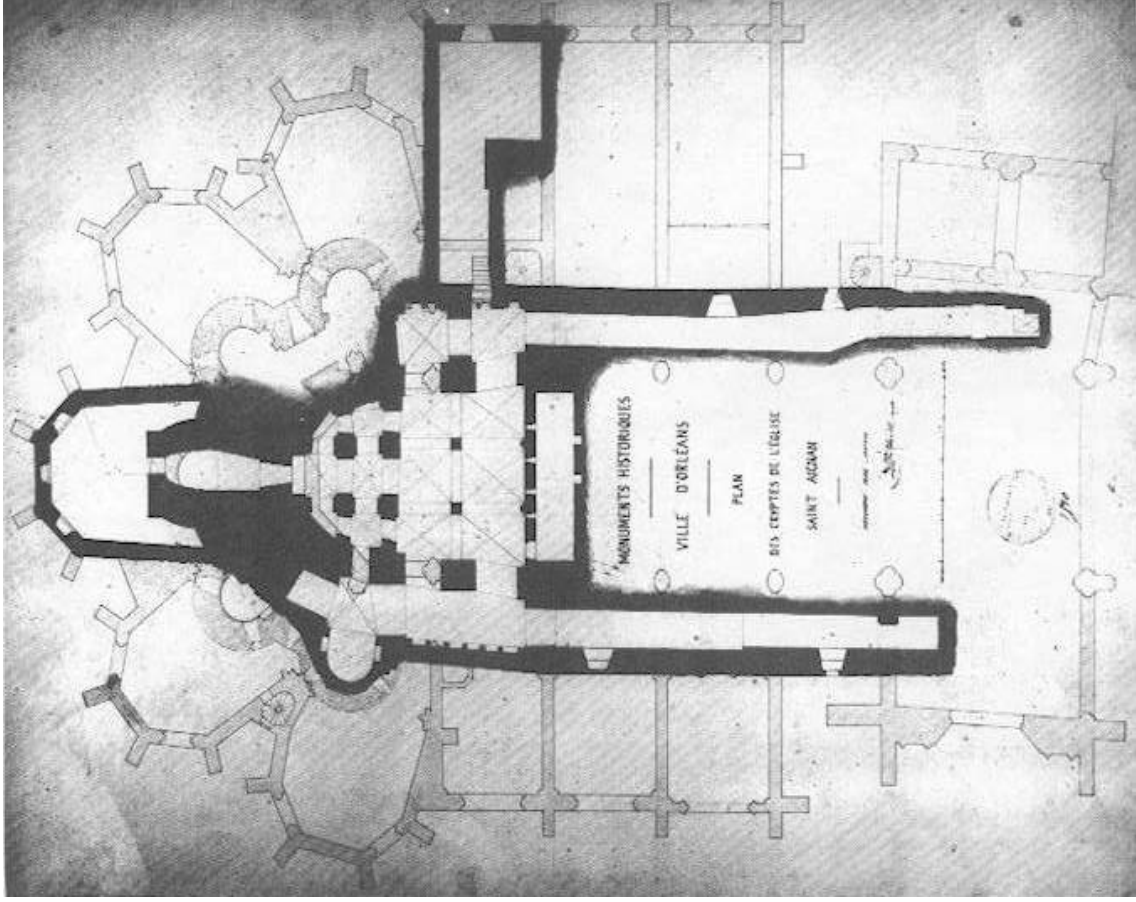


Fig. 6 - Orléans, église Saint-Aignan. Plan des cryptes de L.-W. Clouët (1846). Méd. Patrimoine, réf. 1510.

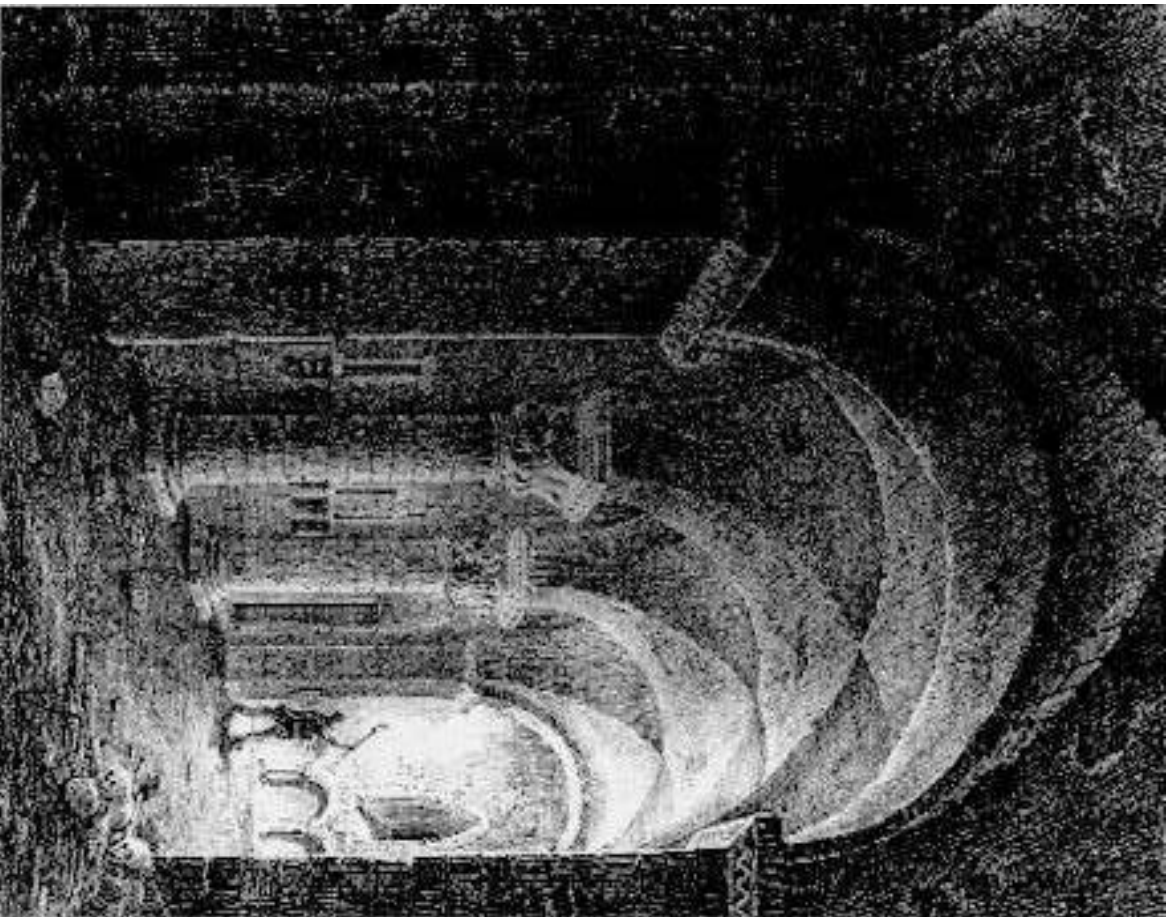


Fig. 7 - Orléans, église Saint-Aignan. Crypte, *martyrium* vu vers le nord, première moitié du XIX^e siècle (?) (cl. Inventaire réf. 85 45 0423 X).



Fig. 8 - Orléans, crypte Saint-Avit. Mur transversal du *martyrium* vu vers l'ouest.



Fig. 10 - Orléans, église Saint-Aignan. Crypte, collatéral nord et couloir nord, vue générale vers l'ouest.



Fig. 9 - Orléans, église Saint-Aignan. Crypte, couloir sud, vue générale vers l'ouest.

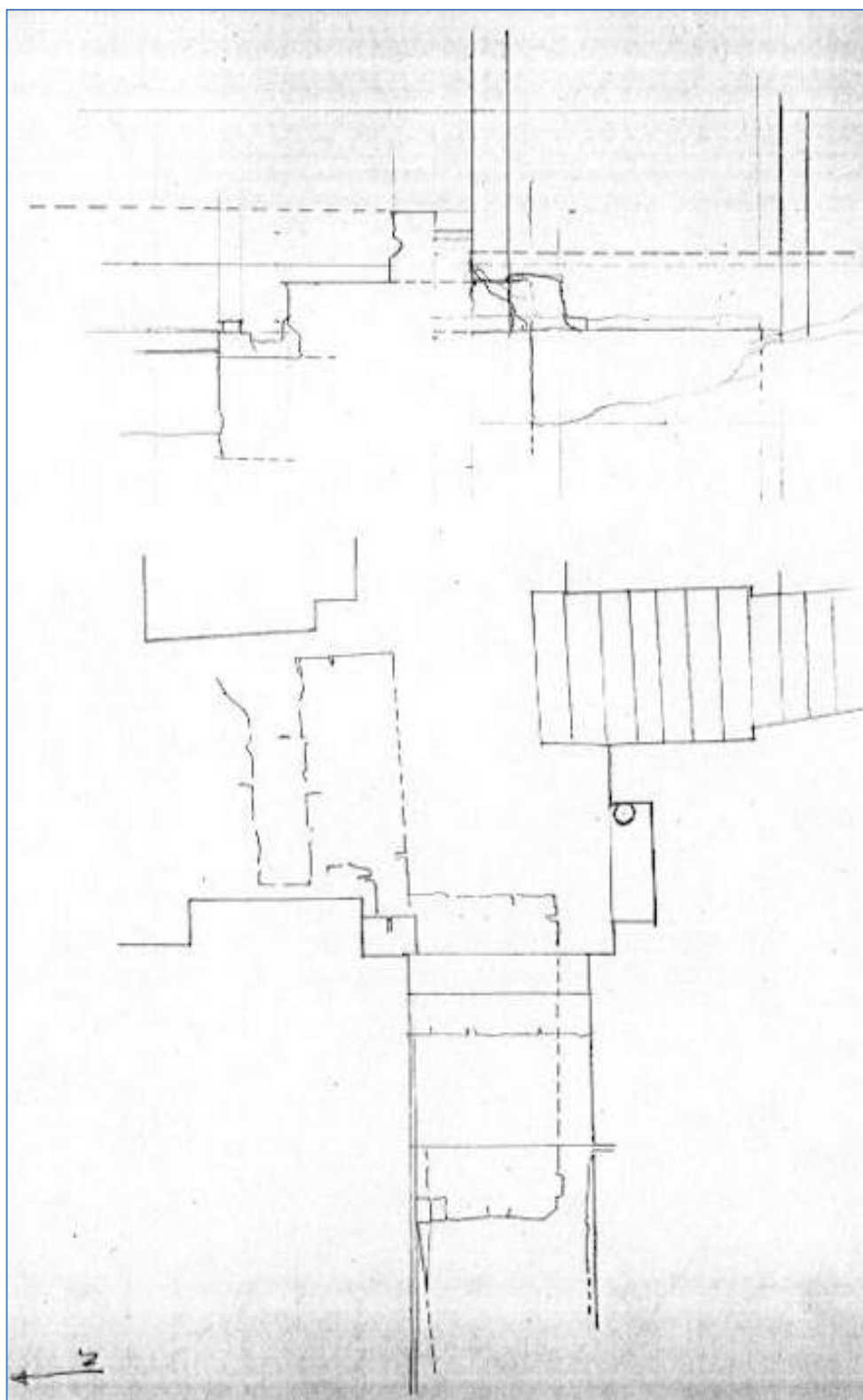


Fig. 11 - Orléans, église Saint-Aignan. Coupe ouest-est du sondage ouvert à l'entrée du couloir sud et dans la première travée du collatéral sud de la crypte et plan de ce même sondage attribué à P. Rousseau, non daté (S.D.A.P. Loiret : dossier Orléans, église Saint-Aignan).



Fig. 12 - Orléans, église Saint-Aignan. Couloir sud, secteur 1 : maçonneries US 6014 et 6017. Au fond, le sol géologique (US 6029) (cl. C. Arnaud).



Fig. 13 - Orléans, église Saint-Aignan. Crypte, couloir sud, secteur 1 : murs de fondation US 6015 et 6017 (cl. C. Arnaud).



Fig. 14 - Orléans,
église Saint-Aignan.
Crypte, couloir sud,
secteur 1 : vue vers
l'est (cl. C. Arnaud).



Fig. 15 - Orléans,
église Saint-Aignan.
Crypte, couloir sud,
secteur 3 :
maçonneries US 6001
et 6002 (cl. C.
Arnaud).



Fig. 16 - Orléans, église Saint-Aignan. Crypte, couloir sud, secteur 3 : maçonneries US 6002 et 6005 (cl. C. Arnaud).



Fig. 17 - Orléans, église Saint-Aignan. Crypte, couloir sud, secteur 3 : maçonneries US 6001 et 6003 (cl. C. Arnaud).



Fig. 18 - Orléans, église Saint-Aignan. crypte, façade du *martyrium*, chapiteaux. A : chapiteau sud, cl. sap01_mh072640_t. B : chapiteau nord, face est, cl. sap01_mh072643_t.



Fig. 19 - Orléans, église Saint-Aignan. Crypte, façade du *martyrium* vue vers le nord-ouest.



Fig. 20 - Orléans, église Saint-Aignan. Crypte, couloir nord, mur sud vu vers l'ouest.



Fig. 21 - Orléans, église Saint-Aignan. Crypte, couloir sud, mur nord vu vers l'ouest.



Fig. 22 - Orléans, église Saint-Aignan. Crypte, façade du *martyrium*, travée nord.



Fig. 23 - Orléans, église Saint-Aignan. Crypte, *martyrium*, vue intérieure vers le sud.





Fig. 24 - Orléans, église Saint-Aignan. Crypte, *martyrium*, mur ouest, détail de la niche sud.



Fig. 25 - Orléans, église Saint-Aignan. Crypte, couloir sud, mur sud, pile 6012 et mur 6006.



Fig. 26 - Orléans, église Saint-Aignan. Crypte, couloir nord, mur nord, détail.



Fig. 27 - Orléans, église Saint-Aignan. Crypte, couloir sud, mur sud, baie 6086 vue vers l'est.





Fig. 28 - Orléans, église Saint-Aignan. Crypte, couloir nord, vue générale vers l'ouest.

Fig. 29 - Orléans, église Saint-Aignan. Crypte, couloir sud, voûte 6023 vue vers l'est.





Fig. 30 - Orléans, église Saint-Aignan. Crypte, couloir sud, voûte 6024 vue vers l'est.



Fig. 31 - Orléans, église Saint-Aignan. Crypte, couloir sud, voûte 6025 vue vers l'ouest.



Fig. 32 - Orléans,
église Saint-Aignan.
Crypte, couloir sud,
mur nord, US 6022
et 6028.



Fig. 33 - Orléans,
église Saint-Aignan.
Crypte, couloir nord et
collatéral nord, vue
générale vers l'est.

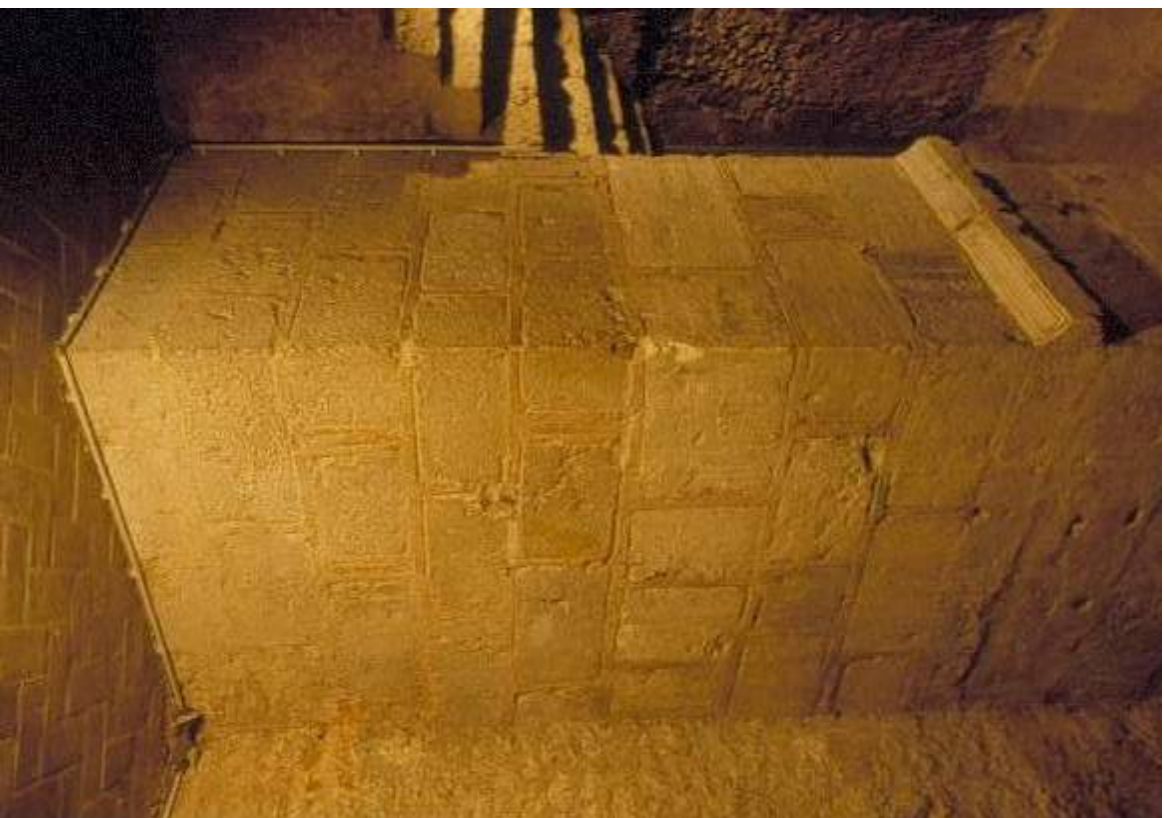


Fig. 34 - Chartres, cathédrale Notre-Dame. Crypte Saint-Lubin, pilier sud-ouest.



Fig 35 - Orléans, église Saint-Aignan. Crypte, espace I, chapelle rayonnante nord, vue générale (cl. J.-P. Martin).



Fig. 36 - Orléans, église Saint-Aignan. Crypte, espace II, chapelle axiale, vue intérieure vers l'est.



Fig. 37 - Orléans, église Saint-Aignan. Crypte, soubassement de la chapelle d'axe en 1979 (cl. Inventaire réf. 79 45 0757 X).



Fig. 38 - Orléans, église Saint-Aignan. Crypte, chapelle nord et collatéral nord vus vers le nord-ouest.



Fig. 39 - Orléans, église Saint-Aignan. Crypte, chapiteaux des arcatures murales des collatéraux.



A : collatéral nord, chapiteau ouest, cl. sap01_mh072639_t.

B : collatéral nord, chapiteau central, cl. ap01_mh072637_t.

C : collatéral nord, chapiteau est, cl. sap01_mh072638_t.

D : collatéral sud, chapiteau ouest, cl. sap01_mh072641_t.





Fig. 40 - Orléans, église Saint-Aignan. Crypte, collatéral nord, mur nord, travée ouest.



Fig. 41 - Orléans, église Saint-Aignan. Crypte, collatéral sud, mur sud, travée ouest.



▲
Fig. 42 - Orléans, église Saint-Aignan. Crypte, salle centrale vue vers le sud-ouest.



►
Fig. 43 - Orléans, église Saint-Aignan. Crypte, déambulatoire, travée nord (cl. J.-P. Martin).



Fig. 44 - Orléans, église Saint-Aignan. Crypte, espace I, chapelle nord, niche 101, second claveau gauche, épigraphie SCS STE / PHANVS (cl. J.-P. Martin).



Fig. 45 - Orléans, église Saint-Aignan. Crypte, espace I, chapelle nord, niche orientale, emploi de sarcophage (cl. J.-P. Martin).



Fig. 46 - Orléans, église Saint-Aignan. Crypte, espace II, chapelle axiale (extérieur), vue du côté sud vers l'ouest.



Fig. 47 - Orléans, église Saint-Aignan. Crypte, espace II, chapelle axiale (extérieur), vue du côté nord vers l'ouest.



◀
Fig. 48 - Orléans, église Saint-Aignan. Crypte, chapelle axiale, vue intérieure de la baie sud.

Fig. 49 - Orléans, église Saint-Aignan. Crypte, chapelle axiale, mur plat réaménagé sur l'absidiole.





▲
Fig. 50 - Orléans, église Saint-Aignan. Crypte, chapelle axiale (intérieur), traces de badigeon jaune sur l'arc d'entrée.



▶
Fig. 51 - Orléans, église Saint-Aignan. Espace III, soubassement de la chapelle sud-est, chapelles rayonnantes et déambulatoire de la crypte (cl. J.-P. Martin).



▲
Fig. 52 - Orléans,
église Saint-Aignan.
Espace III,
soubassement de la
chapelle sud-est, vue
générale vers le nord
(cl. J.-P. Martin).



◀
Fig. 53 - Orléans,
église Saint-Aignan.
Crypte, salle centrale
vue vers le nord-est.



Fig. 54 - Orléans, église Saint-Aignan. Crypte, chapiteaux de la salle centrale (cl. Désir).

A : chapiteau nord-est.

B : chapiteau sud-est.

C : chapiteau central, côté nord.

D : chapiteau central, côté sud.

E : chapiteau nord-ouest (face est).

F : chapiteau sud-ouest.





A : face est.



B : face nord (détail).



C : face ouest.

Fig. 55 - Orléans, église Saint-Aignan. Crypte, salle centrale, chapiteau nord-ouest.



Fig. 56 - Saint-Benoît-sur-Loire, abbatale Notre-Dame. Tour-porche, rez-de-chaussée vu du nord-ouest.



Fig. 57 - Orléans, cathédrale Sainte-Croix. Sous-sol archéologique, chapelle axiale, piédroit nord.



Fig. 58 - Orléans, cathédrale Sainte-Croix. Sous-sol archéologique, collatéral nord, pile composée.



Fig. 59 - Saint-Benoît-sur-Loire, abbatale Notre-Dame. Crypte Saint-Mommole, vue générale vers le sud-ouest.



Fig. 60 - Auxerre,
cathédrale Saint-Etienne.
Crypte, salle centrale, pile
composée.

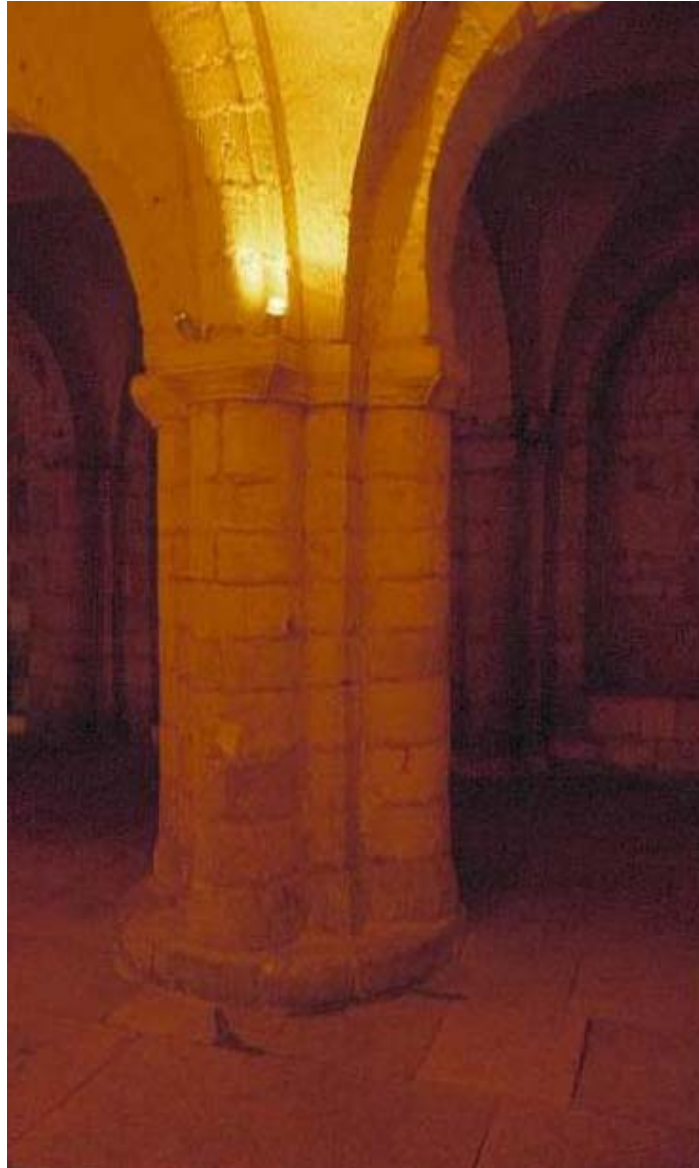


Fig. 61 - Nevers, cathédrale
Saint-Cyr-et-Sainte-Julitte.
Crypte, vue générale vers le
nord-ouest.





Fig. 62 - Orléans, église Saint-Aignan. Crypte, salle centrale, sondage du Dr Lesueur : fondation des piliers de l'abside (cl. Désir, 17 déc. 1954).



Fig. 63 - Orléans, église Saint-Aignan. Crypte, espace V, déambulatoire nord vu vers le nord.



▲
Fig. 64 - Orléans, église
Saint-Aignan. Transept,
bras sud, chapelle
orientée mise au jour par
le D^r Lesueur.



►
Fig. 65 - Orléans, église
Saint-Aignan. Transept,
bras nord, angle nord-est,
sondage du D^r Lesueur
(cl. Désir).



Fig. 66 - Orléans, église Saint-Aignan. Transept, bras nord, pilier à pilastre, sondage du Dr Lesueur (cl. Désir).



Fig. 67 - Orléans, église Saint-Aignan. Transept, bras nord, colonne, sondage du Dr Lesueur (cl. Désir).



Fig. 68 - *Tableau des Echevins*, vue de la ville d'Orléans. Anonyme, seconde moitié du XVI^e siècle (Orléans, Musée des Beaux-Arts).

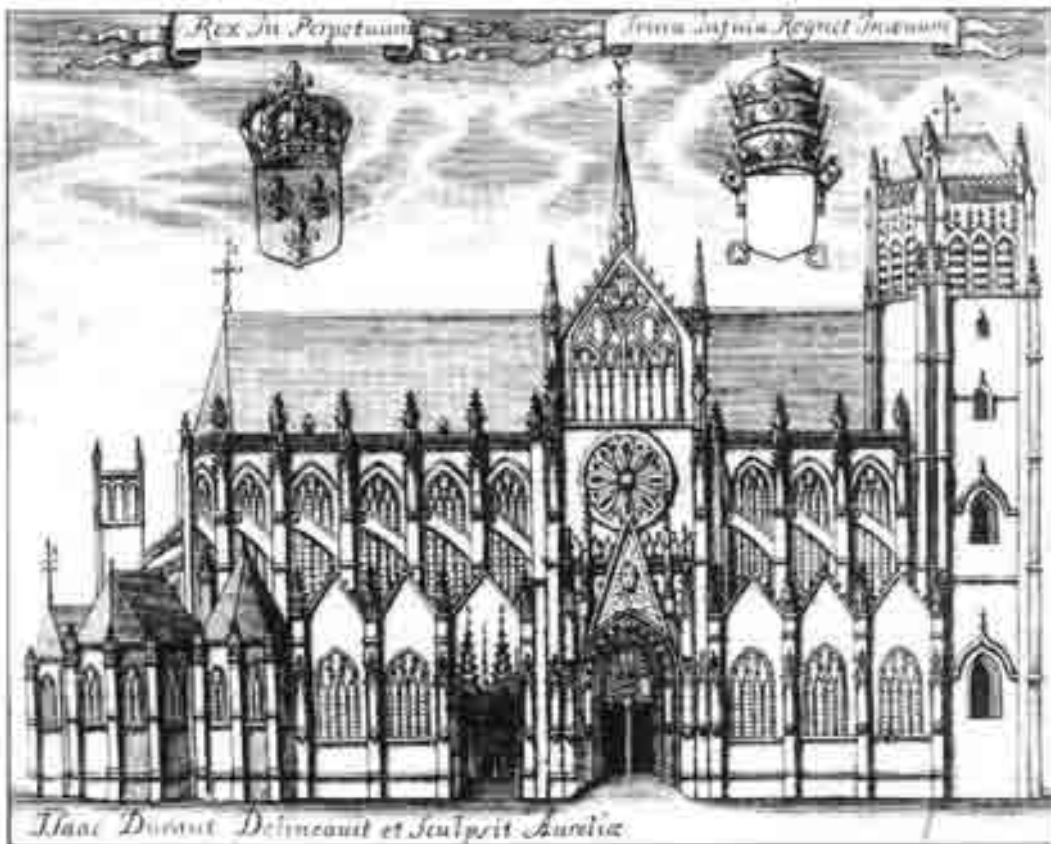


Fig. 69 - Orléans, église Saint-Aignan. Collégiale, côté nord. Gravure d'après HUBERT 1661.



Fig. 70 - Orléans, église Saint-Aignan. Espace III, soubassement de la chapelle sud-est, mur sud-est (cl. J.P. Martin).



Fig. 71 - Orléans, église Saint-Aignan. Collégiale, vue intérieure vers l'est en 1923.
Cl. sap01_mh072510_t.

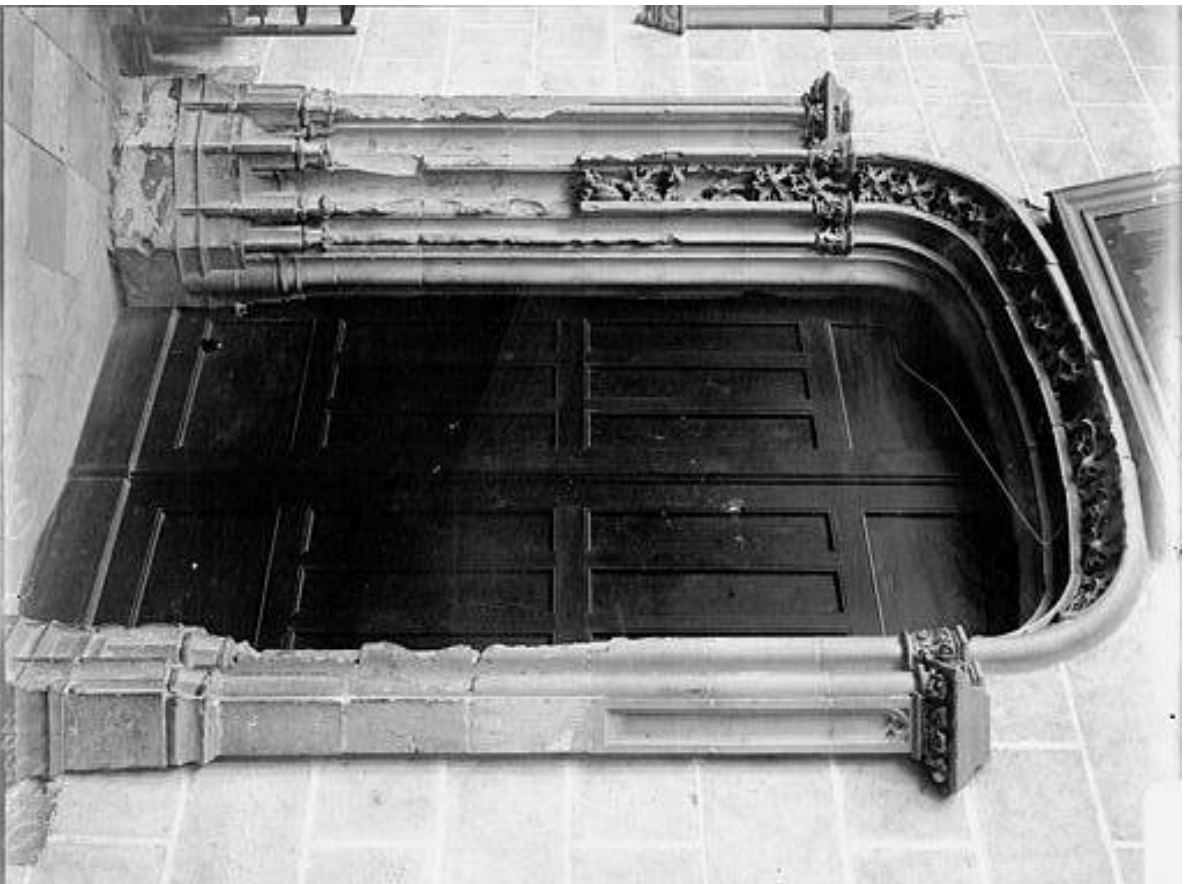


Fig. 72 - Orléans, église Saint-Aignan. Collégiale, collatéral sud, ancienne porte d'accès à la sacristie. Cl. sap01_mh034567_p (C. Enlart).



Fig. 73 - Orléans, église Saint-Aignan. Collégiale, déambulatoire, contrefort sud-est de l'ancienne abside.



Fig. 74 - Orléans, église Saint-Aignan. Collégiale, chapelle sud, vue des toitures vers le sud-est.



Fig. 75 - Orléans, église Saint-Aignan. Collégiale, chevet en 1923. Cl. sap01 mh072503 t.



Fig. 76 - Orléans, église Saint-Aignan. Collégiale, sacristies vues du sud avec renforcement des parties inférieures.



Fig. 77 - Orléans, église Saint-Aignan. Collégiale, sacristie occidentale, mur ouest, travée sud.



Fig. 78 - Orléans, église Saint-Aignan. Collégiale, sacristie occidentale, second niveau, cheminée du mur sud.



Fig. 79 - Orléans, église Saint-Aignan. Collégiale, sacristies, mur nord.



Fig. 80 - Orléans, église Saint-Aignan. Collégiale, sacristies, mur est.

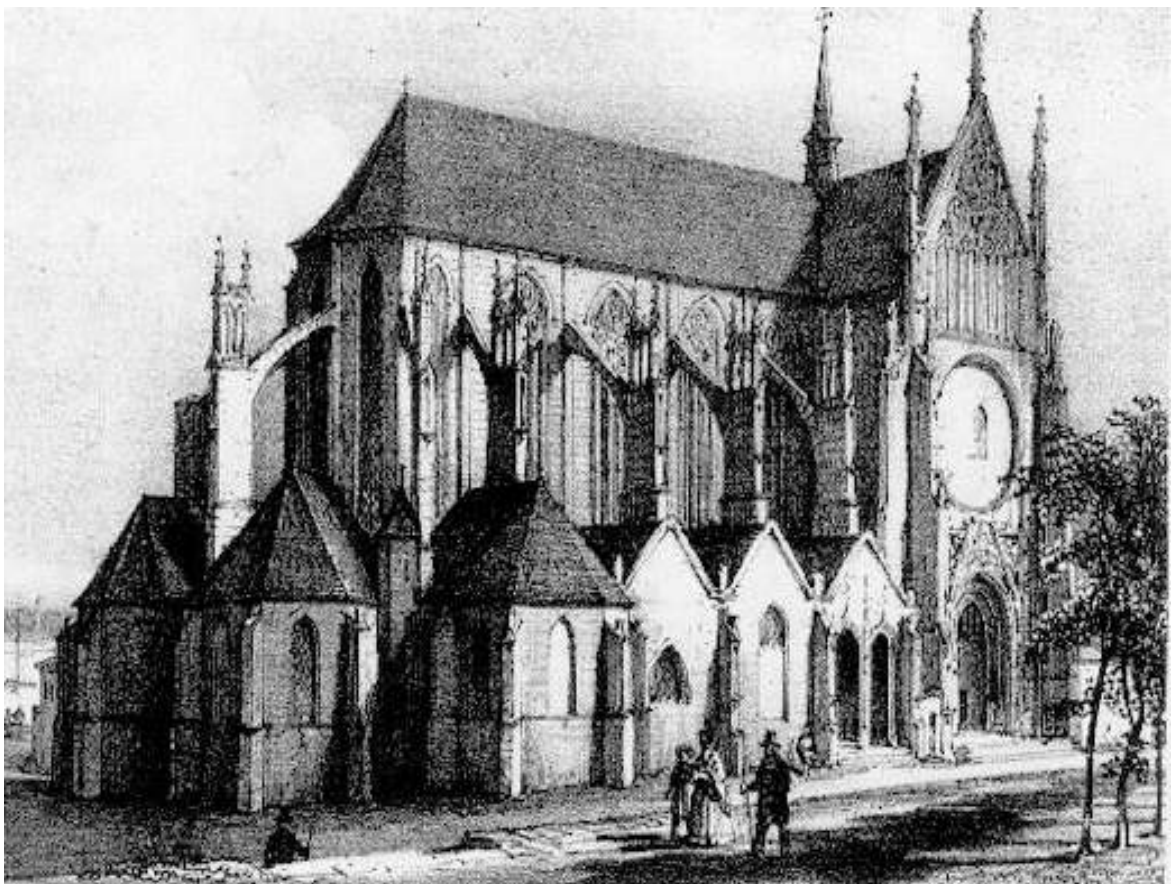


Fig. 81 - Orléans, église Saint-Aignan. Collégiale, chevet et flanc nord (vers 1840 ?), lithographie de C. Pensée (cl. Inventaire réf. 78 45 1920 X).



◀ Fig. 82 - Orléans, église Saint-Aignan. Collégiale, déambulatoire et chapelle rayonnante nord en 1923. Cl. sap01_mh072512_t.

Fig. 83 - Orléans, église Saint-Aignan. Crypte, espace I, chapelle nord, dallage (US 1016) fonctionnant avec l'enduit (USb 1012) (cl. J.P. Martin).





Fig. 84 - Orléans, église Saint-Aignan. Crypte, salle centrale, sondage du Dr Lesueur : emmarchement et dallage de l'abside (cl. Désir, 17 déc. 1954).

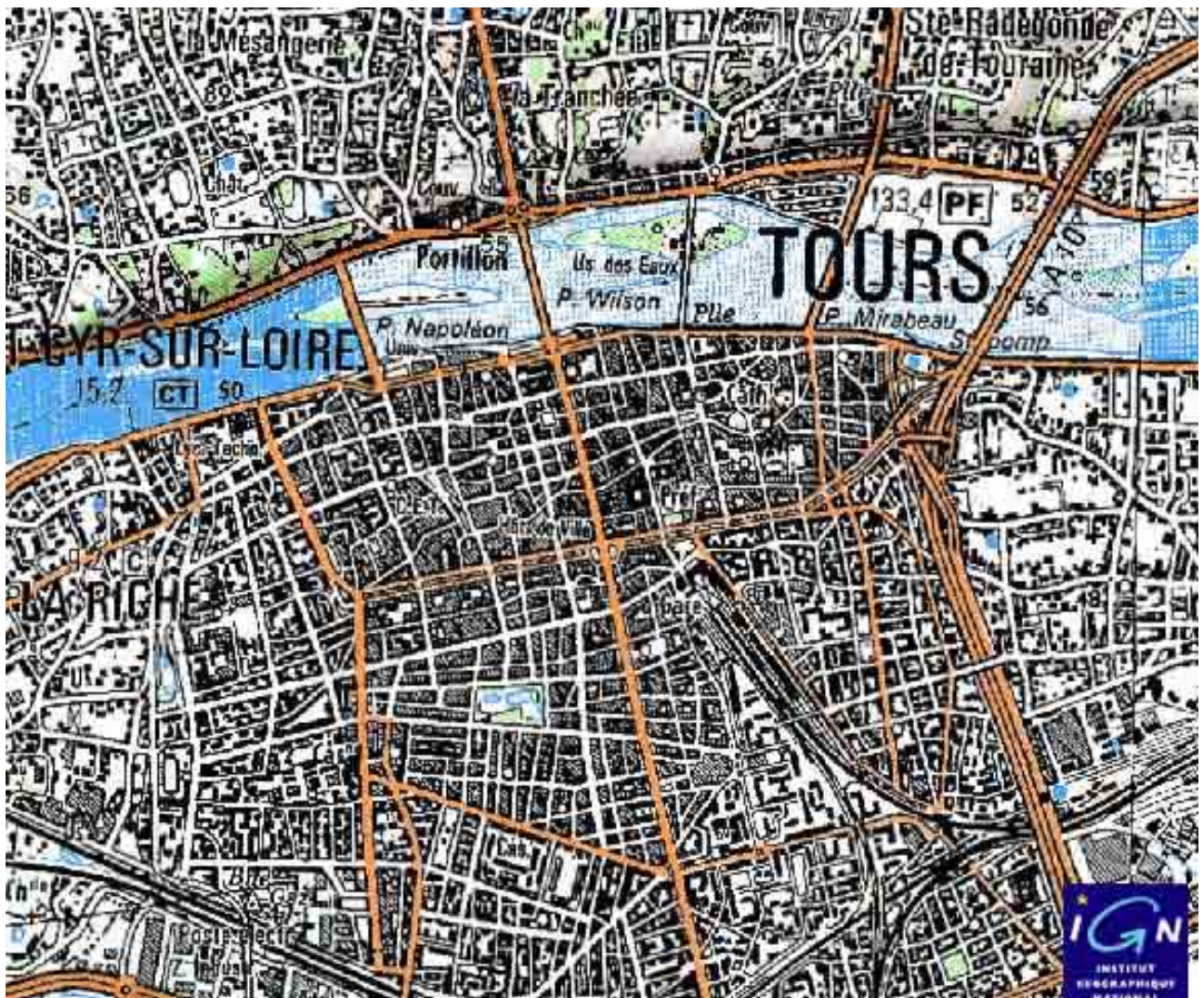


Fig. 85 - Tours. Plan de situation extrait de la carte I.G.N. 1822E (1:25000°).



Fig. 86 - Tours, église Saint-Martin. Plan du cloître en 1762, A. D. Indre-et-Loire : G 381 (cl. A. D. Indre-et-Loire, 83 37 0955 ZM).



Fig. 87 - Tours, église Saint-Martin. Dernière construction en 1014 par Hervé, trésorier du chapitre, copie d'après un dessin original de 1620, d'après CHAMPOISEAU 1841 (cl. R. Malnoury, 83 37 0406 X).





Fig. 88 - Tours, église Saint-Martin. Vue de la collégiale en cours de démantèlement vers 1795 (Société archéologique de Touraine).



Fig. 89 - Tours, église Saint-Martin. Tour de l'Horloge, face ouest. Cl. Méd. Patrimoine sap01_mh010953_p (E. Durand, s.d.).



Fig. 90 - Tours, église Saint-Martin. Tour Charlemagne, face sud. Cl. Méd. Patrimoine sap01_mh010955_p (E. Durand, s.d.).

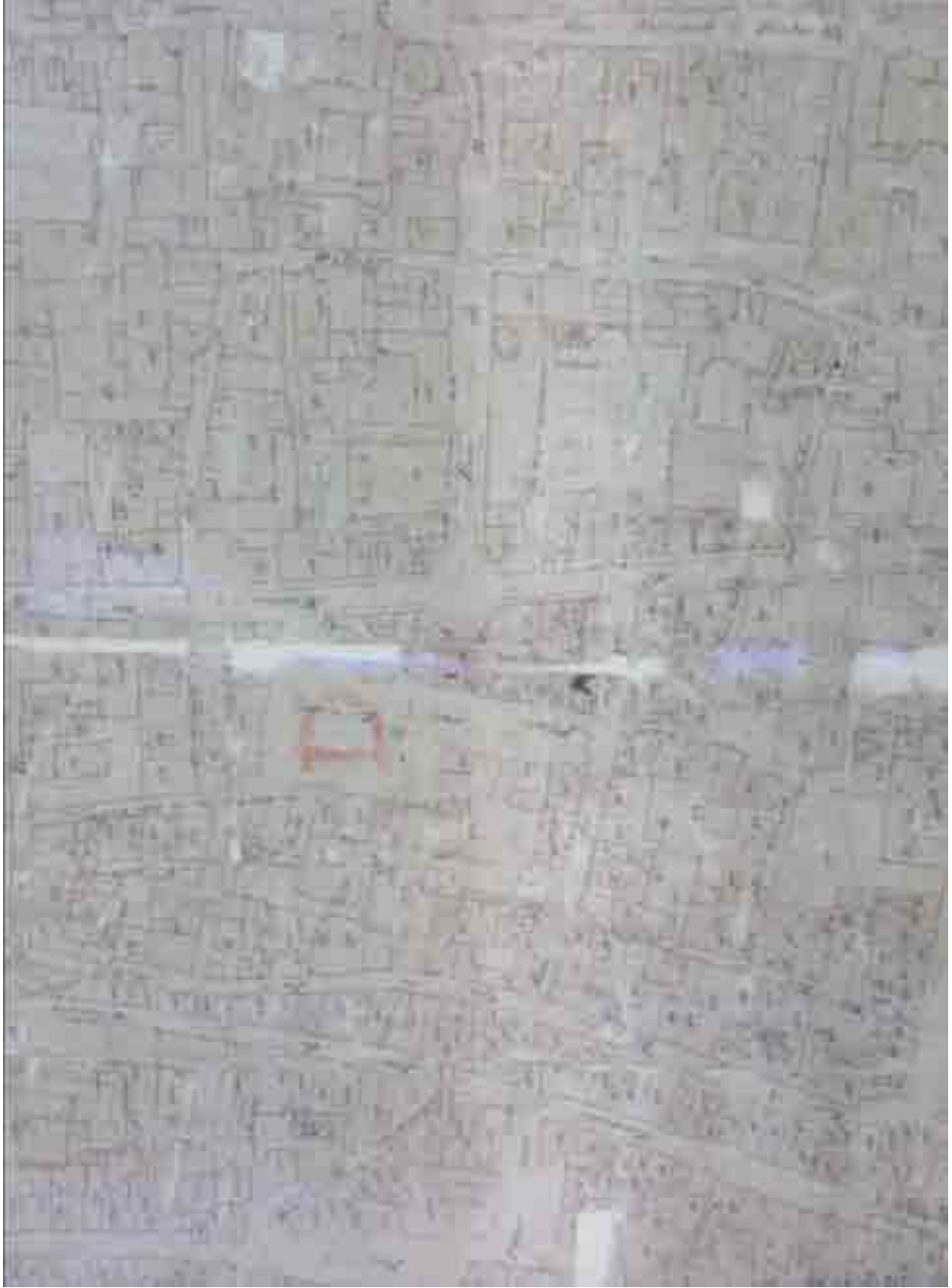


Fig. 91 - Tours. Cadastre napoléonien, section C 2 (Préfecture, Hôtel de Ville et marché), 1811, A.D. Indre-et-Loire, 3P3 302.

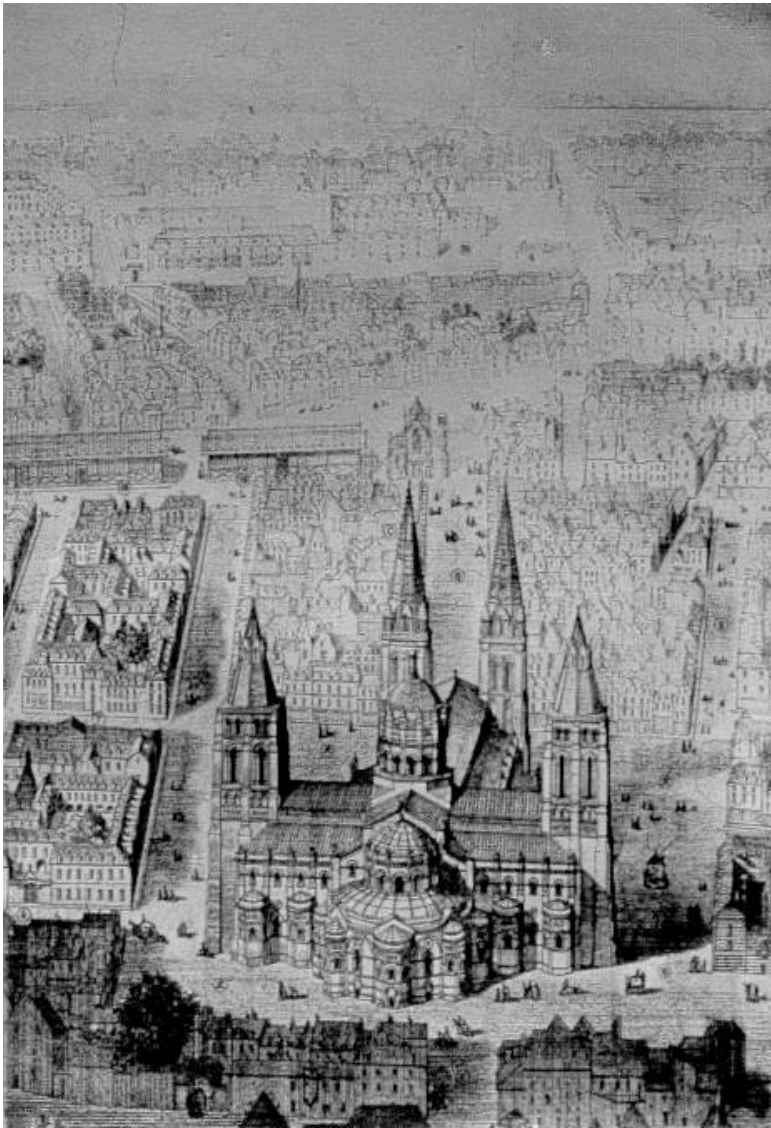


Fig. 92 - Tours, basilique Saint-Martin.
Murets du tombeau de Saint Martin, d'après
BESSE 1922 : pl.XVII.



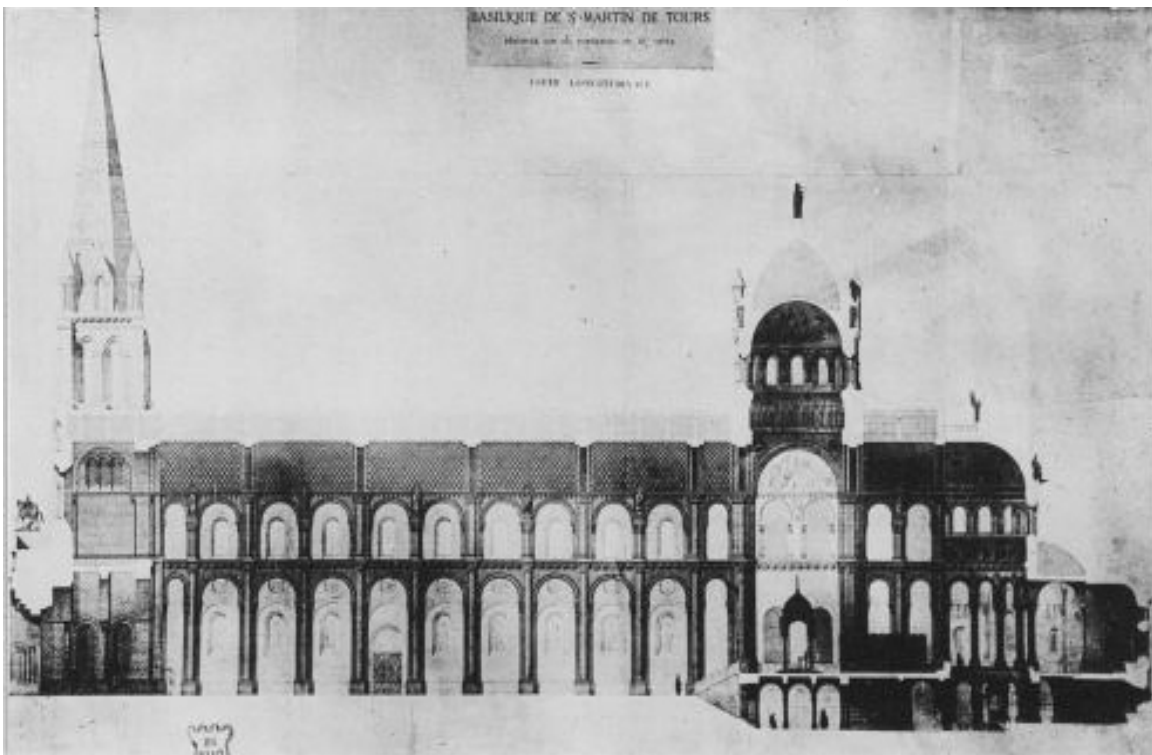
Fig. 93 - Tours, église Saint-Martin. Vue
des vestiges médiévaux visibles à l'air
libre. A droite : première chapelle
provisoire (vers 1865), aquarelle
conservée aux Archives de la Basilique
(cl. R. Malnoury, 83 37 2804 X).





◀
 Fig. 94 - Tours, basilique Saint-Martin. Vue cavalière du projet de reconstruction sur les fondations du XI^e siècle par A. Baillargé (1874), d'après BESSE 1922 : pl.XX.

Fig. 95 - Tours, basilique Saint-Martin. Coupe longitudinale du projet de reconstruction de la basilique sur les fondations du XI^e siècle par A. Baillargé (1874), d'après BESSE 1922 : pl. XXIV (cl. J.-C. Jacques, 86 37 0760 ☒).





◀
 Fig. 97 - Tours, basilique Saint-Martin. Chevet vu du nord-ouest, d'après BESSE 1922 : pl. XXX.

Fig. 98 - Tours, basilique Saint-Martin. Vue générale des fouilles vers le sud-est (fin juillet 1886), d'après CHEVALIER 1888 : pl. 1.





Fig. 99 - Tours, basilique Saint-Martin. Vue générale des fouilles de 1886, dessin de M. Masquelez (Société archéologique de Touraine : 3082).



Fig. 100 - Tours, basilique Saint-Martin. Vue de la berme occidentale des fouilles avec alignement des piles composées du bras sud du transept, d'après CHEVALIER 1888 : pl. 3.



◀
Fig. 101 - Tours, basilique
Saint-Martin. Bras sud du
transept, pile composée P4,
d'après CHEVALIER 1888 :
pl. 4.

Fig. 102 - Tours, basilique
Saint-Martin. Vue extérieure
de la chapelle méridionale du
bras sud du transept, d'après
CHEVALIER 1888 : pl. 2.



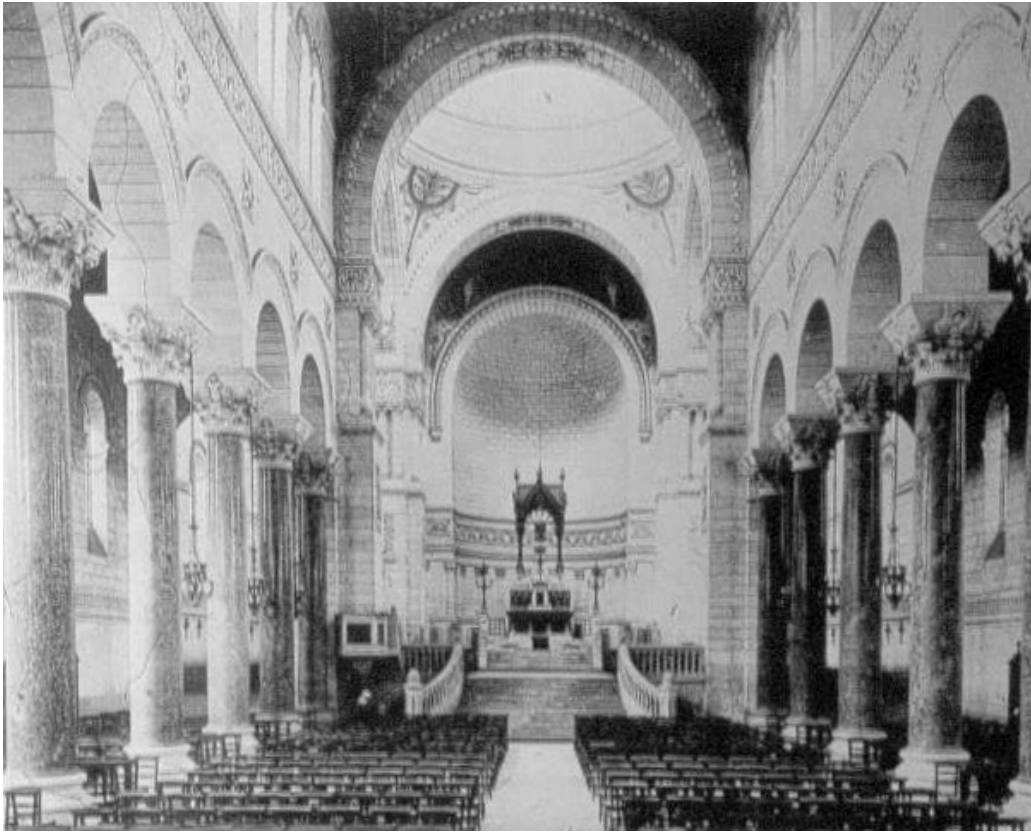


Fig. 103 - Tours,
 basilique Saint-
 Martin. Vue générale
 intérieure vers le
 nord, d'après BESSE
 1922 : pl. XXXI.



Fig. 104 - Tours,
 basilique Saint-Martin.
 Crypte, vestiges de la
 chapelle axiale, vue
 générale vers l'est.



Fig. 105 - Tours, basilique Saint-Martin. Crypte, vestiges de la chapelle méridionale du bras sud du transept, vue générale vers l'est.



Fig. 106 - Tours, basilique Saint-Martin. Crypte, vestiges de la chapelle axiale, côté nord.



Fig. 107 - Tours,
basilique Saint-
Martin. Crypte,
vestiges de la
chapelle axiale,
fondation (US 1003),
détail du parement.



Fig. 108 - Tours,
basilique Saint-
Martin. Crypte,
vestiges de la
chapelle axiale,
fondation
(US 1003), détail
de traces d'outils :
pic ou broche.



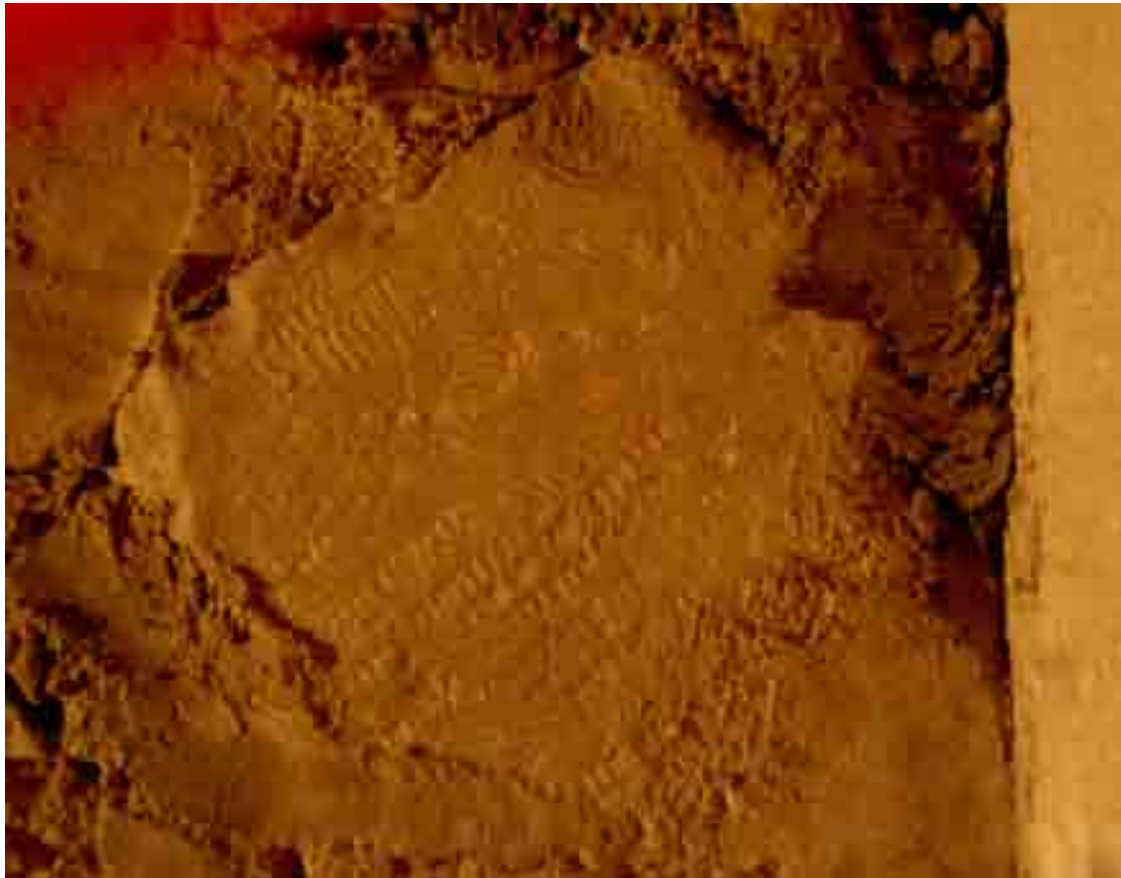


Fig. 109 - Tours, basilique Saint-Martin. Crypte, vestiges de la chapelle axiale, fondation (US 1003), détail de traces d'outils : bretture.



Fig. 110 - Tours, basilique Saint-Martin. Crypte, vestiges de la chapelle axiale, fondation (US 1003), détail de traces d'outils : ciseau et polka.



Fig. 111 - Tours, basilique Saint-Martin. Crypte, vestiges de la chapelle axiale, fondation (US 1002) et élévation (US 1001).



Fig. 112 - Tours, basilique Saint-Martin. Crypte, vestiges de la chapelle axiale, élévation (US 1001), détail de traces d'outils : ciseau.



Fig. 113 - Tours, basilique Saint-Martin. Musée martinien, vue partielle du dépôt lapidaire.



Fig. 114 - Tours, basilique Saint-Martin. Crypte, vestiges de la chapelle méridionale du bras sud du transept, côté sud.



Fig. 115 - Tours, basilique Saint-Martin. Dépôt archéologique de l'Etat, vestiges de la chapelle méridionale du bras sud du transept, vue vers le nord.



Fig. 116 - Auxerre, cathédrale Saint-Etienne. Crypte, déambulatoire, partie sud-est.





Fig. 117 - Reims, église Saint-Remi. Vue générale intérieure vers le sud-est.



Fig. 118 - Beaulieu-lès-Loches, église de La Trinité. Nef, côté nord (travées 7, 8, 9).



Fig. 119 - Loches, tour-matresse. Mur ouest, revers.



Fig. 120 - Mehun-sur-Yèvre, église Notre-Dame. Hémicycle vu du nord-ouest.



Fig. 121 - Orléans, cathédrale Sainte-Croix. Sous-sol archéologique, hémicycle et autel matutinal vus du sud-est.



Fig. 122 - Nogent-le-Rotrou, église Saint-Denis. Hémicycle vu du sud-est.



Fig. 123 - Toulx-Sainte-Croix, église Sainte-Croix-et-Saint-Martial. Hémicycle vu du nord-ouest.



Fig. 124 - Vignory, église Saint-Etienne. Hémicycle vu du nord-ouest.



Fig. 125 - Rodes, église Saint-Père. Abside vue vers le nord-est.



Fig. 126 - Saint-Savin-sur-Gartempe, église Saint-Savin-et-Saint-Cyprien. Hémicycle vu vers le sud-ouest.



Fig. 127 - Orléans, église Saint-Aignan. Crypte, déambulatoire et chapelles rayonnantes est et nord-est.



Fig. 128 - Tournus, église Saint-Philibert. Déambulatoire et chapelles rayonnantes vus du nord.





◀
Fig. 129 - Beaulieu-lès-Loches, église de La Trinité.
Chapelle rayonnante nord-est.

Fig. 130 - Selles-sur-Cher, église Saint-Eusice.
Chevet vu du nord-est.





Fig. 131 - Saint-Aignan-sur-Cher, église Saint-Aignan. Chapelles rayonnantes vues de l'est.



Fig. 132 - L'Ile-Bouchard, église Saint-Léonard. Chevet vu du sud.



▲
Fig. 133 - Saint-Benoît-sur-Loire, abbatale Notre-Dame. Chevet vu du sud-est.



◀
Fig. 134 - Dun-sur-Auron, église Saint-Etienne. Déambulatoire et chapelle rayonnante nord-est.



Fig. 135 - Toulouse, église Saint-Sernin. Chevet vu du sud-est.



Fig. 136 - Conques, église Sainte-Foy. Chevet vu du nord-est.



◀
Fig. 137 - Tournus, église
Saint-Philibert.
Déambulatoire, vue intérieure.

Fig. 138 - Orléans, église
Saint-Aignan. Crypte,
collatéral nord, arcatures
murales.
▼





Fig. 139 - Orléans, cathédrale Sainte-Croix. Sous-sol archéologique, collatéral nord, vestiges d'arcatures murales.



Fig. 140 - Nogent-le-Rotrou, église Saint-Denis. Déambulatoire, vestiges d'arcatures murales.



Fig. 141 - Saint-Savin-sur-Gartempe, église Saint-Savin-et-Saint-Cyprien. Déambulatoire, partie nord-est.



Fig. 142 - Vignory, église Saint-Etienne. Déambulatoire, vue intérieure.



Fig. 143 - Mehun-sur-Yèvre, église Notre-Dame. Déambulatoire, vue intérieure.



Fig. 144 - Tours, église Saint-Martin. Tour Charlemagne, vue vers le nord-est des vestiges mis au jour par C. Lelong.



Fig. 145 - Vendôme, église de La Trinité. Croisée du transept, pile composée nord-est.



Fig. 146 - Nogent-le-Rotrou, église Saint-Denis. Croisée du transept, pile composée nord-ouest.



Fig. 147 - Poitiers, église Saint-Hilaire. Clocher-porche, pile composée.



Fig. 148 - Tours, église Saint-Martin. Tour Charlemagne, chapiteau historié, cl. R. Malnoury 90 37 0481 X.



◀
 Fig. 149 - Tours, Musée Saint-Martin.
 Chapiteau trouvé en fouille dans le transept
 (découverte de C. Lelong au pied de la tour
 Charlemagne).

Fig. 150 - Tours, Musée Saint-Martin.
 Fragment de chapiteau à décor végétal.



Fig. 151 - Tours, Musée Saint-
 Martin. Fragments sculptés :
 tête de personnage et imposte à
 décor végétal.

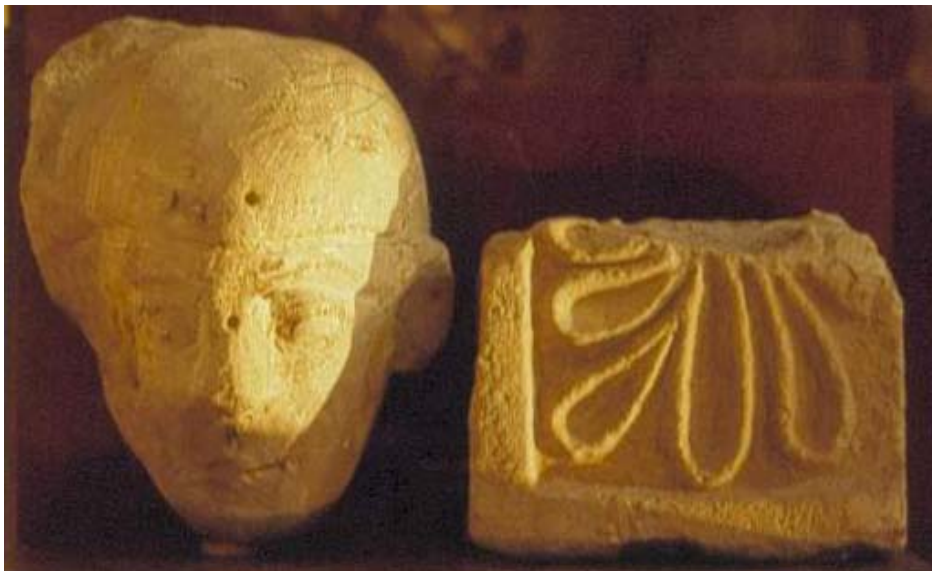




Fig. 152 - Vignory, église Saint-Étienne. Chevet, vue intérieure vers l'est.



Fig. 153 - Toulx-Sainte-Croix, église Sainte-Croix-et-Saint-Martial. Abside, vue générale.



Fig. 154 - Bray-sur-Seine, église Sainte-Croix. Abside, vue intérieure vers le nord-est.



Fig. 155 - Saint-Savin-sur-Gartempe, église Saint-Savin-et-Saint-Cyprien. Chevet, vue intérieure vers le nord-est.



Fig. 156 - Conques, église Sainte-Foy. Abside, vue générale intérieure.



Fig. 157 - Toulouse, église Saint-Sernin. Abside vue vers le sud-est.



Fig. 158 - Mehun-sur-Yèvre. Plan de situation extrait de la carte I.G.N. 2324O (1:25000^e).



Fig. 159 - Mehum-sur-Yèvre. Cadastre napoléonien (cote 141/2), section A1, 1808 (A.D. Cher, AD18_Q3_C_0015)

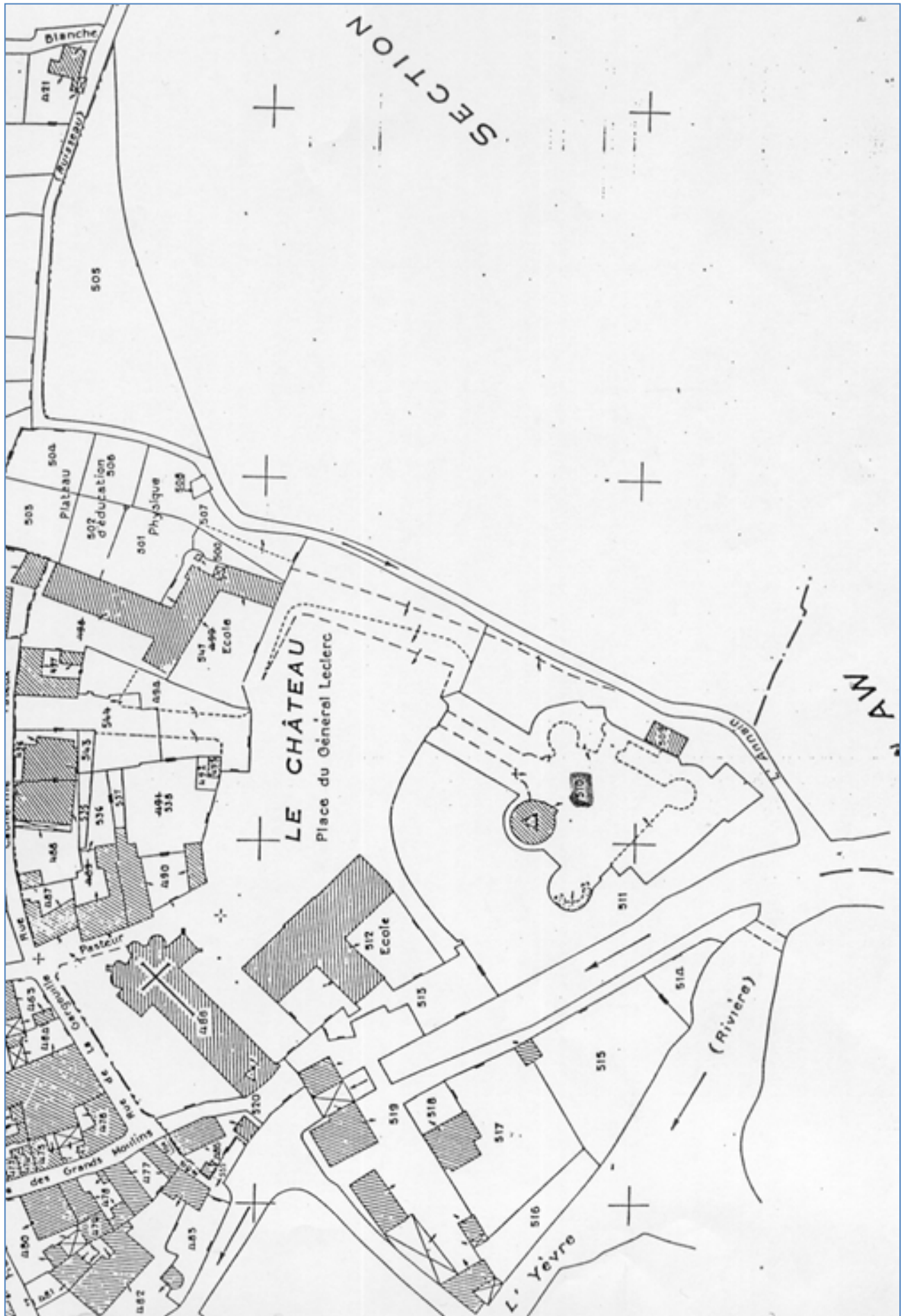


Fig. 160 - Mehun-sur-Yèvre. Cadastre, section AX (1966).



Fig. 161 - Mehun-sur-Yèvre.
 Vue aérienne nord-ouest, église
 Notre-Dame et château.
 Cl. C.E.S.C.M. 17.502 (avant
 1957).



Fig. 162 - Mehun-sur-Yèvre,
 église Notre-Dame. Lithographie
 extraite de CHAPUY, DEROY
 1849 (n.p.).

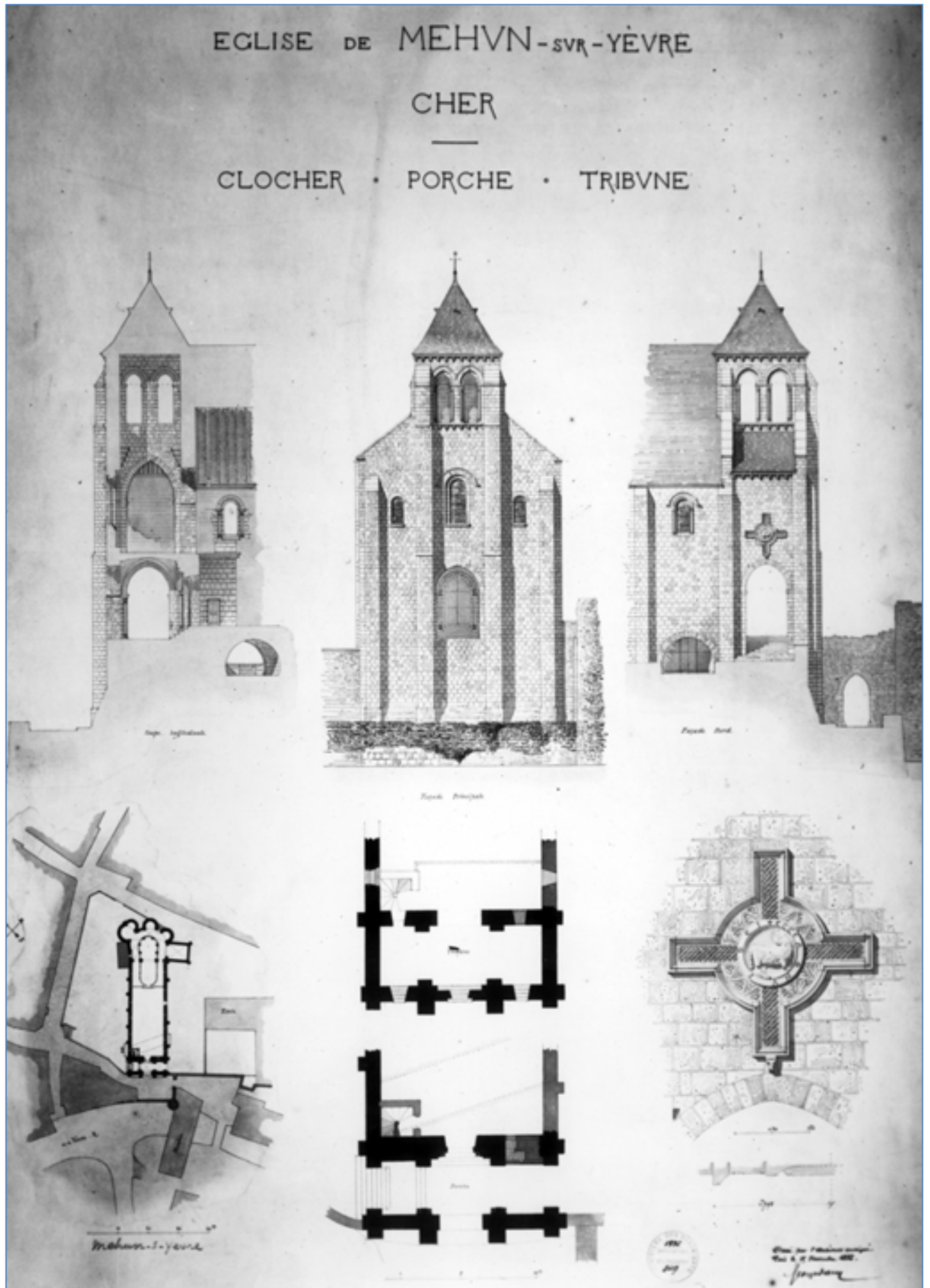


Fig. 163 - Mehun-sur-Yèvre, église Notre-Dame. Clocher. Porche. Tribune. Coupe longitudinale. Plan. Élévations des façades nord et principale. Plan de la tribune et du porche. Détail d'une croix. Méd. Patrimoine doc. 009417 (G. Darcy, 15 novembre 1886).

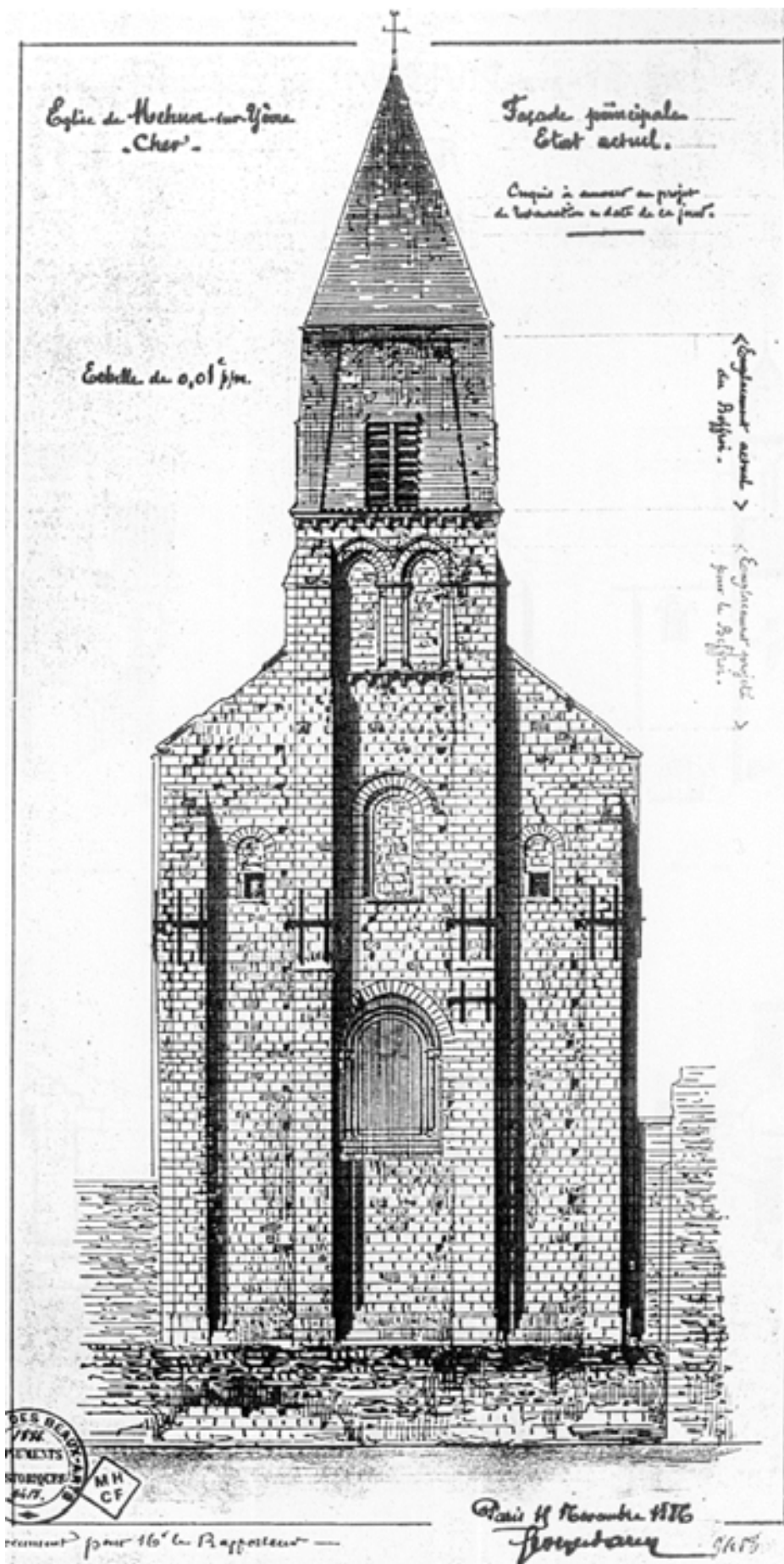


Fig. 164 - Mehun-sur-Yèvre, église Notre-Dame. Élévation de la façade principale, état actuel. Indication de l'emplacement projeté pour le nouveau beffroi. Méd. Patrimoine doc. 009418 (G. Darcy, 15 novembre 1886).

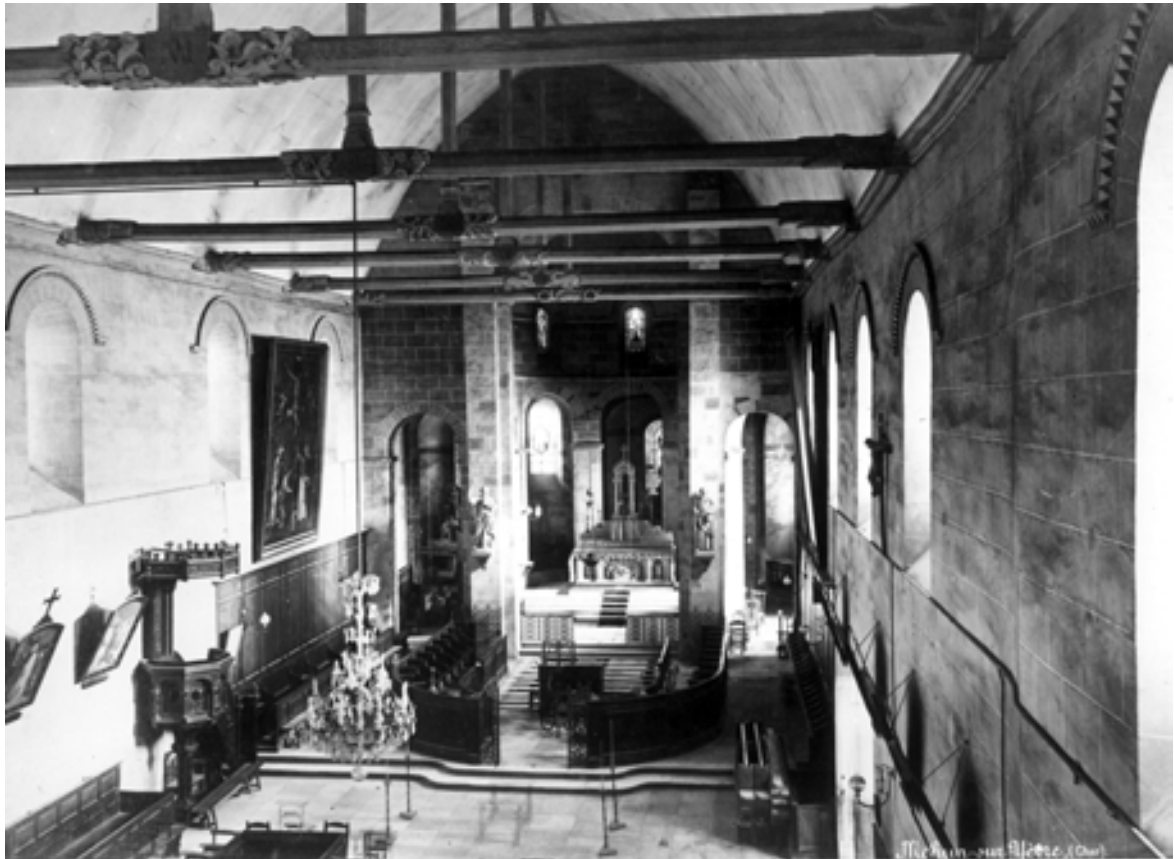


Fig. 165 - Mehun-sur-Yèvre, église Notre-Dame. Vue intérieure de la nef vers l'est. Cl. Méd. Patrimoine MH0001694 (M. Mieusement, octobre 1888).



Fig. 166 - Mehun-sur-Yèvre, église Notre-Dame. Abside, côté nord. Cl. Méd. Patrimoine MH0001693 (M. Mieusement, octobre 1888).



Fig. 167 - Mehun-sur-Yèvre, église Notre-Dame. Façade sud. Cl. Méd. Patrimoine MH0001692 (M. Mieusement, octobre 1888).



Fig. 168 - Mehun-sur-Yèvre, église Notre-Dame. Ensemble sud. Cl. Méd. Patrimoine doc. 0032946 (C. Enlart, avant 1910).

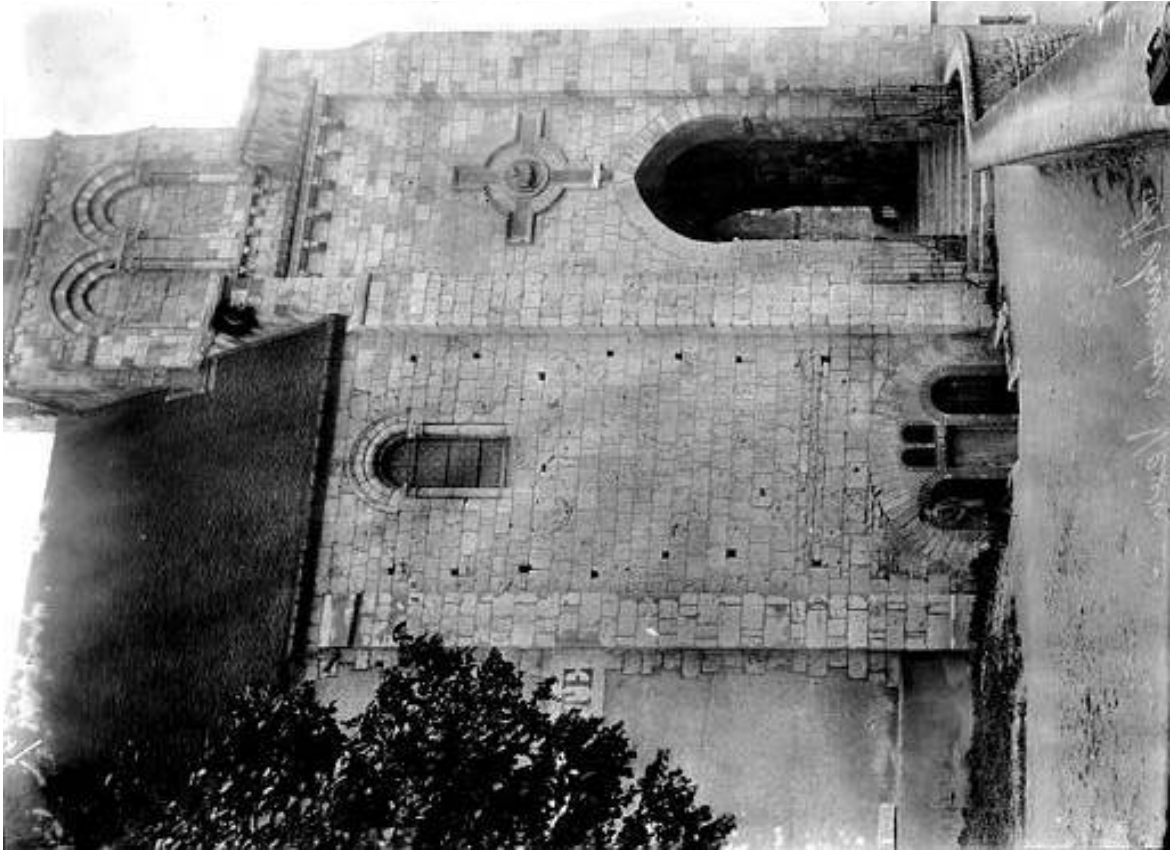


Fig. 169 - Mehun-sur-Yèvre, église Notre-Dame. Partie inférieure du clocher au nord. Cl. Méd. Patrimoine doc. 0032947 (C. Enlart, avant 1910).



Fig. 170 - Mehun-sur-Yèvre, église Notre-Dame. La nef avant restauration : vue prise d'en haut. Cl. Méd. patrimoine 10L06588 (L. Roy, février 1912).



Fig. 171 - Mehun-sur-Yèvre, église Notre-Dame. La nef en cours de restauration. Cl. Méd. patrimoine 10L06591 (L. Roy, avril 1912).

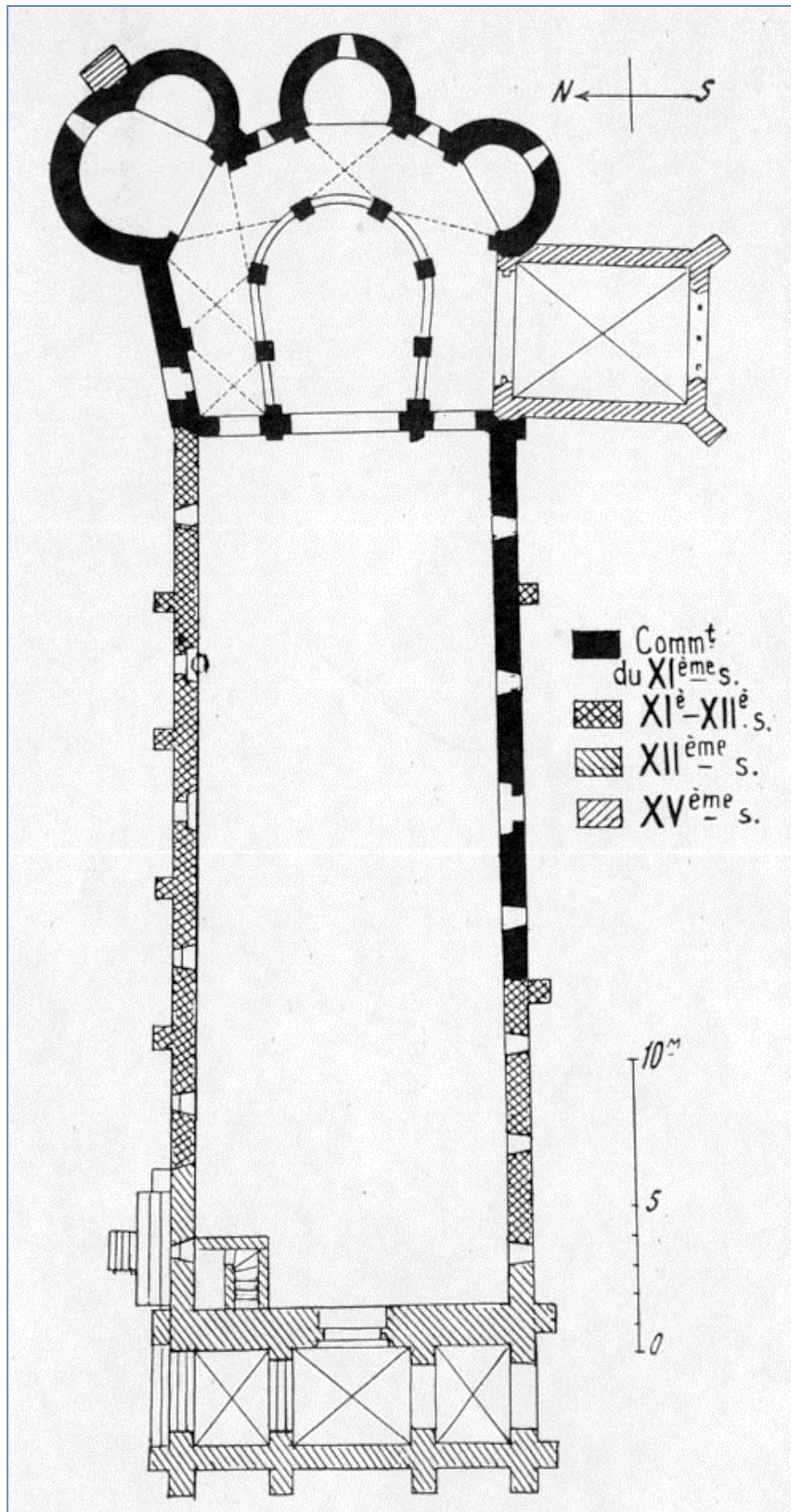


Fig. 172 - Mehun-sur-Yèvre, église Notre-Dame. Plan extrait de DESHOULIÈRES 1931 : 331.



Fig. 173 - Mehun-sur-Yèvre, église Notre-Dame. Ensemble sud-est. Cl. Méd. patrimoine MH0097064 (G. Estève, avant 1932).



Fig. 174 - Mehun-sur-Yèvre, église Notre-Dame. Ensemble nord. Cl. Méd. patrimoine MH0097065 (G. Estève, avant 1932).



Fig. 175 - Mehun-sur-Yèvre, église Notre-Dame. Abside, côté nord-est. Cl. Méd. patrimoine MH0097066 (G. Estève, avant 1932).

Fig. 177 - Mehun-sur-Yèvre, église Notre-Dame.
Plan au niveau du sol et plan au niveau de
l'extrados des voûtes du déambulatoire. Méd.
patrimoine 0081-018-0068 (M. Ranjard, 1965).



Fig. 178 - Mehun-sur-Yèvre, église Notre-Dame.
 Élévations de l'abside et des chapelles
 rayonnantes. Méd. patrimoine 0081-018-0068
 (M. Ranjard, 1965).

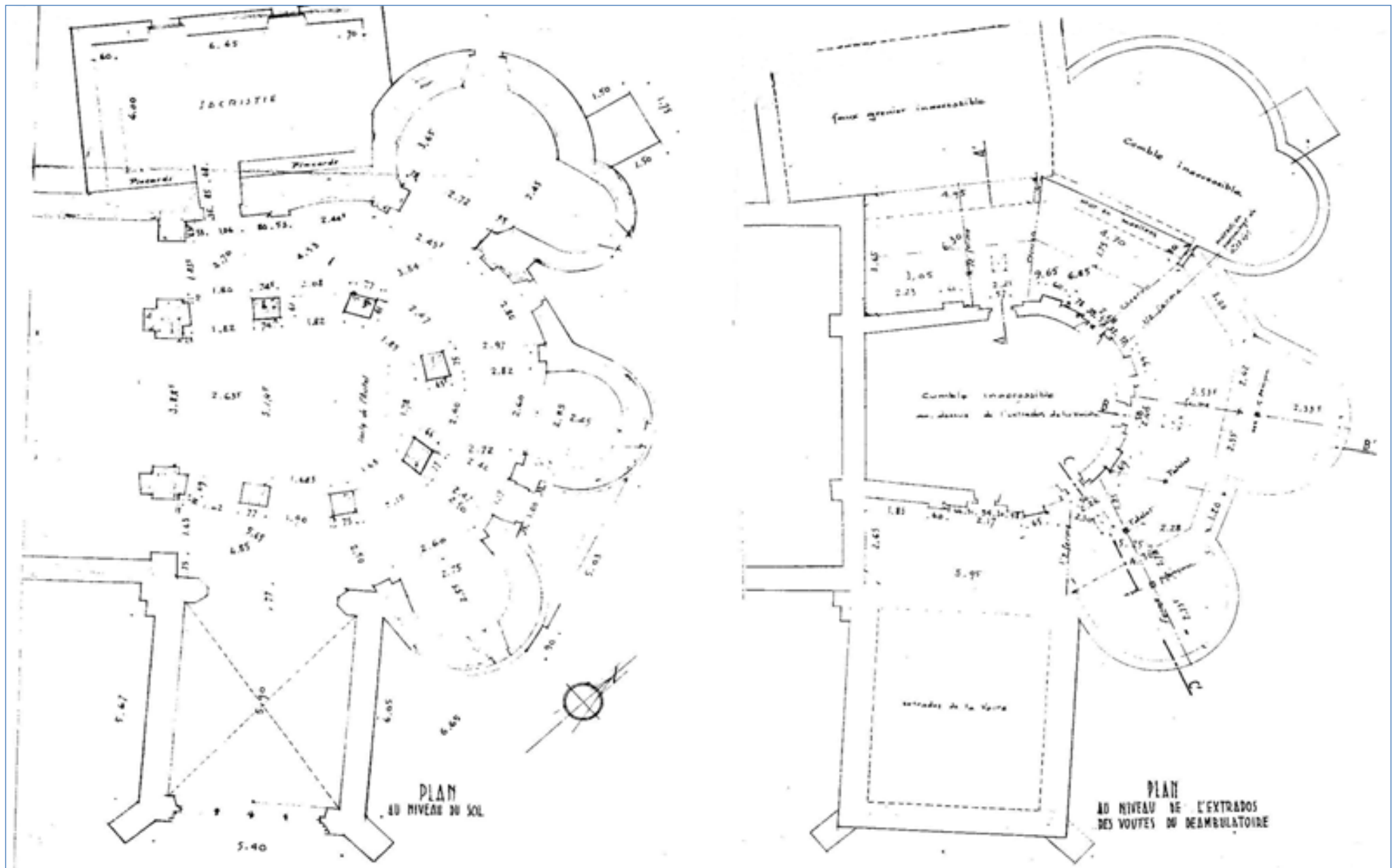




Fig. 179 - Mehun-sur-Yèvre, église Notre-Dame. Déambulatoire côté sud, mur-bahut, épitaphe d'un prêtre (époque mérovingienne).



Fig. 180 - Mehun-sur-Yèvre, église Notre-Dame. Nef, mur nord (extérieur), cinquième travée, inscription funéraire des époux Gilain (vers 1400).



Fig. 181 - Mehun-sur-Yèvre, église Notre-Dame. Clocher-porche, façade occidentale.



Fig. 182 - Mehun-sur-Yèvre, église Notre-Dame. Clocher-porche, face orientale du beffroi.



Fig. 183 - Mehun-sur-Yèvre, église Notre-Dame. Clocher-porche et anciennes fortifications.



Fig. 184 - Mehun-sur-Yèvre, église Notre-Dame. Porche, vue générale vers le sud.



Fig. 185 - Mehun-sur-Yèvre, église Notre-Dame. Portail occidental.



Fig. 186 - Mehun-sur-Yèvre, église Notre-Dame. Nef, tribune occidentale, arcade condamnée autrefois sur la salle haute du clocher.



Fig. 187 - Mehun-sur-Yèvre, église Notre-Dame. Clocher-porche, salle haute vue vers le sud-ouest.



Fig. 188 - Mehun-sur-Yèvre, église Notre-Dame. Nef, cage d'escalier située dans l'angle nord-ouest.



Fig. 190 - Mehun-sur-Yèvre, église Notre-Dame. Clocher-porche, salle haute, porte d'accès depuis la tribune occidentale.



Fig. 189 - Mehun-sur-Yèvre, église Notre-Dame. Nef, escalier situé dans l'angle nord-ouest.



Fig. 191 - Mehun-sur-Yèvre, église Notre-Dame. Nef, vue générale vers l'est depuis la tribune occidentale.



Fig. 192 - Mehun-sur-Yèvre, église Notre-Dame. Nef, mur nord (extérieur), quatrième, troisième et deuxième travées.



Fig. 193 - Mehun-sur-Yèvre, église Notre-Dame. Nef, mur nord (extérieur), deux premières travées et clocher-porche.



Fig. 194 - Mehun-sur-Yèvre, église Notre-Dame. Nef, mur nord (extérieur), deuxième travée, porte condamnée.



Fig. 195 - Mehun-sur-Yèvre, église Notre-Dame. Passage transversal à la nef, actuelle chaufferie de l'édifice.



Fig. 196 - Mehun-sur-Yèvre, église Notre-Dame. Nef, mur nord (extérieur), sixième travée.



Fig. 197 - Mehun-sur-Yèvre, église Notre-Dame. Nef, mur sud (extérieur), trois dernières travées.



Fig. 198 - Mehun-sur-Yèvre, église Notre-Dame. Nef, mur sud (extérieur), première travée.



Fig. 199 - Mehun-sur-Yèvre, église Notre-Dame. Nef, mur sud (extérieur), deuxième travée.



Fig. 200 - Mehun-sur-Yèvre, église Notre-Dame. Nef, mur sud (extérieur), angle de la cinquième travée et de la chapelle méridionale.



Fig. 201 - Mehun-sur-Yèvre, église Notre-Dame. Nef, mur sud (extérieur), quatrième travée, détail de l'appareillage.



Fig. 202 - Mehun-sur-Yèvre, église Notre-Dame. Nef, mur sud (extérieur), troisième et quatrième travées, détail de différentes ouvertures.



Fig. 203 - Mehun-sur-Yèvre, église Notre-Dame. Nef, mur sud (extérieur), contrefort séparant les deux dernières travées, détail d'un rempli de sarcophage sculpté.



Fig. 204 - Mehun-sur-Yèvre, église Notre-Dame. Nef, mur sud (extérieur), quatrième travée, détail d'une perturbation de l'appareillage.



Fig. 205 - Mehun-sur-Yèvre, église Notre-Dame. Nef, mur nord (extérieur), quatrième travée, arcade condamnée.



Fig. 206 - Mehun-sur-Yèvre, église Notre-Dame. Nef, mur nord (intérieur), arcade condamnée.



Fig. 207 - Mehun-sur-Yèvre, église Notre-Dame. Chapelle méridionale, vue extérieure vers le nord-est.



Fig. 208 - Mehun-sur-Yèvre, église Notre-Dame. Déambulatoire côté sud, voûtement des huitième et neuvième travées.



Fig. 209 - Mehun-sur-Yèvre, église Notre-Dame. Chapelle méridionale, vue intérieure vers le sud-est.



Fig. 210 - Mehun-sur-Yèvre, église Notre-Dame. Chevet, vue générale vers l'est.



Fig. 211 - Mehun-sur-Yèvre, église Notre-Dame. Pignon du sanctuaire, face orientale, côté sud, détail d'un oculus condamné.



Fig. 212 - Mehun-sur-Yèvre, église Notre-Dame. Chevet, côté sud, deux premières arcades.



Fig. 213 - Mehun-sur-Yèvre, église Notre-Dame. Chevet vu du sud-est.



Fig. 214 - Mehun-sur-Yèvre, église Notre-Dame. Abside côté sud-est (extérieur), détail de la fenêtre haute.

æ.



Fig. 215 - Mehun-sur-Yèvre, église Notre-Dame. Pignon du sanctuaire, face orientale, côté sud, détail d'un modillon à copeaux de la corniche de l'abside.



Fig. 216 - Mehun-sur-Yèvre, église Notre-Dame. Pignon du sanctuaire, face orientale, côté nord, détail de modillons à copeaux de la corniche de l'abside.



Fig. 217 - Mehun-sur-Yèvre, église Notre-Dame. Chevet, vue du nord-est.



Fig. 218 - Mehun-sur-Yèvre, église Notre-Dame. Déambulatoire côté sud, voûtement de la cinquième à la septième travée.



Fig. 219 - Mehun-sur-Yèvre, église Notre-Dame. Déambulatoire côté sud, sixième travée située entre la chapelle axiale et la chapelle rayonnante sud.



Fig. 220 - Mehun-sur-Yèvre, église Notre-Dame. Déambulatoire côté sud, quatrième travée située entre la chapelle rayonnante nord et la chapelle axiale.



Fig. 222 - Mehun-sur-Yèvre, église Notre-Dame. Chevet, déambulatoire (extérieur), travée sud-est, détail de la baie.



Fig. 221 - Mehun-sur-Yèvre, église Notre-Dame. Déambulatoire côté nord, deuxième travée, détail d'une ancienne baie condamnée.



Fig. 223 - Mehun-sur-Yèvre, église Notre-Dame. Chevet vu du sud.



Fig. 224 - Mehun-sur-Yèvre, église Notre-Dame. Chevet, chapelle rayonnante nord.



◀
Fig. 225 - Mehun-sur-Yèvre, église Notre-Dame. Chapelle rayonnante nord, vue intérieure.

Fig. 226 - Mehun-sur-Yèvre, église Notre-Dame. Chapelle rayonnante nord, couverture vue vers l'est.





Fig. 227 - Mehun-sur-Yèvre, église Notre-Dame. Chapelle axiale, vue intérieure.



Fig. 228 - Mehun-sur-Yèvre, église Notre-Dame. Chapelle rayonnante sud, vue intérieure.



Fig. 229 - Mehun-sur-Yèvre, église Notre-Dame. Chevet, vue générale du nord-est.



Fig. 230 - Mehun-sur-Yèvre, église Notre-Dame. Chevet, déambulatoire (extérieur), travée nord-est, détail d'une baie de la crypte.



Fig. 231 - Mehun-sur-Yèvre, église Notre-Dame. Chapelle rayonnante sud, vue extérieure.



Fig. 232 - Mehun-sur-Yèvre, église Notre-Dame. Chapelle axiale, détail extérieur d'une baie gothique condamnée.



◀
Fig. 233 - Mehun-sur-Yèvre, église Notre-Dame. Nef, mur sud (extérieur), contrefort séparant les deuxième et troisième travées.

Fig. 234 - Pérusson, église Saint-Pierre. Vue du nord-ouest.





Fig. 235 - Suèvres, église Saint-Christophe. Nef, mur sud (extérieur).



Fig. 236 - La-Chapelle-Saint-Mesmin, église Saint-Mesmin. Nef, mur nord (extérieur), haut-
vaisseau.



Fig. 237 - Jargeau, église Saint-Vrain. Nef, mur sud (extérieur), vue générale.

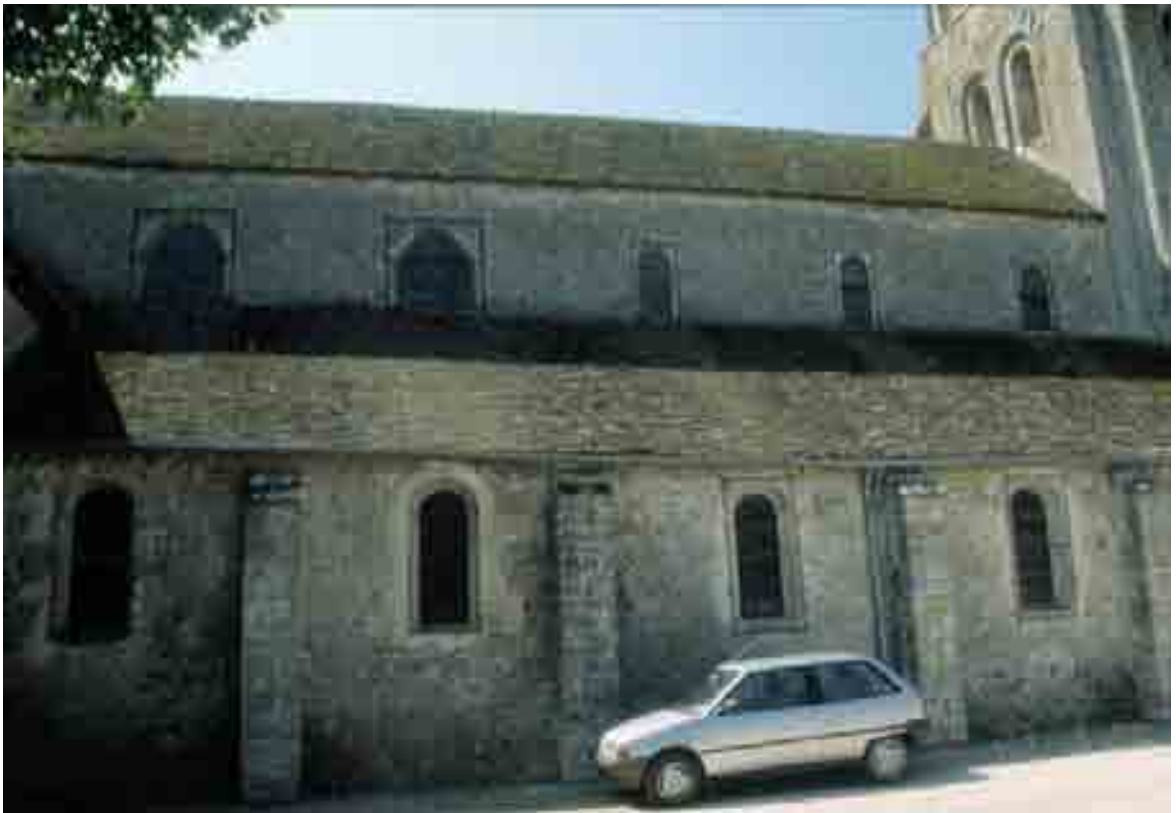


Fig. 238 - Mareau-aux-Bois, église Saint-Georges. Nef, mur nord (extérieur), vue générale.



Fig. 239 - Château-Landon, église Notre-Dame. Nef, mur nord (extérieur), vue générale.



Fig. 240 - Melun, église Notre-Dame. Nef, mur nord (extérieur), haut-vaisseau.



Fig. 241 - Andard, église Saint-Symphorien. Nef, mur sud.



Fig. 242 - Savennières, église Saint-Pierre-et-Saint-Romain. Vue du sud-ouest.



Fig. 243 - Mehun-sur-Yèvre, église Notre-Dame. Chapelle rayonnante nord, absidiole principale (extérieur), détail de la baie.

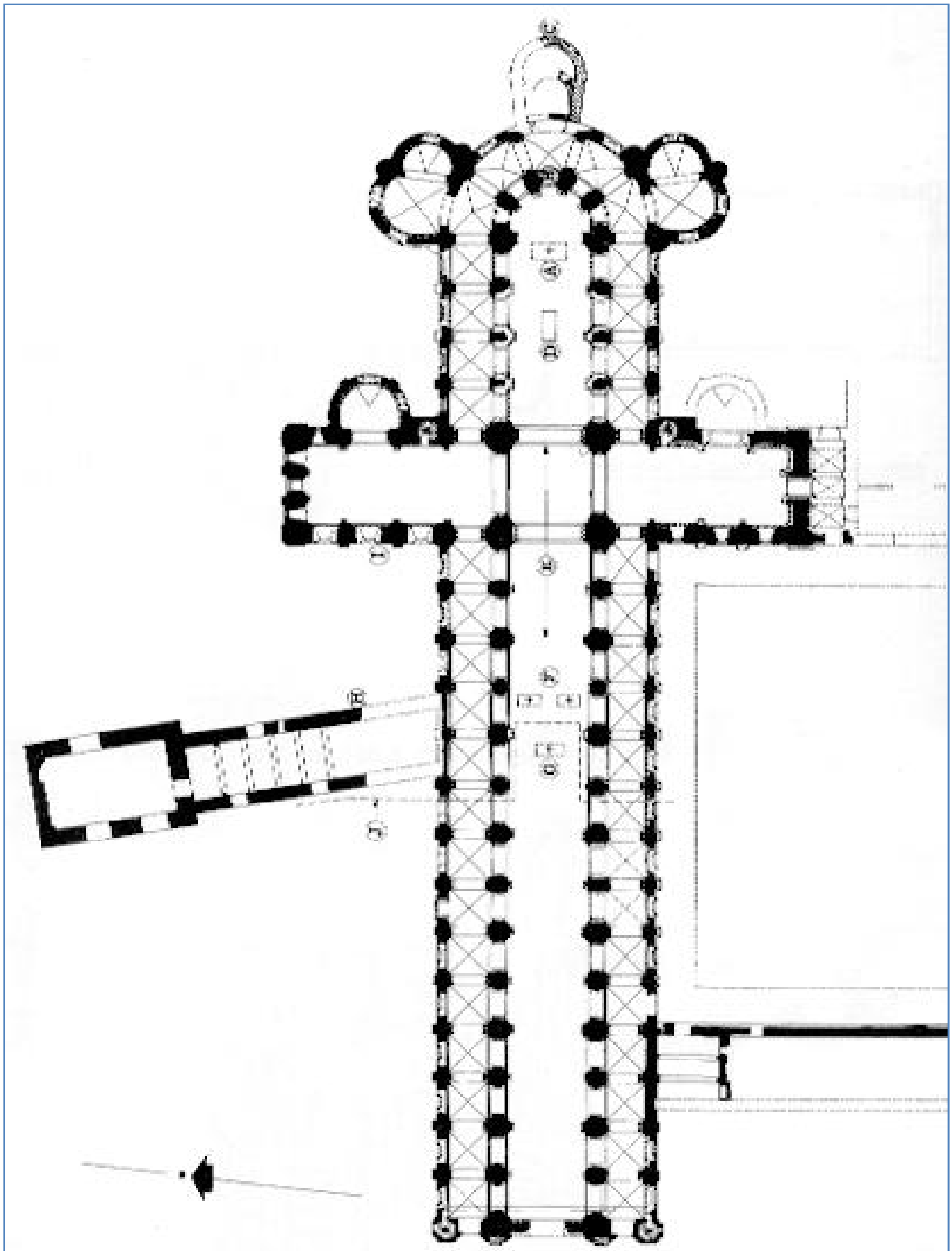


Fig. 244 - Norwich, cathédrale de La Trinité. Plan extrait de FERNIE 1993 : 20.

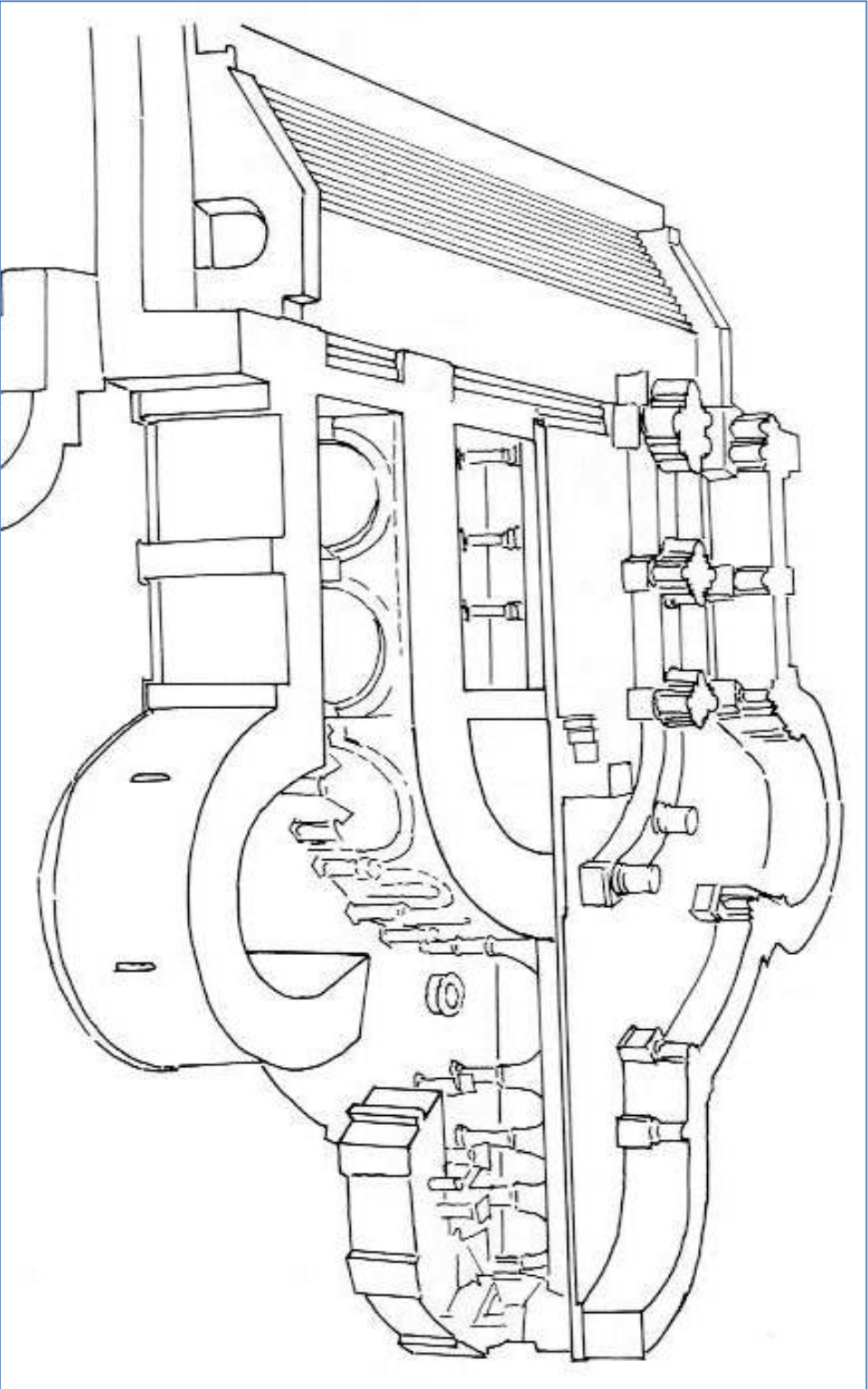


Fig. 245 - Rouen, cathédrale Notre-Dame. La crypte romane d'après G. Lanfry. Schéma extrait de RICHE 2001 : 184.



Fig. 246 - Bray-sur-Seine, église Sainte-Croix. Chevet vu du nord-est.



Fig. 247 - Saint-Savin-sur-Gartempe, église Saint-Savin-et-Saint-Cyprien. Chevet, vue extérieures des chapelles rayonnantes, coté sud-est.



Fig. 248 - Mehun-sur-Yèvre, église Notre-Dame. Chapelle axiale (extérieur), détail d'une baie de la crypte.



Fig. 249 - Mehun-sur-Yèvre, église Notre-Dame. Chapelle rayonnante nord (extérieur), détail d'une baie de la crypte.



◀
Fig. 250 - Selles-sur-Cher,
église Saint-Eusice.
Déambulatoire, côté sud,
accès à la crypte.

Fig. 251 - Le Mans,
église Notre-Dame-de-la-
Couture. Collatéral nord
du chœur, accès à la
crypte.





Fig. 252 - Rodes, église Saint-Pere.
Chevet, déambulatoire, côté sud et
accès à la crypte.



Fig. 253 - Saint-Savin-sur-
Gartempe, église Saint-
Savin-et-Saint-Cyprien.
Chevet, accès à la crypte.





Fig. 254 - Poitiers, église Saint-Hilaire. Nef, vue intérieure vers l'est.

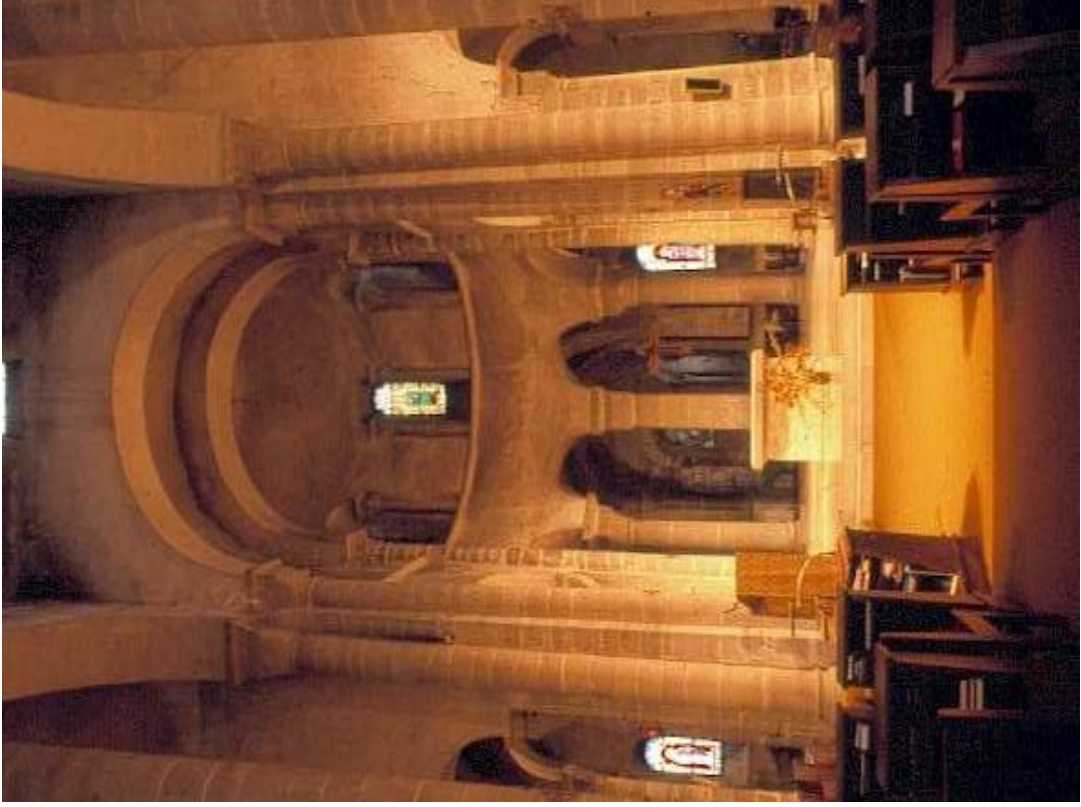


Fig. 255 - Chantelle, église Saint-Vincent. Chevet, vue intérieure vers l'est.



Fig. 256 - Orléans, cathédrale Sainte-Croix, sous-sol archéologique. Déambulatoire, côté nord-est, détail d'une pile du rond-point.

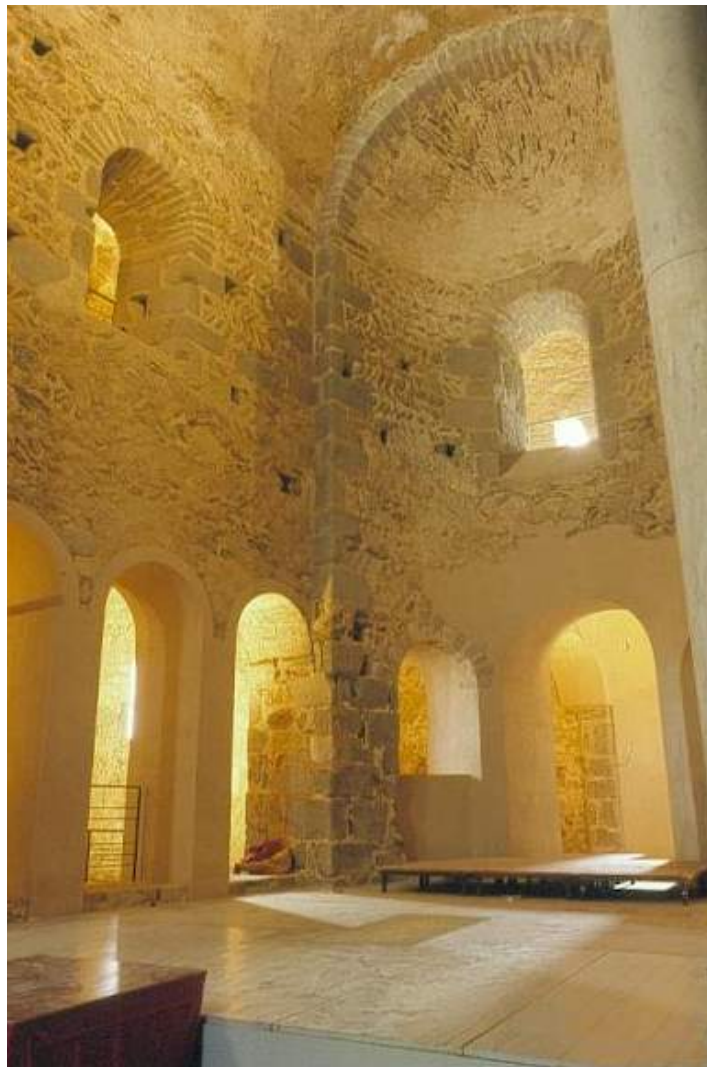


Fig. 257 - Rodes, église Saint-Pere. Chevet, vue intérieure vers le nord-est.



Fig. 258 - Uzerche, église Saint-Pierre. Chevet vu du nord-est.



Fig. 259 - Uzerche, église Saint-Pierre. Chevet, vue intérieure vers le nord-est.



Fig. 260 - Mehun-sur-Yèvre, église Notre-Dame. Abside côté sud (extérieur), détail d'une fenêtre haute.



Fig. 261 - Meusnes, église Saint-Pierre. Arc triomphal de la nef.



Fig. 262 - Veauce, église Sainte-Croix. Chevet vu du sud-est.



Fig. 263 - Châtel-Montagne, église Notre-Dame. Chevet vu du nord-est.



Fig. 264 - Saint-Myon,
église Saint-Médulpe.
Chevet vu du sud-est.



Fig. 265 - Chambon-sur-
Voueize, église Sainte-Valérie.
Nef, mur nord (extérieur).



Fig. 266 - Beaulieu-lès-Loches, église de La Trinité. Chapelle rayonnante nord-est (extérieur).

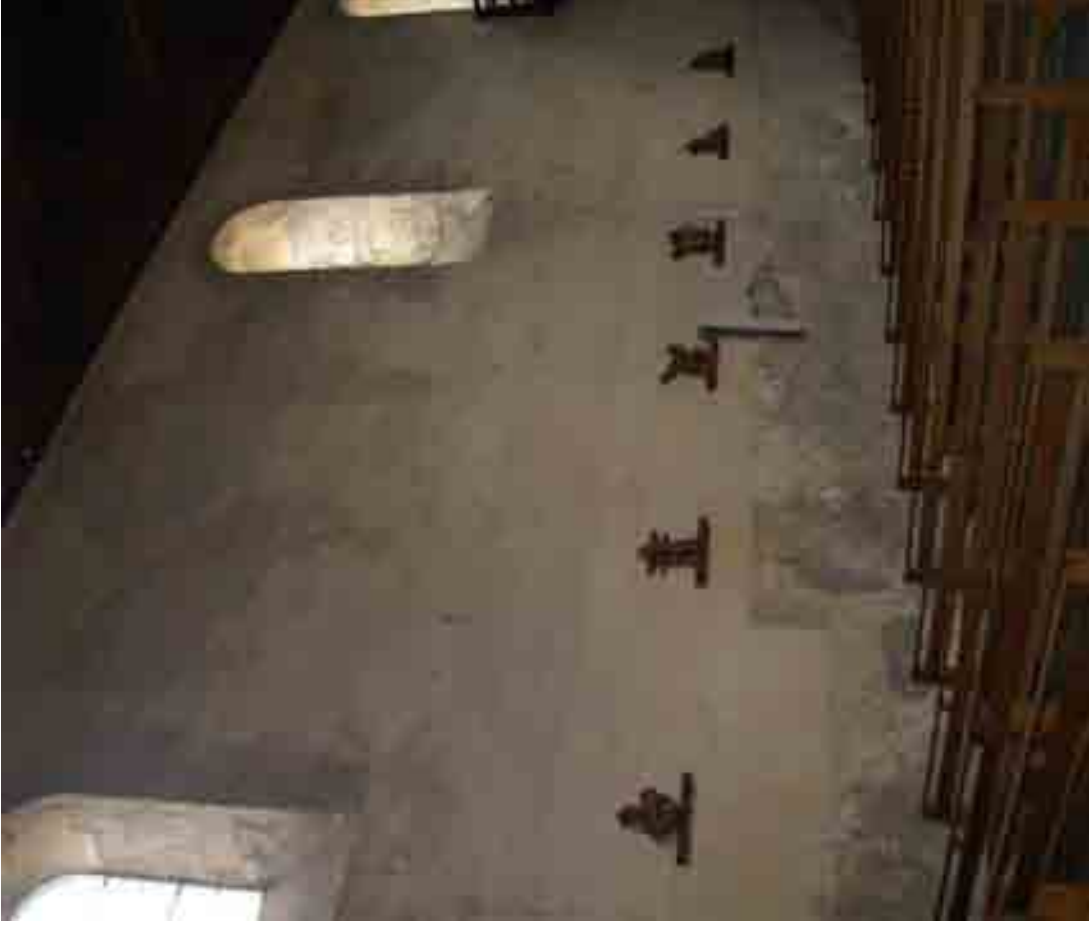


Fig. 267 - Mehun-sur-Yèvre, église Notre-Dame. Nef, mur sud, vue intérieure.



Fig. 268 - Chârost, église Saint-Michel. Façade ouest.



Fig. 269 - La Berthenoux, église Notre-Dame. Façade ouest. Cl. Méd. Patrimoine LP004619 (E. Lefèvre-Pontalis, avant 1923).



Fig. 270 - Mehun-sur-Yèvre, église Notre-Dame. Façade ouest, portail, chapiteaux et voissures.



Fig. 271 - Mehun-sur-Yèvre, église Notre-Dame. Nef, mur nord (extérieur), première travée, baie.



Fig. 272 - Mehun-sur-Yèvre, église Notre-Dame.
Façade ouest, travée sud.



Fig. 273 - Mehun-sur-Yèvre, église Notre-Dame.
Porche, chapiteau sud.





Fig. 274 - Mehun-sur-Yèvre, église Notre-Dame. Porche, chapiteau sud.



Fig. 275 - Mehun-sur-Yèvre, église Notre-Dame. Porche, chapiteau nord.



Fig. 276 - Mehun-sur-Yèvre, église Notre-Dame. Porche, chapiteau nord.



Fig. 277 - Mehun-sur-Yèvre, église Notre-Dame. Clocher-porche, mur nord (extérieur), Agneau pascal.

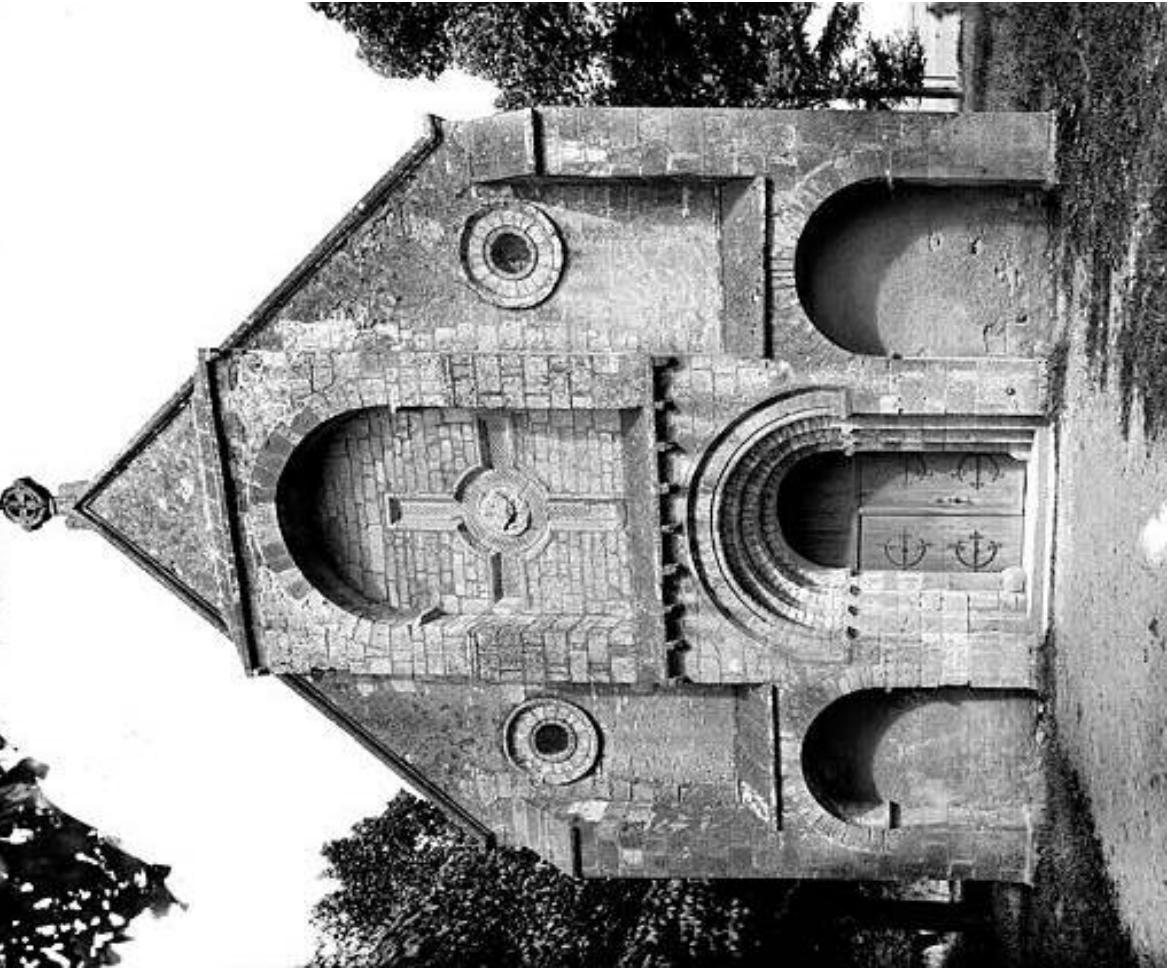


Fig. 278 - Avord, église Saint-Hugues. Façade ouest. Cl. Méd. Patrimoine MH00102202 (G. Estève, avant 1932).



Fig. 279 - Chârost, église Saint-Michel. Façade ouest, Agneau pascal.



Fig. 280 - Jussy-Champagne, église Saint-André. Façade ouest. Cl. Méd. Patrimoine 10L06352 (L. Roy, mars 1912).

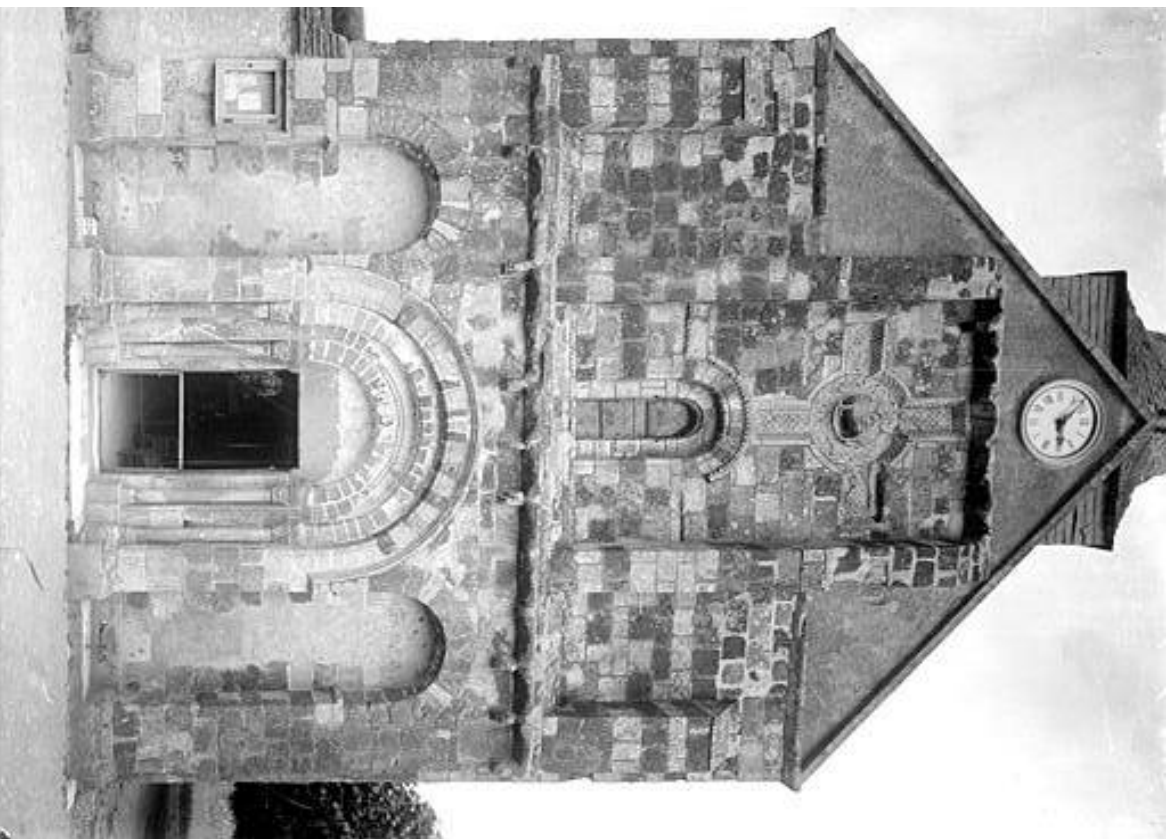


Fig. 281 - Vornay, église Saint-Germain. Façade ouest. Cl. Méd. Patrimoine MH00021730 (G. Estève, avant 1932).



Fig. 282 - Châteaudun. Plan de situation extrait de la carte I.G.N. 2018E (1:25000^e).

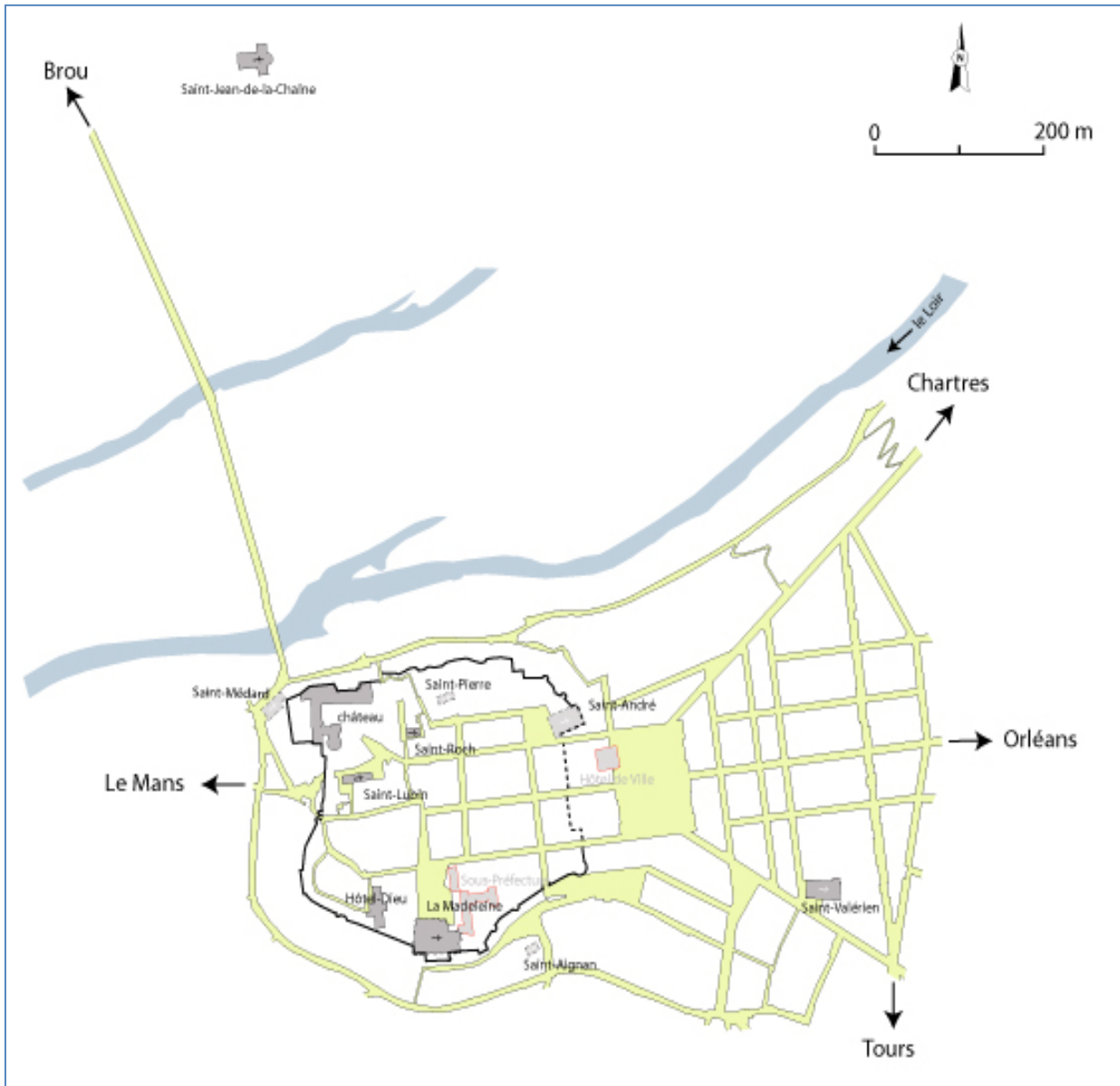


Fig. 283 - Châteaudun. Plan schématique de la ville. DAO : P. Martin.



Fig. 284 - Châteaudun. Cadastre napoléonien, section A dite de la ville, s.d. Chartres, A.D. Eure-et-Loir, 3P 3944.

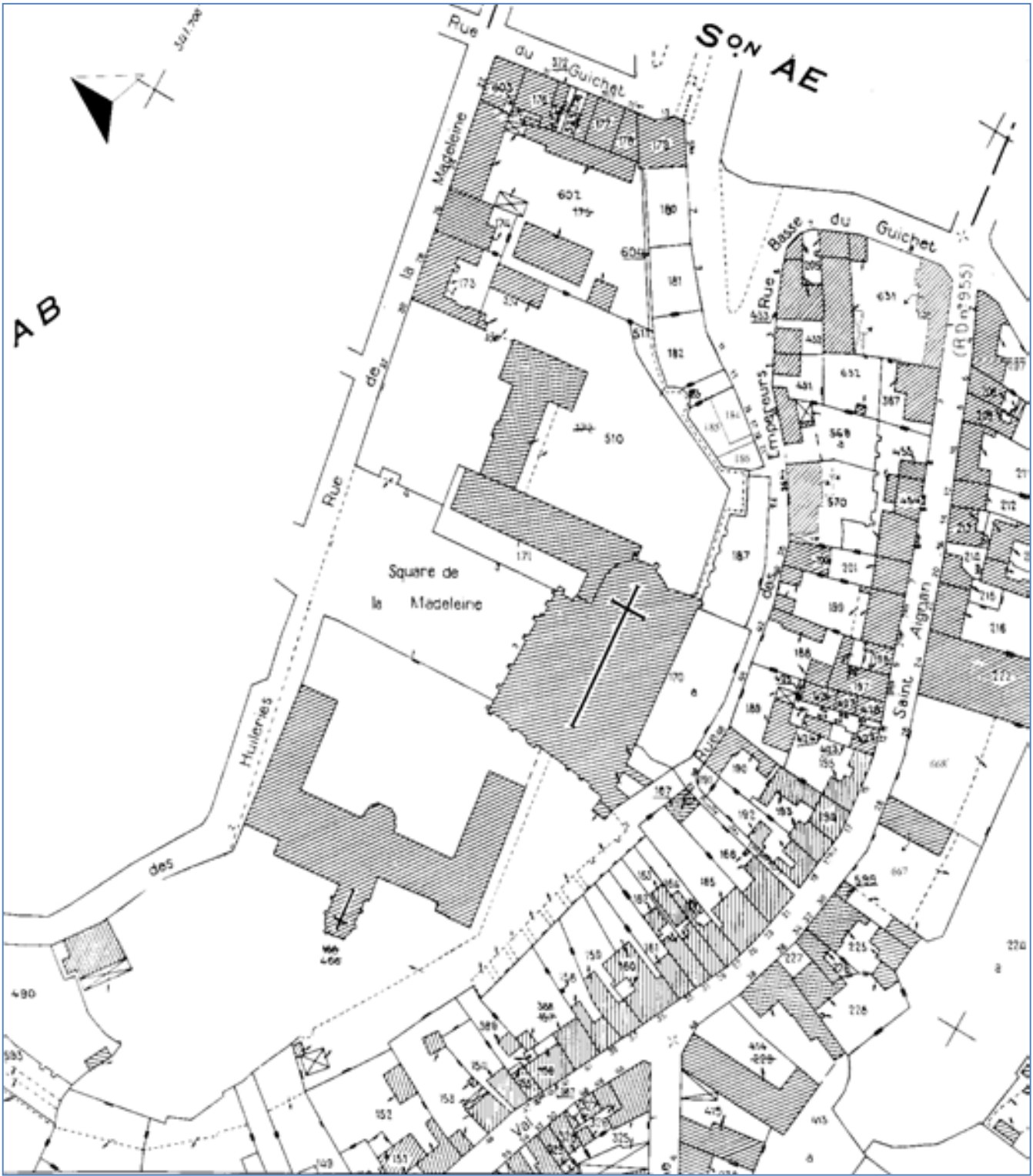


Fig. 285 - Châteaudun. Cadastre, section AI (1987).



Fig. 286 - Châteaudun, église de la Madeleine. Vue aérienne. Méd. Patrimoine cl. ivr24_89280087n_p (Henrard, 1954).



Fig. 287 - Châteaudun, église de la Madeleine. Ensemble nord-ouest. Méd. Patrimoine cl. sap01_mh051525_p (F. Martin-Sabon, 1906).

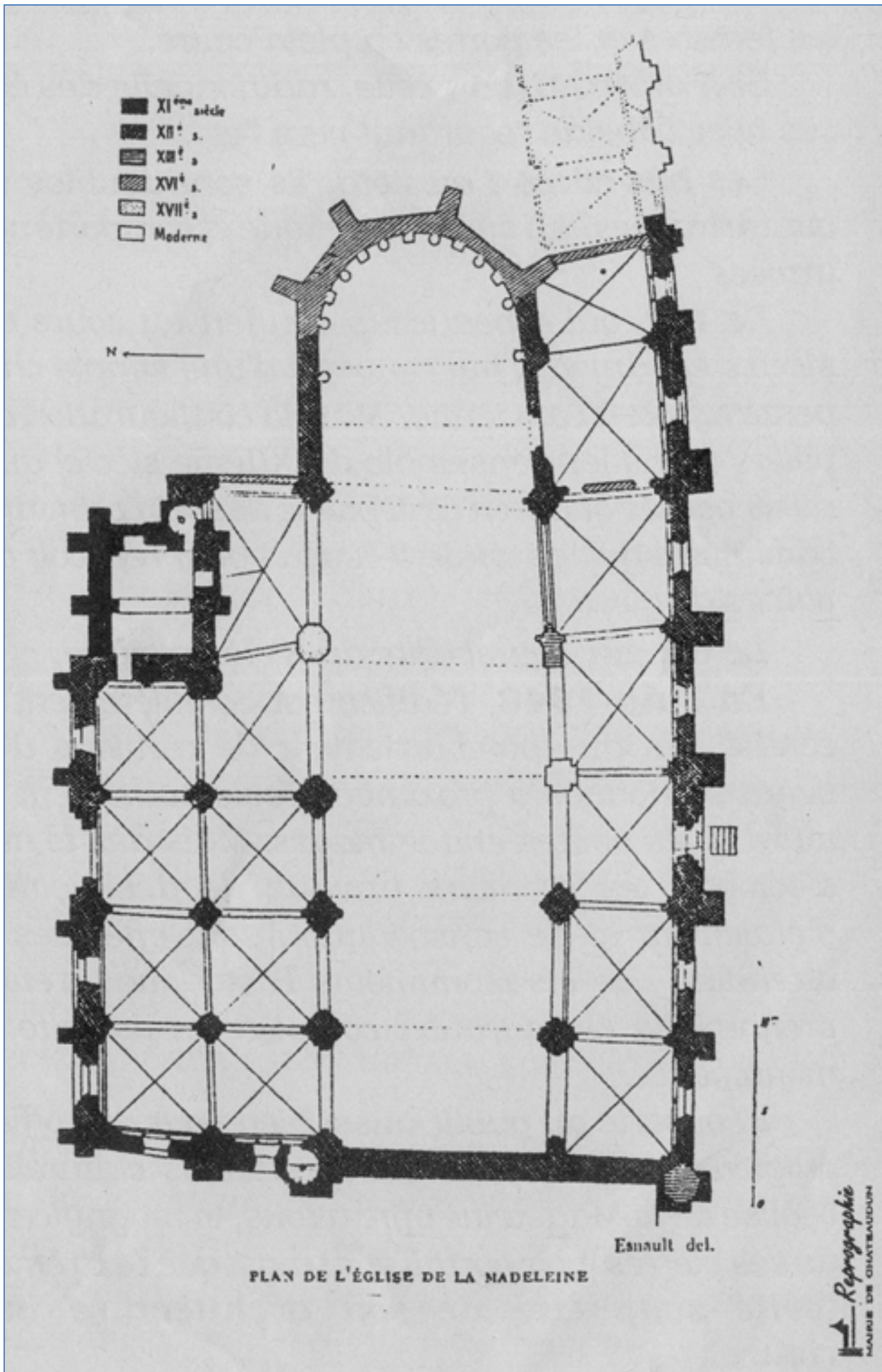


Fig. 288 - Châteaudun, église de la Madeleine. Plan archéologique de Esnault d'après OUTARDEL 1930.



Fig. 289 - Châteaudun, église de la Madeleine. Porte sud : arc extérieur sculpté. Méd. Patrimoine cl. MH0051527 (F. Martin-Sabon, 1906).



Fig. 290 - Châteaudun, église de la Madeleine. Vue intérieure du bas-côté sud. Méd. Patrimoine cl. MH0051526 (F. Martin-Sabon, 1906).

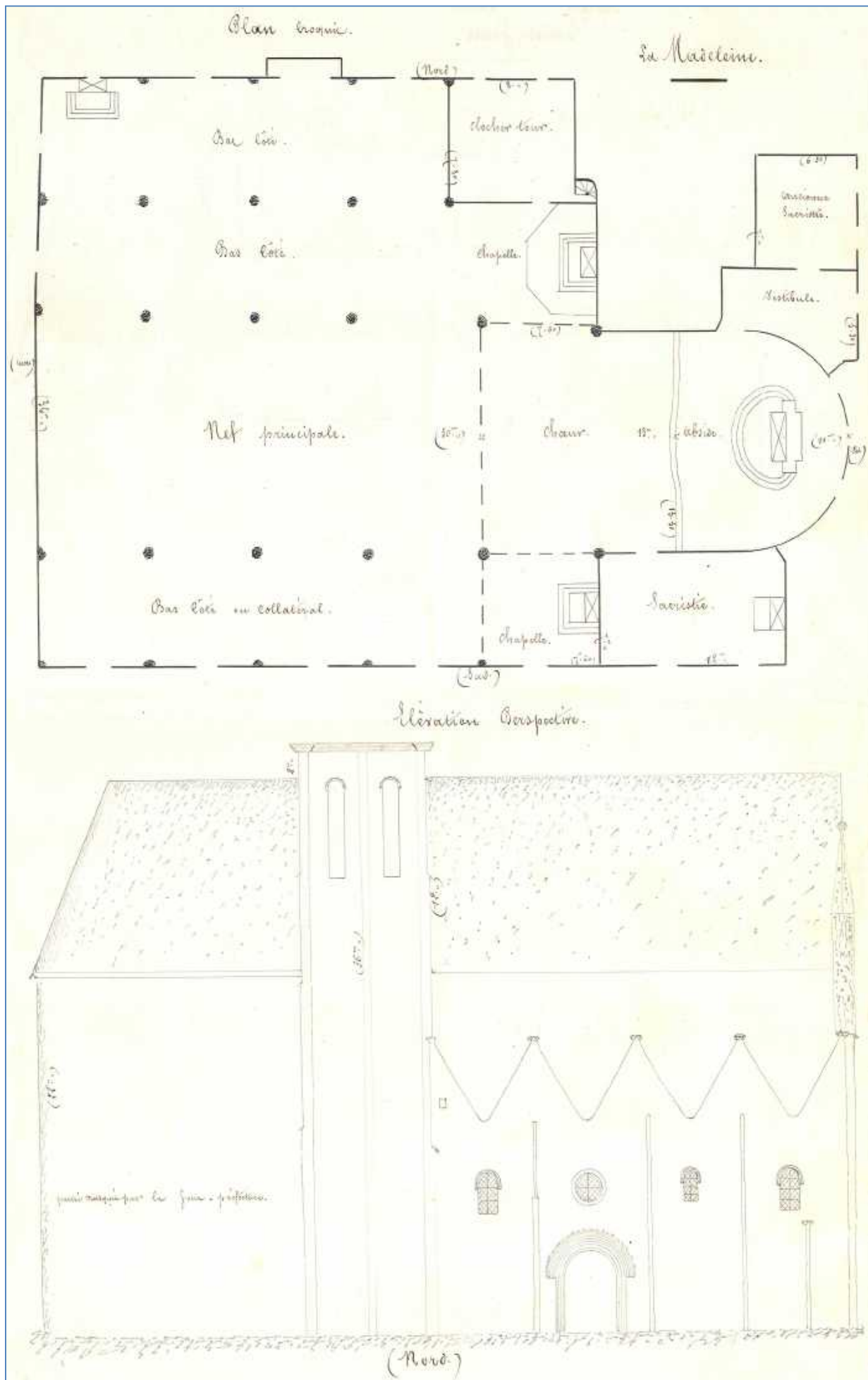


Fig. 291 - Châteaudun, église de la Madeleine. Plan croquis et élévation perspective, 20 juillet 1853. Chartres, A.D. Eure-et-Loir, 1 O art. 208.

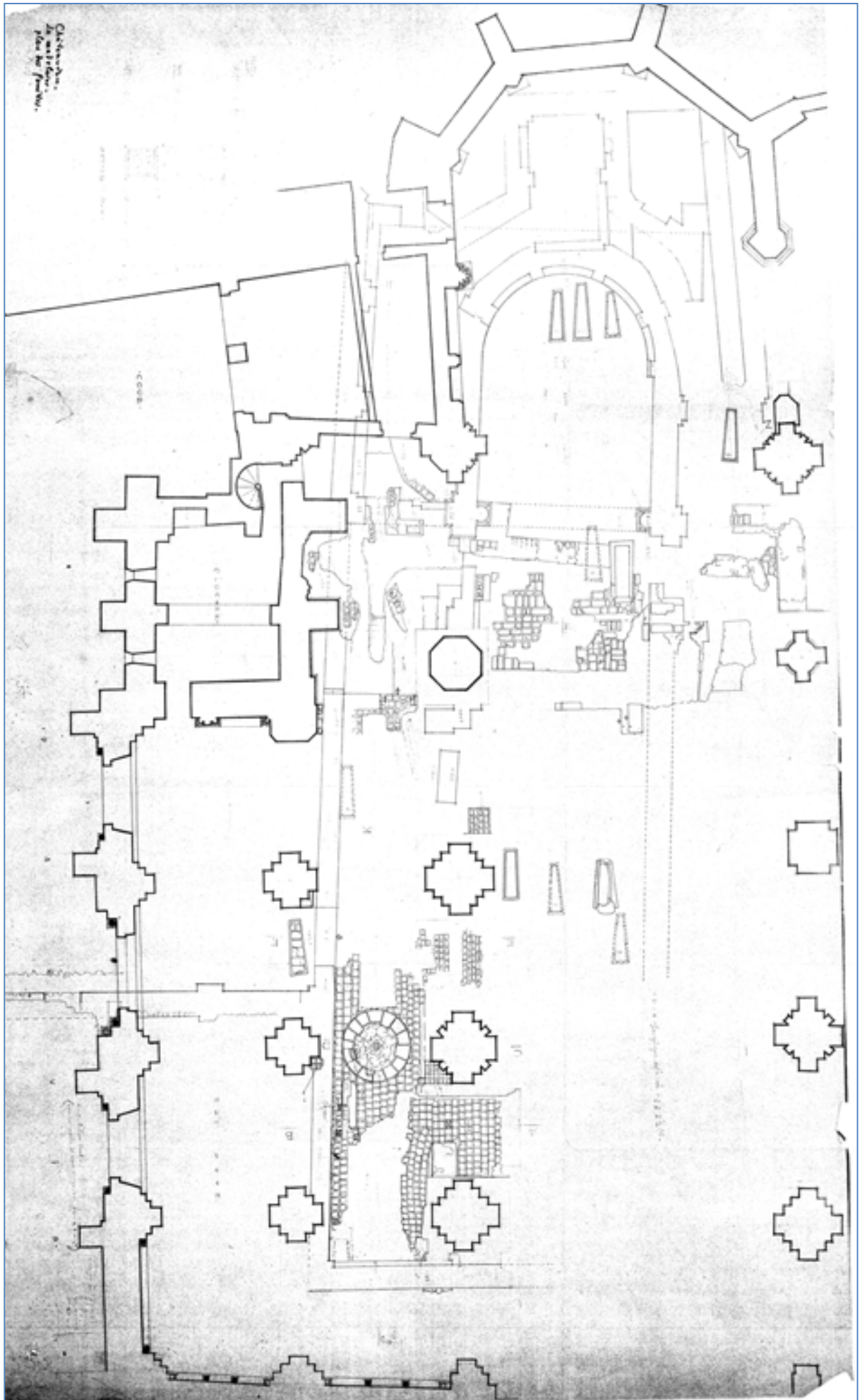


Fig. 292 - Châteaudun, église de la Madeleine. Plan des fouilles, 1958-1959. Chartres, SDAP Eure-et-Loir.

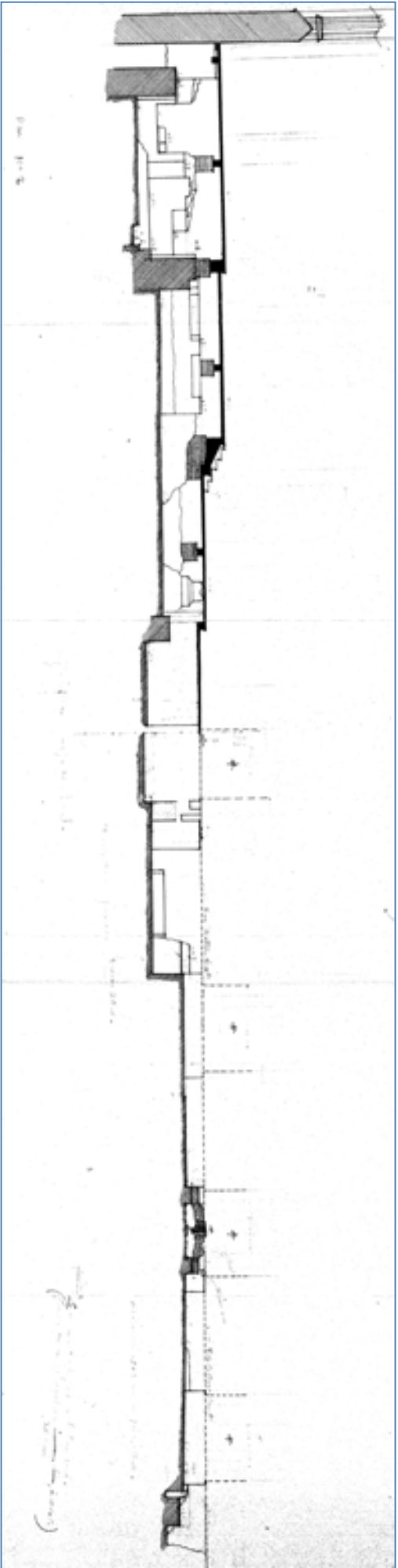


Fig. 293 - Châteaudun, église de la Madeleine. Coupe longitudinale des fouilles, 1958-1959. Chartres, SDAP Eure-et-Loir.



Fig. 294 - Châteaudun, église de la Madeleine. Sous-sol archéologique, mur en *opus spicatum* (face est) délimitant les espaces I et IV.



Fig. 295 - Châteaudun, église de la Madeleine. Sous-sol archéologique, maçonnerie moyen appareil (PIL 106), face sud.



Fig. 296 - Châteaudun, église de la Madeleine. Sous-sol archéologique, abside, côté sud, fondation d'un pilastre, face sud.



Fig. 297 - Châteaudun, église de la Madeleine. Sous-sol archéologique, maçonnerie moyen appareil (PIL 106), face sud. Détail d'un signe lapidaire (A).



Fig. 298 - Châteaudun, église de la Madeleine. Sous-sol archéologique, travée droite du chœur, côté sud, fondations, face sud.



Fig. 299 - Châteaudun, église de la Madeleine. Sous-sol archéologique, abside, côté sud (intérieur), fondations.



Fig. 300 - Châteaudun,
église de la Madeleine.
Sous-sol archéologique,
travée droite du chœur,
côté sud, fondations de
l'arcade 103, face nord.



Fig. 301 - Châteaudun,
église de la Madeleine.
Sous-sol archéologique,
travée droite du chœur,
côté sud, fondations de
l'arcade 103, face sud.





Fig. 302 - Châteaudun, église de la Madeleine. Sous-sol archéologique, travée droite du chœur, côté nord, obstruction de l'arcade 103, face nord.



Fig. 303 - Châteaudun, église de la Madeleine. Sous-sol archéologique, abside, côté sud, pilastre situé à l'entrée du déambulatoire, face sud. Détail : trou de pêne.



Fig. 304 - Châteaudun, église de la Madeleine. Sous-sol archéologique, niveau de dallage en calcaire situé sur l'arase du mur en *opus spicatum*.



Fig. 305 - Châteaudun, église de la Madeleine. Sous-sol archéologique, abside, face est (extérieur), peintures murales.



Fig. 306 - Châteaudun, église de la Madeleine. Sous-sol archéologique, abside (extérieur), côté nord-est, *graffiti*.



Fig. 307 - Châteaudun, église de la Madeleine. Sous-sol archéologique, base polygonale de la cinquième pile gothique, côté nord, face sud.



Fig. 308 - Châteaudun,
église de la Madeleine.
Sous-sol archéologique,
niveau de dallage en terre
cuite associé à la
cinquième pile gothique.



Fig. 309 - Châteaudun,
église de la Madeleine.
Sous-sol archéologique,
abside (intérieur, côté
nord) et fondations du
XVI^e siècle.





Fig. 310 - Châteaudun, église de la Madeleine. Sous-sol archéologique, chapelle axiale, côté sud, face sud.



Fig. 311 - Châteaudun, église de la Madeleine. Sous-sol archéologique, maçonnerie séparant l'entrée du déambulatoire et de la chapelle orientée, côté sud, face ouest.



Fig. 312 - Châteaudun,
église de la Madeleine.
Sous-sol archéologique,
collatéral sud du chœur,
pilastre, face nord.



Fig. 313 - Châteaudun,
église de la Madeleine.
Sous-sol
archéologique,
collatéral sud, dernière
travée, mur gouttereau
sud, face nord.





Fig. 314 - Châteaudun,
église de la Madeleine.
Sous-sol archéologique,
chapelle orientée nord,
pilastre d'entrée, face est.

Fig. 315 - Châteaudun,
église de la Madeleine.
Sous-sol archéologique,
déambulatoire, côté sud,
mur de condamnation, face
sud.





▲
 Fig. 316 - Châteaudun,
 église de la Madeleine.
 Sous-sol archéologique,
 chapelle axiale, mur de
 condamnation du
 déambulatoire, côté sud,
 face nord.



►
 Fig. 317 - Châteaudun,
 église de la Madeleine.
 Sous-sol archéologique,
 obstruction du
 déambulatoire, côté nord,
 face sud.



Fig. 318 - Châteaudun, église de la Madeleine. Sous-sol archéologique, murs d'orientation est-ouest situés dans le collatéral sud du chœur.



Fig. 319 - Châteaudun, église de la Madeleine. Sous-sol archéologique, maçonnerie plaquée contre le contrefort sud de la chapelle axiale.



Fig. 320 - Châteaudun, église de la Madeleine. Sous-sol archéologique, fondation (23011) de l'abside du XVI^e siècle, côté sud-est.



Fig. 321 - Châteaudun, église de la Madeleine. Sous-sol archéologique, fondation (23004) de l'abside du XVI^e siècle, côté nord-est. Détail : pierre sculptée polychrome dans la fondation sur le MUR 202.





Fig. 322 - Châteaudun, église de la Madeleine. Sous-sol archéologique, fondation (23004) de l'abside du XVI^e siècle, côté nord-est. Détail : carreaux de terre cuite dans un radier sur la chapelle axiale.



Fig. 323 - Châteaudun, église de la Madeleine. Sous-sol archéologique, pile soutenant la dalle montée sur le mur sud de la chapelle axiale.



Fig. 324 - Châteaudun, église de la Madeleine. Sous-sol archéologique, mur en *opus spicatum* d'orientation est-ouest situé dans l'espace III, secteur 1.



Fig. 325 - Châteaudun, église de la Madeleine. Sous-sol archéologique, coupe stratigraphique située à l'extrémité ouest de l'espace III.



◀
Fig. 326 - Châteaudun,
église de la Madeleine.
Sous-sol
archéologique,
collatéral nord du
chœur, angle de la
maçonnerie en *opus
spicatum*.

Fig. 327 - Châteaudun,
église de la Madeleine.
Sous-sol
archéologique,
collatéral nord du
chœur, stratigraphie
située sur la
maçonnerie en *opus
spicatum* d'orientation
nord-sud.





▲
 Fig. 328 -
 Châteaudun, église
 de la Madeleine.
 Sous-sol
 archéologique,
 collatéral nord du
 chœur, vue générale
 vers l'est.



▶
 Fig. 329 -
 Châteaudun, église de
 la Madeleine. Sous-
 sol archéologique,
 collatéral nord du
 chœur, mur
 gouttereau nord, face
 sud.



Fig. 330 - Châteaudun, église de la Madeleine. Sous-sol archéologique, collatéral nord du chœur, mur gouttereau nord, pilastre, face sud. Détail : marque lapidaire ou *graffiti*.



Fig. 331 - Châteaudun, église de la Madeleine. Sous-sol archéologique, collatéral nord du chœur, mur gouttereau nord, pilastre, face ouest. Détail : marque lapidaire.



Fig. 332 - Châteaudun, église de la Madeleine. Sous-sol archéologique, collatéral nord du chœur, vue vers l'ouest.



Fig. 333 - Châteaudun, église de la Madeleine. Sous-sol archéologique, collatéral nord, mur sud du clocher, côté ouest.



Fig. 334 - Châteaudun, église de la Madeleine. Sous-sol archéologique, collatéral nord, mur sud du clocher, côté est.



Fig. 335 - Châteaudun, église de la Madeleine. Sous-sol archéologique, collatéral nord, espace III, secteur 2, pile de la dernière travée de la nef, côté nord-est.



Fig. 336 - Châteaudun, église de la Madeleine. Sous-sol archéologique, collatéral nord, PIL 105, côté nord-ouest.



Fig. 337 - Châteaudun, église de la Madeleine. Sous-sol archéologique, stratigraphie conservée dans l'espace III, secteur 1.

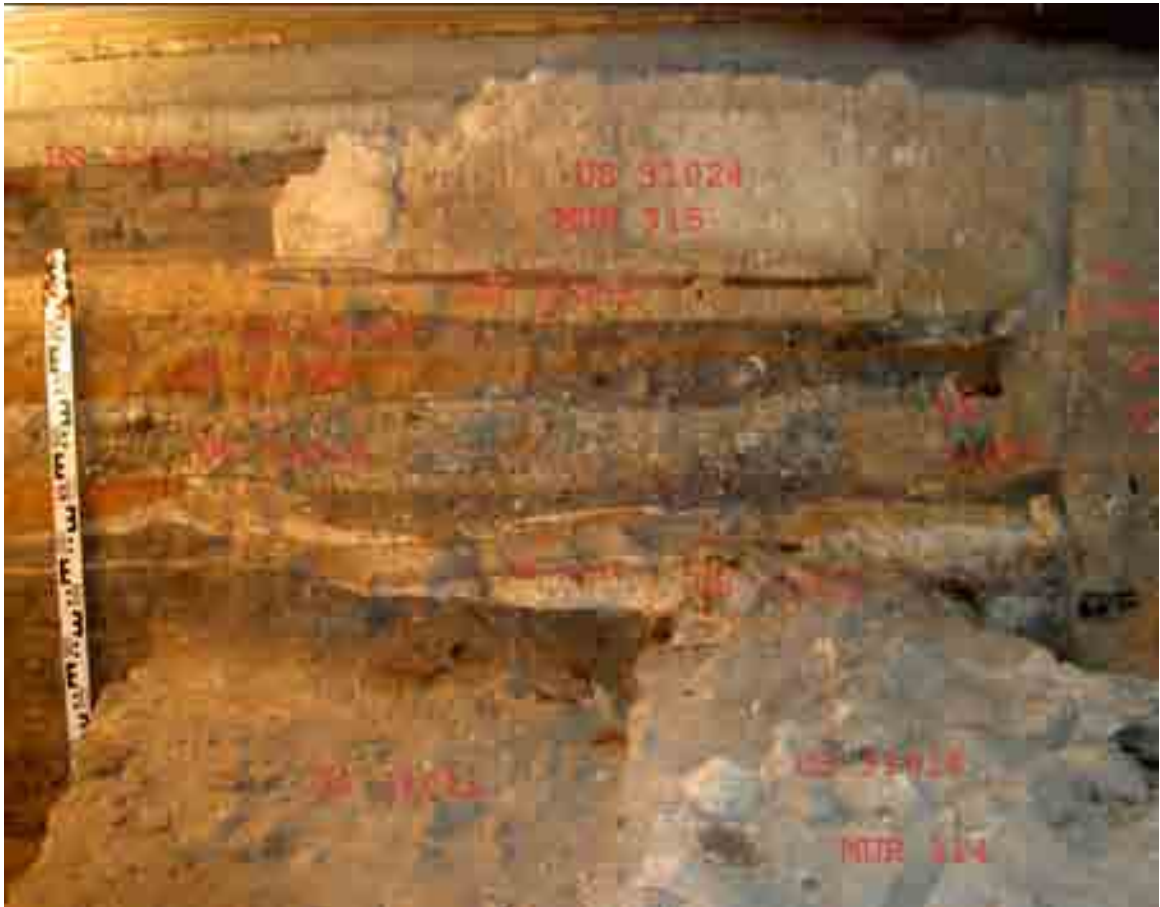


Fig. 338 -
Châteaudun, église
de la Madeleine.
Sous-sol
archéologique,
coupe
stratigraphique
située à l'extrémité
ouest de l'espace III.



Fig. 339 - Châteaudun,
église de la Madeleine.
Collatéral nord de la nef,
mur gouttereau nord et
avec niveau de dallage
de terre cuite, vue vers
l'ouest. Détail d'un
carreau : motif de
chevrons incisés. Méd.
Patrimoine, 16 L 03265
(Fonds Trouvelot, 1958-
1959).



◀
 Fig. 340 - Châteaudun,
 église de la Madeleine.
 Quatrième pilier
 gothique, côté nord,
 fondation (refait en
 1692), vue vers le sud au
 cours de la construction
 de la dalle du sous-sol
 archéologique. Méd.
 Patrimoine, 16 L 03214
 (Fonds Trouvelot, 1958-
 1959).



▶
 Fig. 341 - Châteaudun,
 église de la
 Madeleine. Collatéral
 nord du chœur,
 emmarchements
 successifs d'entrée
 (descente), vue
 sud-est. Méd.
 Patrimoine,
 16 L 03183 (Fonds
 Trouvelot, 1958-
 1959).



◀
 Fig. 342 - Châteaudun, église de la Madeleine. Abside, pile ouest, côté sud, vue vers le sud-ouest au cours de la construction de la dalle du sous-sol archéologique. Méd. Patrimoine, 16 L 03154 (Fonds Trouvelot, 1958-1959).



▶
 Fig. 343 - Châteaudun, église de la Madeleine. Sous-sol archéologique, pilier de la dernière travée de la nef, côté sud (PIL 404).



Fig. 344 - Châteaudun, église de la Madeleine. Sous-sol archéologique, mur séparant le vaisseau central et le collatéral sud, face nord.



Fig. 345 - Châteaudun, église de la Madeleine. Sous-sol archéologique, pilier de la dernière travée de la nef, côté nord (PIL 401).



Fig. 346 - Châteaudun, église de la Madeleine. Sous-sol archéologique, niveau de dallage de calcaire situé à l'ouest de l'abside.



Fig. 347 - Châteaudun, église Saint-Jean-de-la-Chaine. Chevet vu du sud-est.



Fig. 348 - Châteaudun, église Saint-Lubin. Vue intérieure vers l'est.

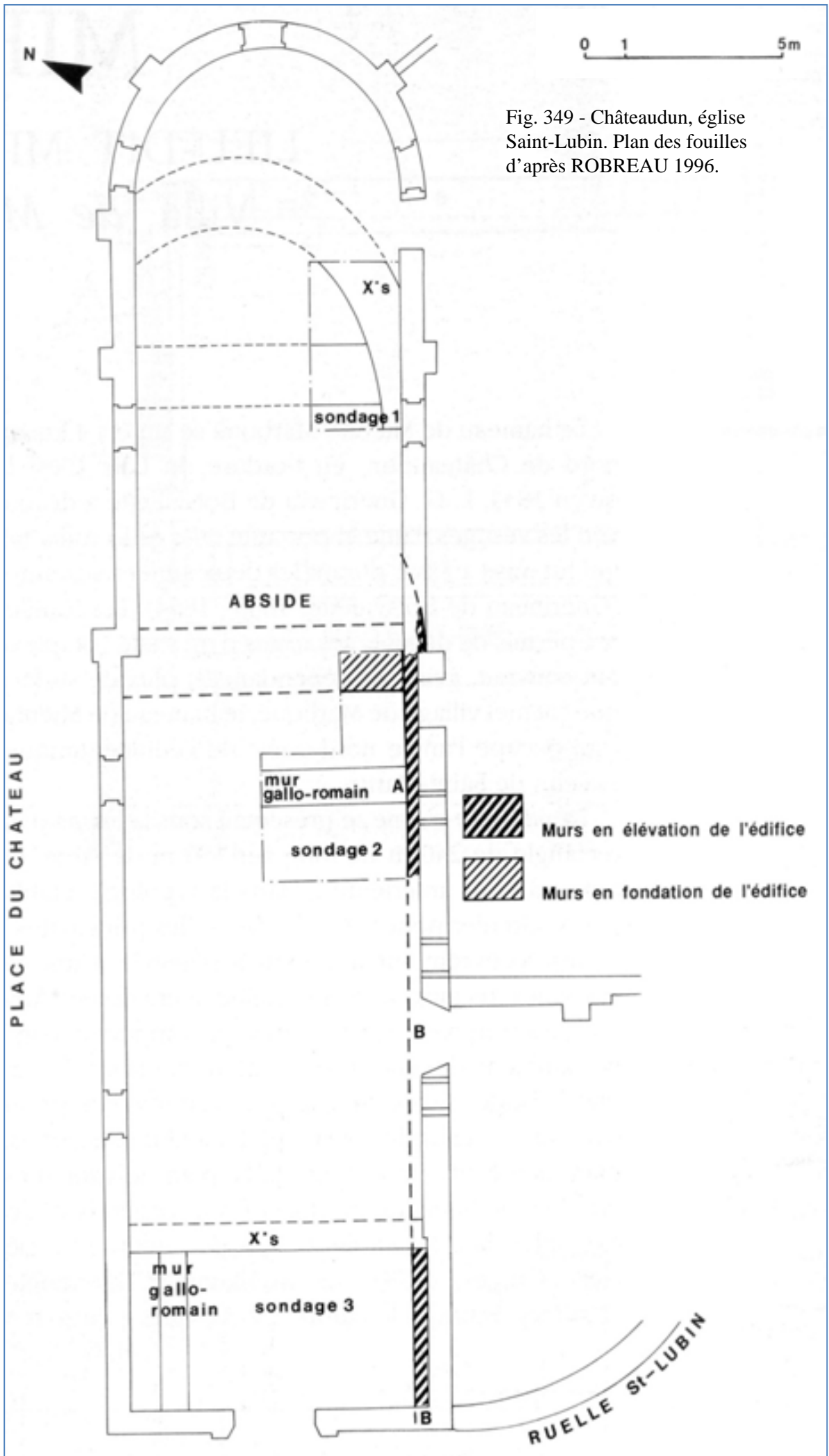




Fig. 350 - Châteaudun,
église Saint-Lubin. Nef,
mur sud, face sud.



Fig. 351 - Châteaudun,
église Saint-Lubin. Nef,
mur sud, face nord.





Fig. 352 - Châteaudun, église de la Madeleine. Fouilles de 1958-1959, petite châsse en terre cuite gravée : face antérieure, face postérieure, vue de trois-quarts et vue du dessous. Méd. Patrimoine cl. sap01_62P00991_p, sap01_62P00992_p, sap01_62P00993_p et sap01_62P00994_p (Ferron, 1962).



Fig. 353 - Châteaudun, église de la Madeleine. Annexe nord de la nef, maçonnerie ouest-est et mur ouest, vue vers l'ouest. Au premier plan, abside (?). Méd. Patrimoine, 16 L 03375 (Fonds Trouvelot, 1958-1959).

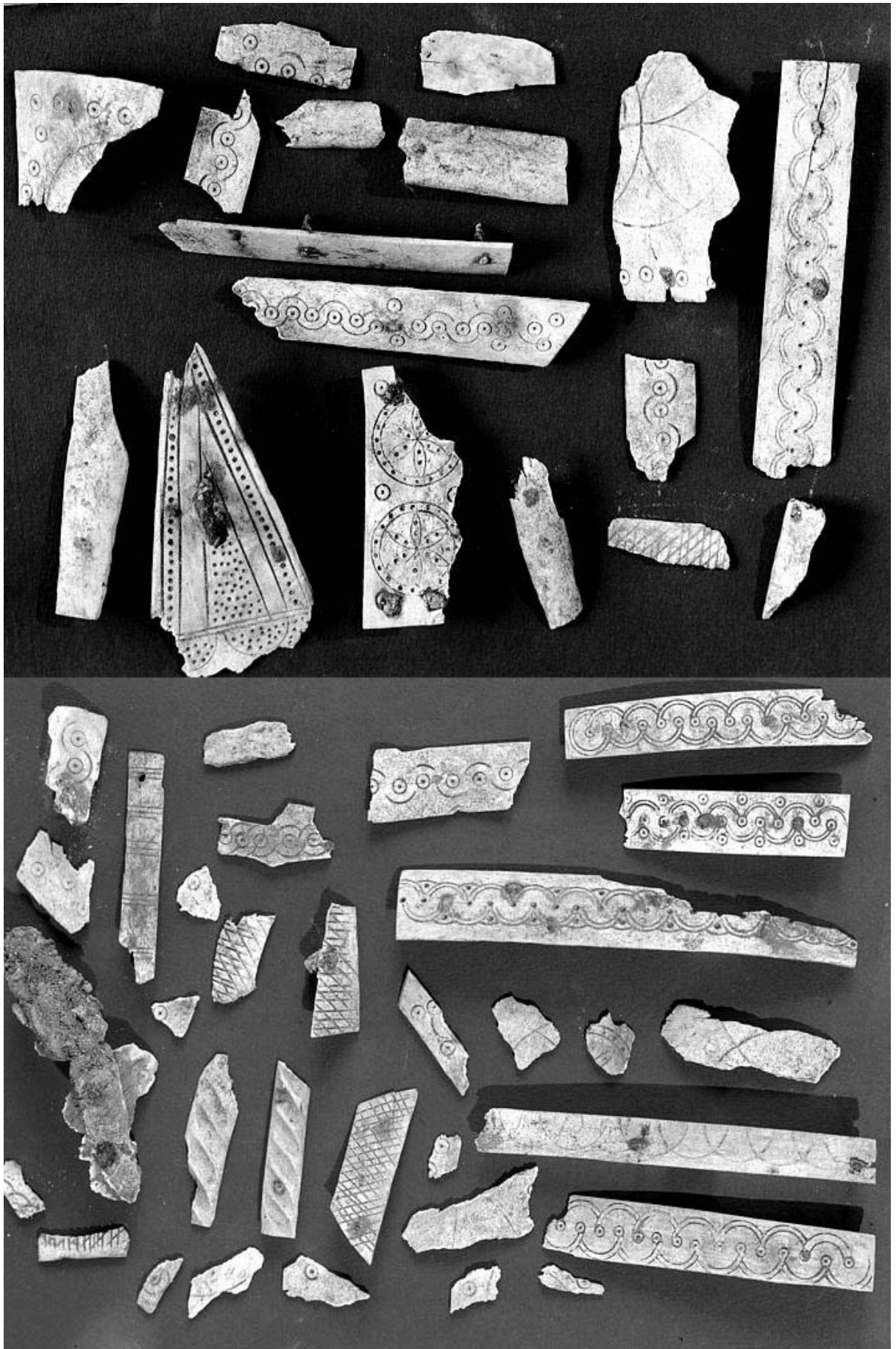


Fig. 354 - Châteaudun, église de la Madeleine. Morceaux d'un objet en os gravé trouvé dans les fouilles. Méd. Patrimoine cl. sap01_62P00989_p et sap01_62P00990_p (Ferron, 1962).



Fig. 355 - Châteaudun, église de la Madeleine. Clocher, face nord.



Fig. 356 - Châteaudun, église de la Madeleine. Clocher, salle basse, mur nord.



Fig. 357 - Châteaudun, église de la Madeleine. Collatéral nord de la nef, mur gouttereau nord, vue générale des fouilles vers l'est. Méd. Patrimoine, 16 L 03325 (Fonds Trouvelot, 1958-1959).

Fig. 358 - Châteaudun, église de la Madeleine. Sous-sol archéologique (espace V), angle nord-ouest de la nef.





Fig. 359 - Châteaudun, église de la Madeleine. Collatéral nord de la nef, niveau de dallage de terre cuite, vue vers l'ouest. Au premier plan, première pile (arasée) des grandes arcades, côté nord (?). Au second plan, fondation du premier pilier gothique, côté nord. Méd. Patrimoine, 16 L 03268 (Fonds Trouvelot, 1958-1959).



Fig. 360 - Châteaudun, église de la Madeleine. Soul-sol archéologique, emmarchement situé à l'entrée du déambulatoire et de la chapelle orientée, côté sud.





Fig. 361 - Châteaudun, église de la Madeleine. Côté ouest : pignon. Méd. Patrimoine cl. sap01_mh033769_p (C. Enlart, s.d.).



Fig. 362 - Châteaudun, église de la Madeleine. Collatéral sud de la collégiale gothique.



Fig. 363 - Châteaudun, église de la Madeleine. Collatéraux nord de la nef.



Fig. 364 - Châteaudun, église de la Madeleine. Sous-sol archéologique, chapelle axiale, angle nord-est, détail des peintures murales.



◀
 Fig. 365 - Châteaudun, église de la Madeleine. Collatéral nord de la nef, vue générale des fouilles vers le sud-est avec fonts baptismaux (?) et niveau de dallage de terre cuite. Méd. Patrimoine, 16 L 03359 (Fonds Trouvelot, 1958-1959).



▶
 Fig. 366 - Châteaudun, église de la Madeleine. Collatéral nord de la nef, fonts baptismaux (?), décaissement intérieur, stratigraphie, vue générale vers le sud. Méd. Patrimoine, 16 L 03367 (Fonds Trouvelot, 1958-1959).



Fig. 367 - Châteaudun, église de la Madeleine. Collatéral nord de la nef, fonts baptismaux (?), élément hydraulique de terre cuite recevant un tuyau de plomb (?) et quatre bases de colonnettes. Lieux de découverte et de conservation indéterminés. Méd. Patrimoine, 16 L 03374 (Fonds Trouvelot, 1958-1959).



Fig. 368 - Châteaudun, église de la Madeleine. Crypte de la collégiale gothique, collatéral sud et déambulatoire.





Fig. 369 - Châteaudun, église de la Madeleine. Ancienne chapelle rayonnante sud de la collégiale gothique, détail d'une baie.



Fig. 370 - Châteaudun, église de la Madeleine. Nef de la collégiale gothique, élévation côté sud.



▲
 Fig. 371 - Châteaudun, église de la Madeleine. Abside, côté nord. Vue vers l'est avec superpositions XIII^e (cinquième pilier gothique) et XVI^e siècles (chœur). Méd. Patrimoine, 16 L 03004 (Fonds Trouvelot, 1958-1959).



▶
 Fig. 372 - Châteaudun, église de la Madeleine. Abside de la collégiale gothique.



Fig. 373 - Tournus, église Saint-Philibert. Chevet vu du sud-est.



Fig. 374 - Saint-Savin-sur-Gartempe, église Saint-Savin-et-Saint-Cyprien. Chevet vu de l'est.



Fig. 375 - Toulx-Sainte-Croix, église Sainte-Croix-et-Saint-Martial. Chevet vu du nord-est.



◀
 Fig. 376 - Vendôme, église de la Trinité. Croisée du transept, chapiteau sud-ouest.

Fig. 377 - Tours, église Saint-Martin. Le tombeau au XII^e siècle d'après les textes et les vestiges retrouvés en 1860, d'après LELONG 1988 : 104, fig. 5.

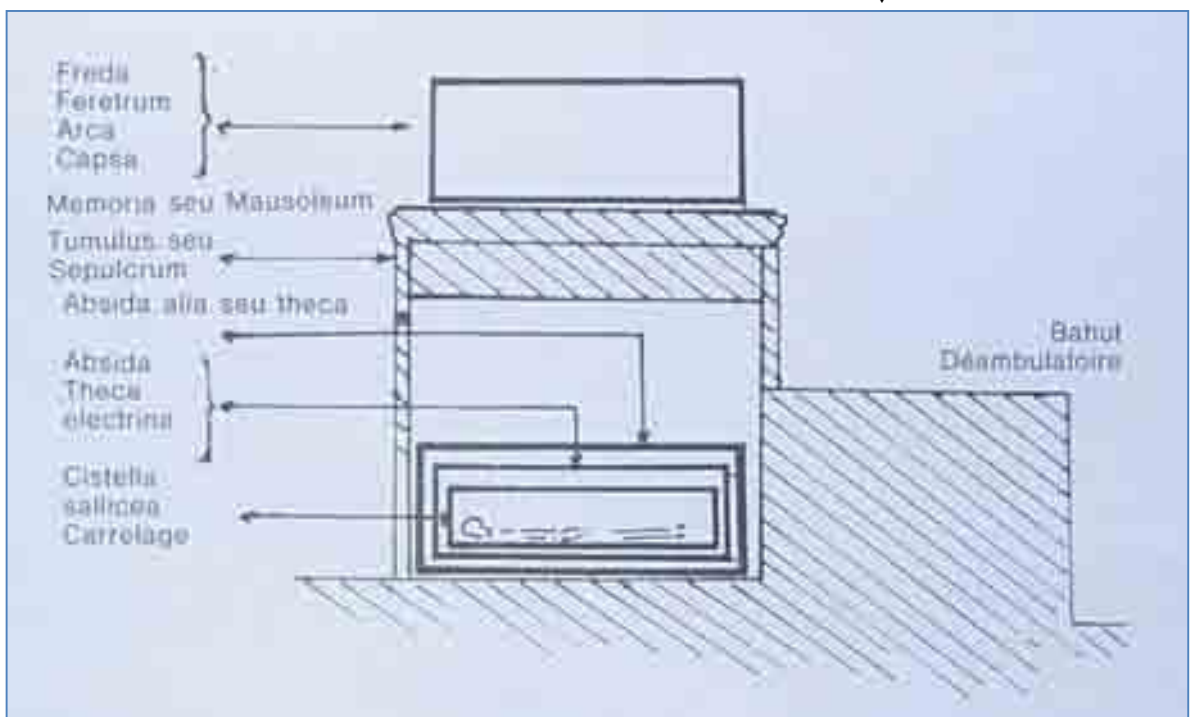




Fig. 378 - Nogent-le-Rotrou, église Saint-Denis. Chevet vu du nord-est.



Fig. 379 - Poitiers, église Sainte-Radegonde. Chevet vu de l'est.



Fig. 380 - Poitiers, église Saint-Hilaire. Chevet vu du nord.



Fig. 381 - Poitiers, église Saint-Jean-de-Montierneuf. Chevet vu du nord-est.



Fig. 382 - Clermont-Ferrand, cathédrale Notre-Dame. Crypte, déambulatoire vu vers le nord-ouest.



Fig. 383 - Clermont-Ferrand, cathédrale Notre-Dame. Crypte, chapelle rayonnante.



Fig. 384 - Clermont-Ferrand, cathédrale Notre-Dame. Crypte, salle centrale vue vers le sud-est.

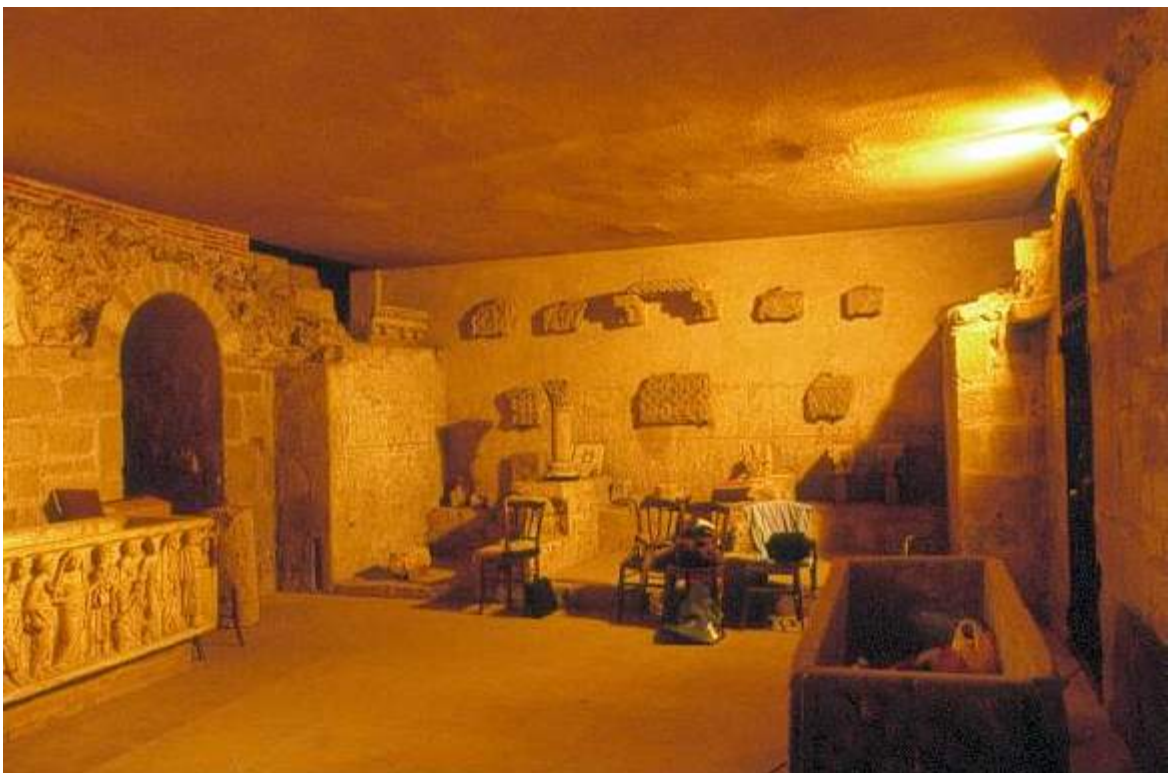


Fig. 385 - Clermont-Ferrand, cathédrale Notre-Dame. Crypte, salle centrale vue vers le nord-ouest.



Fig. 386 - Clermont-Ferrand, cathédrale Notre-Dame. Crypte, chapelles rayonnantes, fondations.



Fig. 387 - Clermont-Ferrand, cathédrale Notre-Dame. Crypte, déambulatoire.

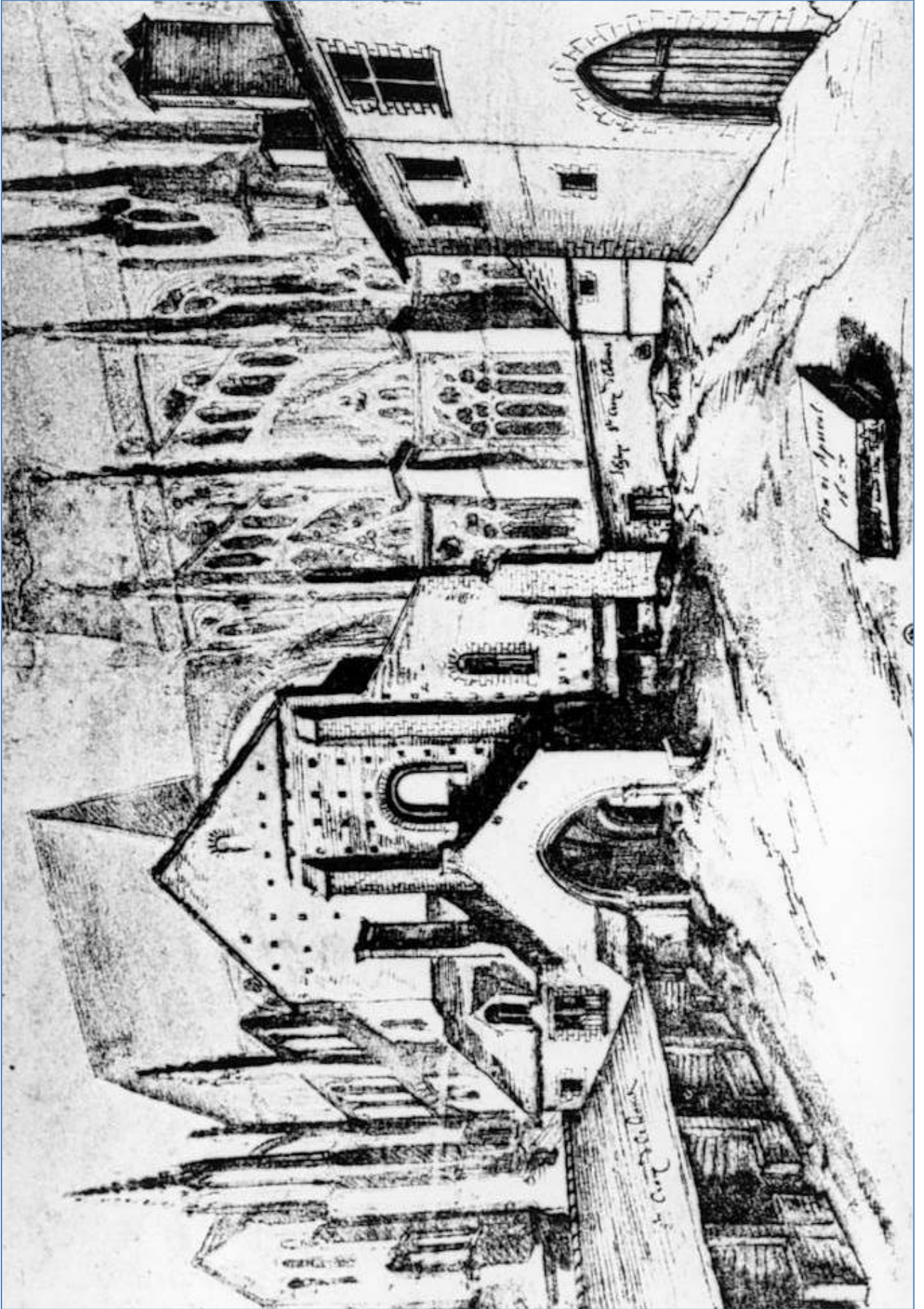


Fig. 388 - Orléans, cathédrale Sainte-Croix. Vue générale des vestiges du bras sud du transept vers le nord, d'après E. Martellange, avril 1623.

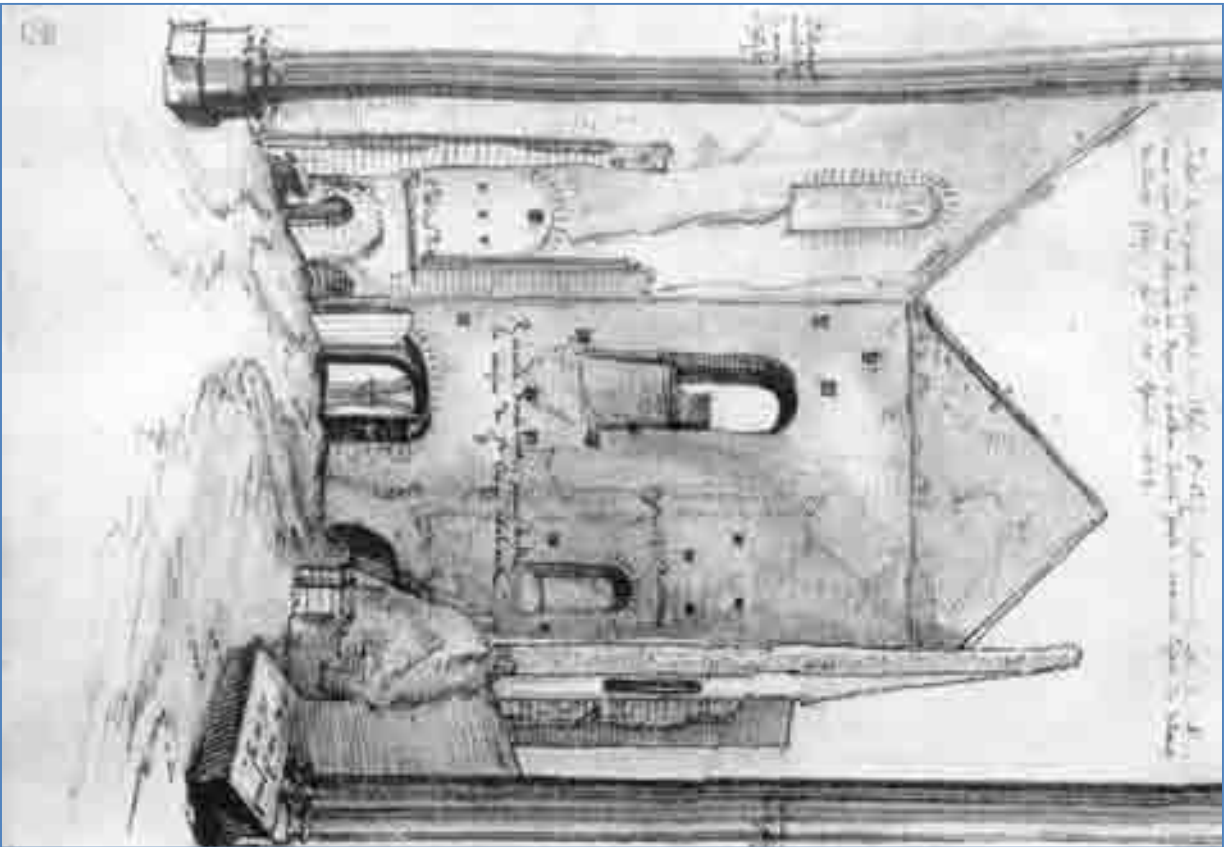


Fig. 389 - Orléans, cathédrale Sainte-Croix. Vue intérieure des vestiges du bras sud du transept vers le sud, d'après E. Martellange, avril 1623.

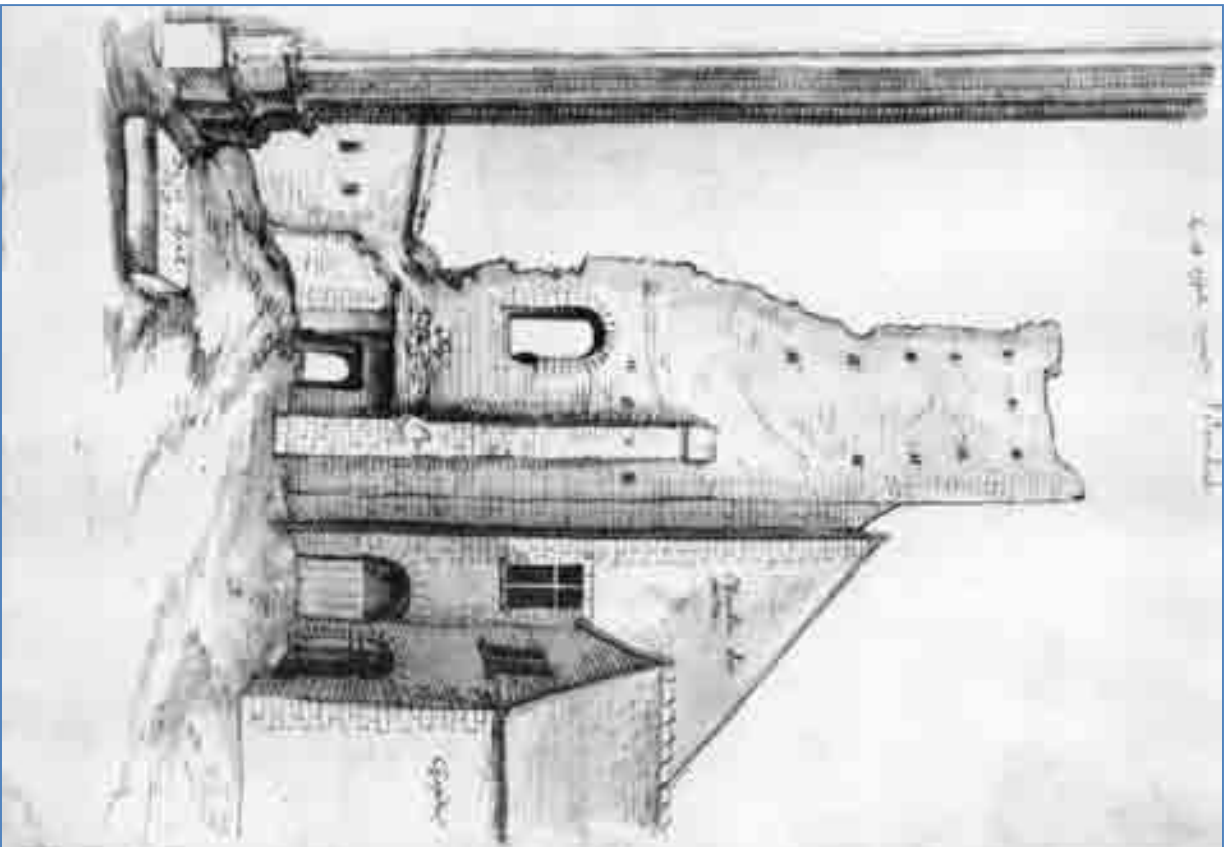


Fig. 390 - Orléans, cathédrale Sainte-Croix. Vue intérieure des vestiges du bras nord du transept vers le nord, d'après E. Martellange, avril 1623.



Fig. 391 - Orléans, cathédrale Sainte-Croix. Calorifère, jonction entre la première campagne et l'agrandissement du bras nord du transept.



Fig. 392 - Orléans, cathédrale Sainte-Croix. Calorifère, pile cruciforme de la première campagne.



Fig. 393 - Orléans, cathédrale Sainte-Croix. Sous-sol archéologique, pile cruciforme de la première campagne.



Fig. 394 - Orléans, cathédrale Sainte-Croix. Sous-sol archéologique, jonction entre la première campagne et l'agrandissement du chevet (piliers sud).





Fig. 395 - Saintes, église Saint-Eutrope. Crypte, salle centrale, vue générale vers l'est.



Fig. 396 - Orléans, cathédrale Sainte-Croix. Sous-sol archéologique, vue des vestiges entre la chapelle axiale et la chapelle sud-est.



Fig. 397 - Tournus, église Saint-Philibert. Chevet, vue générale intérieure vers le sud-est.



Fig. 398 - Tournus, église Saint-Philibert. Chevet, déambulatoire vu vers le nord-est.





Fig. 400 - Tournus, église Saint-Philibert. Crypte, salle centrale vue vers le nord-est.



Fig. 399 - Tournus, église Saint-Philibert. Chevet, chapelle rayonnante.



Fig. 401 - Tournus, église Saint-Philibert. Crypte, déambulatoire vu du sud-ouest.



Fig. 402 - Tournus, église Saint-Philibert. Crypte, salle centrale vue vers le nord.





Fig. 403 - Tournus, église Saint-Philibert. Crypte, déambulatoire et salle centrale vus de l'est.



Fig. 404 - Tournus, église Saint-Philibert. Crypte, salle centrale vue vers l'ouest.



Fig. 405 - Tournus, église Saint-Philibert. Crypte, déambulatoire vu vers le nord-ouest.



Fig. 406 - Auxerre, cathédrale Saint-Etienne. Crypte, salle centrale, vue générale vers le nord-est.

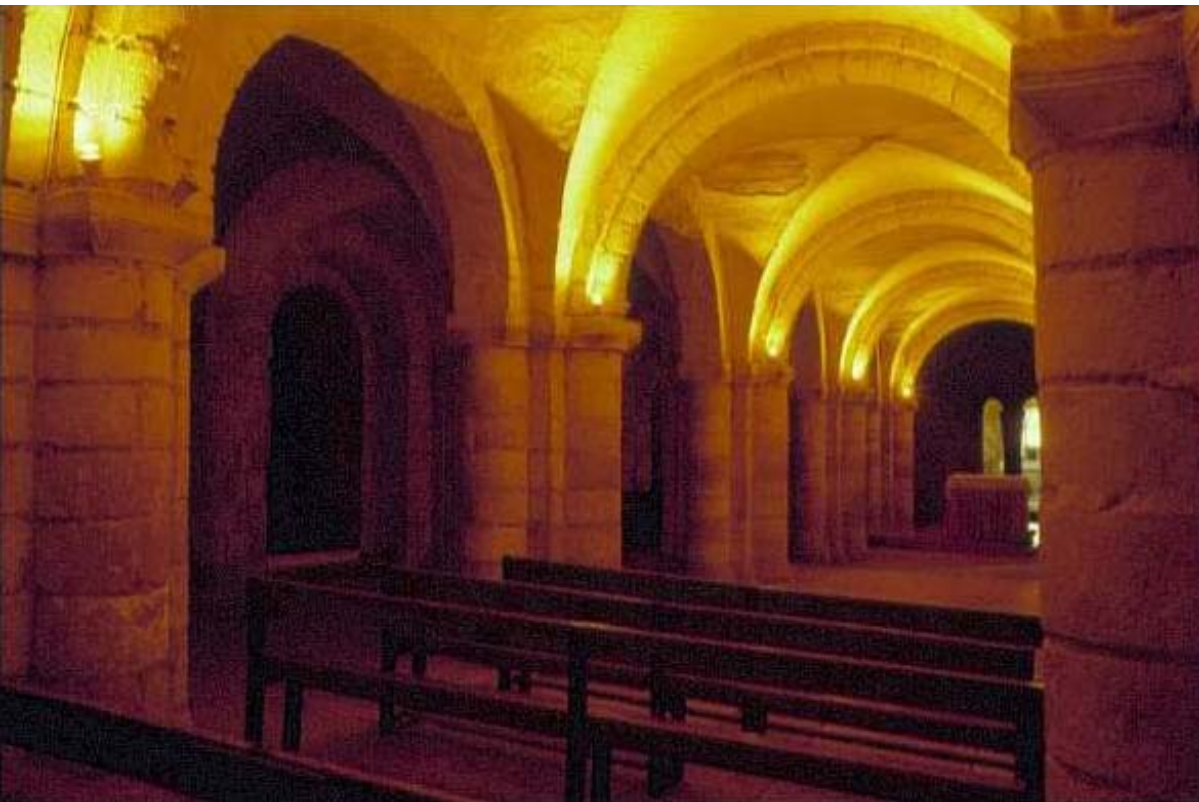




Fig. 407 - Auxerre, cathédrale Saint-Etienne. Crypte, déambulatoire vu vers le sud-ouest.



Fig. 408 - Auxerre, cathédrale Saint-Etienne. Crypte, chapelle axiale.



Fig.409 - Auxerre, cathédrale Saint-Etienne. Crypte, déambulatoire vu vers le nord-est.



Fig. 410 - Billom, église Saint-Cerneuf. Crypte, déambulatoire vu vers l'est.



Fig. 411 - Charlieu, église Saint-Fortunat. Fouilles archéologiques, vue des vestiges vers le sud-est.



Fig. 412 - Dijon, église Saint-Etienne. Crypte, vue générale des vestiges vers l'est.



Fig. 413 - Hildesheim, église Saint-Michel. Chevet occidental vu du sud-ouest, d'après Wulf 1996: pl. 75.

▼ Fig. 414 - Hildesheim, église Saint-Michel. Chevet occidental, crypte, salle centrale vue vers le nord-ouest, d'après Wulf 1996: pl. 88.



Fig. 415 - Hildesheim, église Saint-Michel. Chevet occidental, crypte, déambulatoire vu vers l'ouest, d'après Wulf 1996: pl. 89.



Fig. 416 - Ivryé, cathédrale Notre-Dame. Chevet occidental, vue extérieure vers le nord-est.



Fig. 417 - Ivryé, cathédrale Notre-Dame. Chevet occidental, déambulatoire.



Fig. 418 - Vérone, église Saint-Etienne. Chevet, vue extérieure vers le nord-est.



Fig. 419 - Vérone, église Saint-Etienne. Crypte, déambulatoire.



Fig. 420 - Vérone, église Saint-Etienne. Chevet, vue générale intérieure vers l'est.



Fig. 421 - Vérone, église Saint-Etienne. Chevet, déambulatoire.

TABLE DES FIGURES

Table des figures

Sauf indication contraire, tous les clichés sont de l'auteur

1. Les églises de pèlerinage, d'après CONANT 1959. 1 : Tours, Saint-Martin. 2 : Limoges, Saint-Martial. 3 : Conques, Sainte-Foy. 4 : Toulouse, Saint-Sernin. 5 : Compostelle, Saint-Jacques.
2. Orléans. Plan de situation extrait de la carte I.G.N. 22190 (1:25000°).
3. Orléans. Cadastre, section BM, 1969.
4. Orléans, cadastre napoléonien, section C dite de Saint-Aignan (1823) (A. D. Loiret : Fi 505 [2 Mi 5245]).
5. Orléans, église Saint-Aignan. Cloître (localisation inconnue), découvertes archéologiques faites en 1821, aquarelle de Thuillier, (coll. Société archéologique et historique de l'Orléanais).
6. Orléans, église Saint-Aignan. Plan des cryptes de L.-W. Clouët (1846). Méd. Patrimoine, réf. 1510.
7. Orléans, église Saint-Aignan. Crypte, *martyrium* vu vers le nord, première moitié du XIX^e siècle (?) (cl. Inventaire réf. 85 45 0423 X).
8. Orléans, crypte Saint-Avit. Mur transversal du *martyrium* vu vers l'ouest.
9. Orléans, église Saint-Aignan. Crypte, couloir sud, vue générale vers l'ouest.
10. Orléans, église Saint-Aignan. Crypte, collatéral nord et couloir nord, vue générale vers l'ouest.
11. Orléans, église Saint-Aignan. Coupe ouest-est du sondage ouvert à l'entrée du couloir sud et dans la première travée du collatéral sud de la crypte et plan de ce même sondage attribué à P. Rousseau, non daté (S.D.A.P. Loiret : dossier Orléans, église Saint-Aignan).
12. Orléans, église Saint-Aignan. Couloir sud, secteur 1 : maçonneries US 6014 et 6017. Au fond, le sol géologique (US 6029) (cl. C. Arnaud).
13. Orléans, église Saint-Aignan. Crypte, couloir sud, secteur 1 : murs de fondation US 6015 et 6017 (cl. C. Arnaud).
14. Orléans, église Saint-Aignan. Crypte, couloir sud, secteur 1 : vue vers l'est (cl. C. Arnaud).
15. Orléans, église Saint-Aignan. Crypte, couloir sud, secteur 3 : maçonneries US 6001 et 6002 (cl. C. Arnaud).
16. Orléans, église Saint-Aignan. Crypte, couloir sud, secteur 3 : maçonneries US 6002 et 6005 (cl. C. Arnaud).
17. Orléans, église Saint-Aignan. Crypte, couloir sud, secteur 3 : maçonneries US 6001 et 6003 (cl. C. Arnaud).
18. Orléans, église Saint-Aignan. crypte, façade du *martyrium*, chapiteaux. A : chapiteau sud, cl. sap01_mh072640_t. B : chapiteau nord, face est, cl. sap01_mh072643_t.
19. Orléans, église Saint-Aignan. Crypte, façade du *martyrium* vue vers le nord-ouest.
20. Orléans, église Saint-Aignan. Crypte, couloir nord, mur sud vu vers l'ouest.
21. Orléans, église Saint-Aignan. Crypte, couloir sud, mur nord vu vers l'ouest.
22. Orléans, église Saint-Aignan. Crypte, façade du *martyrium*, travée nord.
23. Orléans, église Saint-Aignan. Crypte, *martyrium*, vue intérieure vers le sud.
24. Orléans, église Saint-Aignan. Crypte, *martyrium*, mur ouest, détail de la niche sud.
25. Orléans, église Saint-Aignan. Crypte, couloir sud, mur sud, pile 6012 et mur 6006.
26. Orléans, église Saint-Aignan. Crypte, couloir nord, mur nord, détail.
27. Orléans, église Saint-Aignan. Crypte, couloir sud, mur sud, baie 6086 vue vers l'est.
28. Orléans, église Saint-Aignan. Crypte, couloir nord, vue générale vers l'ouest.

29. Orléans, église Saint-Aignan. Crypte, couloir sud, voûte 6023 vue vers l'est.
30. Orléans, église Saint-Aignan. Crypte, couloir sud, voûte 6024 vue vers l'est.
31. Orléans, église Saint-Aignan. Crypte, couloir sud, voûte 6025 vue vers l'ouest.
32. Orléans, église Saint-Aignan. Crypte, couloir sud, mur nord, US 6022 et 6028.
33. Orléans, église Saint-Aignan. Crypte, couloir nord et collatéral nord, vue générale vers l'est.
34. Chartres, cathédrale Notre-Dame. Crypte Saint-Lubin, pilier sud-ouest.
35. Orléans, église Saint-Aignan. Crypte, espace I, chapelle rayonnante nord, vue générale (cl. J.-P. Martin).
36. Orléans, église Saint-Aignan. Crypte, espace II, chapelle axiale, vue intérieure vers l'est.
37. Orléans, église Saint-Aignan. Crypte, soubassement de la chapelle d'axe en 1979 (cl. Inventaire réf. 79 45 0757 X).
38. Orléans, église Saint-Aignan. Crypte, chapelle nord et collatéral nord vus vers le nord-ouest.
39. Orléans, église Saint-Aignan. Crypte, chapiteaux des arcatures murales des collatéraux. A : collatéral nord, chapiteau ouest, cl. sap01_mh072639_t. B : collatéral nord, chapiteau central, cl. sap01_mh072637_t. C : collatéral nord, chapiteau est, cl. sap01_mh072638_t. D : collatéral sud, chapiteau ouest, cl. sap01_mh072641_t.
40. Orléans, église Saint-Aignan. Crypte, collatéral nord, mur nord, travée ouest.
41. Orléans, église Saint-Aignan. Crypte, collatéral sud, mur sud, travée ouest.
42. Orléans, église Saint-Aignan. Crypte, salle centrale vue vers le sud-ouest.
43. Orléans, église Saint-Aignan. Crypte, déambulatoire, travée nord (cl. J.-P. Martin).
44. Orléans, église Saint-Aignan. Crypte, espace I, chapelle nord, niche 101, second claveau gauche, épigraphie SCS STE / PHANVS (cl. J.-P. Martin).
45. Orléans, église Saint-Aignan. Crypte, espace I, chapelle nord, niche orientale, emploi de sarcophage (cl. J.-P. Martin).
46. Orléans, église Saint-Aignan. Crypte, espace II, chapelle axiale (extérieur), vue du côté sud vers l'ouest.
47. Orléans, église Saint-Aignan. Crypte, espace II, chapelle axiale (extérieur), vue du côté nord vers l'ouest.
48. Orléans, église Saint-Aignan. Crypte, chapelle axiale, vue intérieure de la baie sud.
49. Orléans, église Saint-Aignan. Crypte, chapelle axiale, mur plat réaménagé sur l'absidiole.
50. Orléans, église Saint-Aignan. Crypte, chapelle axiale (intérieur), traces de badigeon jaune sur l'arc d'entrée.
51. Orléans, église Saint-Aignan. Espace III, soubassement de la chapelle sud-est, chapelles rayonnantes et déambulatoire de la crypte (cl. J.-P. Martin).
52. Orléans, église Saint-Aignan. Espace III, soubassement de la chapelle sud-est, vue générale vers le nord (cl. J.-P. Martin).
53. Orléans, église Saint-Aignan. Crypte, salle centrale vue vers le nord-est.
54. Orléans, église Saint-Aignan. Crypte, chapiteaux de la salle centrale (cl. Désir). A : chapiteau nord-est. B : chapiteau sud-est. C : chapiteau central, côté nord. D : chapiteau central, côté sud. E : chapiteau nord-ouest (face est). F : chapiteau sud-ouest.
55. Orléans, église Saint-Aignan. Crypte, salle centrale, chapiteau nord-ouest. A : face est. B : face nord (détail). C : face ouest.
56. Saint-Benoît-sur-Loire, abbatale Notre-Dame. Tour-porche, rez-de-chaussée vu du nord-ouest.
57. Orléans, cathédrale Sainte-Croix. Sous-sol archéologique, chapelle axiale, piédroit nord.
58. Orléans, cathédrale Sainte-Croix. Sous-sol archéologique, collatéral nord, pile composée.
59. Saint-Benoît-sur-Loire, abbatale Notre-Dame. Crypte Saint-Mommole, vue générale vers le sud-ouest.
60. Auxerre, cathédrale Saint-Etienne. Crypte, salle centrale, pile composée.
61. Nevers, cathédrale Saint-Cyr-et-Sainte-Julitte. Crypte, vue générale vers le nord-ouest.

62. Orléans, église Saint-Aignan. Crypte, salle centrale, sondage du Dr Lesueur : fondation des piliers de l'abside (cl. Désir, 17 déc. 1954).
63. Orléans, église Saint-Aignan. Crypte, espace V, déambulatoire nord vu vers le nord.
64. Orléans, église Saint-Aignan. Transept, bras sud, chapelle orientée mise au jour par le Dr Lesueur.
65. Orléans, église Saint-Aignan. Transept, bras nord, angle nord-est, sondage du Dr Lesueur (cl. Désir).
66. Orléans, église Saint-Aignan. Transept, bras nord, pilier à pilastre, sondage du Dr Lesueur (cl. Désir).
67. Orléans, église Saint-Aignan. Transept, bras nord, colonne, sondage du Dr Lesueur (cl. Désir).
68. *Tableau des Echevins*, vue de la ville d'Orléans. Anonyme, seconde moitié du XVI^e siècle (Orléans, Musée des Beaux-Arts).
69. Orléans, église Saint-Aignan. Collégiale, côté nord. Gravure d'après HUBERT 1661.
70. Orléans, église Saint-Aignan. Espace III, soubassement de la chapelle sud-est, mur sud-est (cl. J.-P. Martin).
71. Orléans, église Saint-Aignan. Collégiale, vue intérieure vers l'est en 1923. Cl. sap01_mh072510_t.
72. Orléans, église Saint-Aignan. Collégiale, collatéral sud, ancienne porte d'accès à la sacristie. Cl. sap01_mh034567_p (C. Enlart).
73. Orléans, église Saint-Aignan. Collégiale, déambulatoire, contrefort sud-est de l'ancienne abside.
74. Orléans, église Saint-Aignan. Collégiale, chapelle sud, vue des toitures vers le sud-est.
75. Orléans, église Saint-Aignan. Collégiale, chevet en 1923. Cl. sap01_mh072503_t.
76. Orléans, église Saint-Aignan. Collégiale, sacristies vues du sud avec renforcement des parties inférieures.
77. Orléans, église Saint-Aignan. Collégiale, sacristie occidentale, mur ouest, travée sud.
78. Orléans, église Saint-Aignan. Collégiale, sacristie occidentale, second niveau, cheminée du mur sud.
79. Orléans, église Saint-Aignan. Collégiale, sacristies, mur nord.
80. Orléans, église Saint-Aignan. Collégiale, sacristies, mur est.
81. Orléans, église Saint-Aignan. Collégiale, chevet et flanc nord (vers 1840 ?), lithographie de C. Pensée (cl. Inventaire réf. 78 45 1920 X).
82. Orléans, église Saint-Aignan. Collégiale, déambulatoire et chapelle rayonnante nord en 1923. Cl. sap01_mh072512_t.
83. Orléans, église Saint-Aignan. Crypte, espace I, chapelle nord, dallage (US 1016) fonctionnant avec l'enduit (USb 1012) (cl. J.-P. Martin).
84. Orléans, église Saint-Aignan. Crypte, salle centrale, sondage du Dr Lesueur : emmarchement et dallage de l'abside (cl. Désir, 17 déc. 1954).
85. Tours. Plan de situation extrait de la carte I.G.N. 1822E (1:25000^e).
86. Tours, église Saint-Martin. Plan du cloître en 1762, A. D. Indre-et-Loire : G 381 (cl. A. D. Indre-et-Loire, 83 37 0955 ZM).
87. Tours, église Saint-Martin. Dernière construction en 1014 par Hervé, trésorier du chapitre, copie d'après un dessin original de 1620, d'après CHAMPOISEAU 1841 (cl. R. Malnoury, 83 37 0406 X).
88. Tours, église Saint-Martin. Vue de la collégiale en cours de démantèlement vers 1795 (Société archéologique de Touraine).
89. Tours, église Saint-Martin. Tour de l'Horloge, face ouest. Cl. Méd. Patrimoine sap01_mh010953_p (E. Durand, s.d.).

90. Tours, église Saint-Martin. Tour Charlemagne, face sud. Cl. Méd. Patrimoine sap01_mh010955_p (E. Durand, s.d.).
91. Tours. Cadastre napoléonien, section C 2 (Préfecture, Hôtel de Ville et marché), 1811, A.D. Indre-et-Loire, 3P3 302.
92. Tours, basilique Saint-Martin. Murets du tombeau de saint Martin, d'après BESSE 1922 : pl. XVII.
93. Tours, église Saint-Martin. Vue des vestiges médiévaux visibles à l'air libre. A droite : première chapelle provisoire (vers 1865), aquarelle conservée aux Archives de la Basilique (cl. R. Malnoury, 83 37 2804 X).
94. Tours, basilique Saint-Martin. Vue cavalière du projet de reconstruction sur les fondations du XI^e siècle par A. Baillargé (1874), d'après BESSE 1922 : pl. XX.
95. Tours, basilique Saint-Martin. Coupe longitudinale du projet de reconstruction de la basilique sur les fondations du XI^e siècle par A. Baillargé (1874), d'après BESSE 1922 : pl. XXIV (cl. J.-C. Jacques, 86 37 0760 X).
96. Tours. Cadastre, section EH.
97. Tours, basilique Saint-Martin. Chevet vu du nord-ouest, d'après BESSE 1922 : pl. XXX.
98. Tours, basilique Saint-Martin. Vue générale des fouilles vers le sud-est (fin juillet 1886), d'après CHEVALIER 1888 : pl. 1.
99. Tours, basilique Saint-Martin. Vue générale des fouilles de 1886, dessin de M. Masquelez (Société archéologique de Touraine : 3082).
100. Tours, basilique Saint-Martin. Vue de la berme occidentale des fouilles avec alignement des piles composées du bras sud du transept, d'après CHEVALIER 1888 : pl. 3.
101. Tours, basilique Saint-Martin. Bras sud du transept, pile composée P4, d'après CHEVALIER 1888 : pl. 4.
102. Tours, basilique Saint-Martin. Vue extérieure de la chapelle méridionale du bras sud du transept, d'après CHEVALIER 1888 : pl. 2.
103. Tours, basilique Saint-Martin. Vue générale intérieure vers le nord, d'après BESSE 1922 : pl. XXXI.
104. Tours, basilique Saint-Martin. Crypte, vestiges de la chapelle axiale, vue générale vers l'est.
105. Tours, basilique Saint-Martin. Crypte, vestiges de la chapelle méridionale du bras sud du transept, vue générale vers l'est.
106. Tours, basilique Saint-Martin. Crypte, vestiges de la chapelle axiale, côté nord.
107. Tours, basilique Saint-Martin. Crypte, vestiges de la chapelle axiale, fondation (US 1003), détail du parement.
108. Tours, basilique Saint-Martin. Crypte, vestiges de la chapelle axiale, fondation (US 1003), détail de traces d'outils : pic ou broche.
109. Tours, basilique Saint-Martin. Crypte, vestiges de la chapelle axiale, fondation (US 1003), détail de traces d'outils : brettur.
110. Tours, basilique Saint-Martin. Crypte, vestiges de la chapelle axiale, fondation (US 1003), détail de traces d'outils : ciseau et polka.
111. Tours, basilique Saint-Martin. Crypte, vestiges de la chapelle axiale, fondation (US 1002) et élévation (US 1001).
112. Tours, basilique Saint-Martin. Crypte, vestiges de la chapelle axiale, élévation (US 1001), détail de traces d'outils : ciseau.
113. Tours, basilique Saint-Martin. Musée martinien, vue partielle du dépôt lapidaire.
114. Tours, basilique Saint-Martin. Crypte, vestiges de la chapelle méridionale du bras sud du transept, côté sud.
115. Tours, basilique Saint-Martin. Dépôt archéologique de l'Etat, vestiges de la chapelle méridionale du bras sud du transept, vue vers le nord.
116. Auxerre, cathédrale Saint-Etienne. Crypte, déambulatoire, partie sud-est.

117. Reims, église Saint-Remi. Vue générale intérieure vers le sud-est.
118. Beaulieu-lès-Loches, église de La Trinité. Nef, côté nord (travées 7, 8, 9).
119. Loches, tour-maîtresse. Mur ouest, revers.
120. Mehun-sur-Yèvre, église Notre-Dame. Hémicycle vu du nord-ouest.
121. Orléans, cathédrale Sainte-Croix. Sous-sol archéologique, hémicycle et autel matutinal vus du sud-est.
122. Nogent-le-Rotrou, église Saint-Denis. Hémicycle vu du sud-est.
123. Toulx-Sainte-Croix, église Sainte-Croix-et-Saint-Martial. Hémicycle vu du nord-ouest.
124. Vignory, église Saint-Etienne. Hémicycle vu du nord-ouest.
125. Rodes, église Sant-Pere. Abside vue vers le nord-est.
126. Saint-Savin-sur-Gartempe, église Saint-Savin-et-Saint-Cyprien. Hémicycle vu vers le sud-ouest.
127. Orléans, église Saint-Aignan. Crypte, déambulatoire et chapelles rayonnantes est et nord-est.
128. Tournus, église Saint-Philibert. Déambulatoire et chapelles rayonnantes vus du nord.
129. Beaulieu-lès-Loches, église de La Trinité. Chapelle rayonnante nord-est.
130. Selles-sur-Cher, église Saint-Eusice. Chevet vu du nord-est.
131. Saint-Aignan-sur-Cher, église Saint-Aignan. Chapelles rayonnantes vues de l'est.
132. L'Ile-Bouchard, église Saint-Léonard. Chevet vu du sud.
133. Saint-Benoît-sur-Loire, abbatale Notre-Dame. Chevet vu du sud-est.
134. Dun-sur-Auron, église Saint-Etienne. Déambulatoire et chapelle rayonnante nord-est.
135. Toulouse, église Saint-Sernin. Chevet vu du sud-est.
136. Conques, église Sainte-Foy. Chevet vu du nord-est.
137. Tournus, église Saint-Philibert. Déambulatoire, vue intérieure.
138. Orléans, église Saint-Aignan. Crypte, collatéral nord, arcatures murales.
139. Orléans, cathédrale Sainte-Croix. Sous-sol archéologique, collatéral nord, vestiges d'arcatures murales.
140. Nogent-le-Rotrou, église Saint-Denis. Déambulatoire, vestiges d'arcatures murales.
141. Saint-Savin-sur-Gartempe, église Saint-Savin-et-Saint-Cyprien. Déambulatoire, partie nord-est.
142. Vignory, église Saint-Etienne. Déambulatoire, vue intérieure.
143. Mehun-sur-Yèvre, église Notre-Dame. Déambulatoire, vue intérieure.
144. Tours, église Saint-Martin. Tour Charlemagne, vue vers le nord-est des vestiges mis au jour par C. Lelong.
145. Vendôme, église de La Trinité. Croisée du transept, pile composée nord-est.
146. Nogent-le-Rotrou, église Saint-Denis. Croisée du transept, pile composée nord-ouest.
147. Poitiers, église Saint-Hilaire. Clocher-porche, pile composée.
148. Tours, église Saint-Martin. Tour Charlemagne, chapiteau historié, cl. R. Malnoury 90 37 0481 X.
149. Tours, Musée Saint-Martin. Chapiteau trouvé en fouille dans le transept (découverte de C. Lelong au pied de la tour Charlemagne).
150. Tours, Musée Saint-Martin. Fragment de chapiteau à décor végétal.
151. Tours, Musée Saint-Martin. Fragments sculptés : tête de personnage et imposte à décor végétal.
152. Vignory, église Saint-Étienne. Chevet, vue intérieure vers l'est.
153. Toulx-Sainte-Croix, église Sainte-Croix-et-Saint-Martial. Abside, vue générale.
154. Bray-sur-Seine, église Sainte-Croix. Abside, vue intérieure vers le nord-est.
155. Saint-Savin-sur-Gartempe, église Saint-Savin-et-Saint-Cyprien. Chevet, vue intérieure vers le nord-est.
156. Conques, église Sainte-Foy. Abside, vue générale intérieure.
157. Toulouse, église Saint-Sernin. Abside vue vers le sud-est.

158. Mehun-sur-Yèvre. Plan de situation extrait de la carte I.G.N. 2324O (1:25000^e).
159. Mehun-sur-Yèvre. Cadastre napoléonien (cote 141/2), section A1, 1808 (A.D. Cher, AD18_Q3_C_0015).
160. Mehun-sur-Yèvre. Cadastre, section AX (1966).
161. Mehun-sur-Yèvre. Vue aérienne nord-ouest, église Notre-Dame et château. Cl. C.E.S.C.M. 17.502 (avant 1957).
162. Mehun-sur-Yèvre, église Notre-Dame. Lithographie extraite de CHAPUY, DEROY 1849 (n.p.).
163. Mehun-sur-Yèvre, église Notre-Dame. Clocher. Porche. Tribune. Coupe longitudinale. Plan. Élévations des façades nord et principale. Plan de la tribune et du porche. Détail d'une croix. Méd. Patrimoine doc. 009417 (G. Darcy, 15 novembre 1886).
164. Mehun-sur-Yèvre, église Notre-Dame. Élévation de la façade principale, état actuel. Indication de l'emplacement projeté pour le nouveau beffroi. Méd. Patrimoine doc. 009418 (G. Darcy, 15 novembre 1886).
165. Mehun-sur-Yèvre, église Notre-Dame. Vue intérieure de la nef vers l'est. Cl. Méd. Patrimoine MH0001694 (M. Mieusement, octobre 1888).
166. Mehun-sur-Yèvre, église Notre-Dame. Abside, côté nord. Cl. Méd. Patrimoine MH0001693 (M. Mieusement, octobre 1888).
167. Mehun-sur-Yèvre, église Notre-Dame. Façade sud. Cl. Méd. Patrimoine MH0001692 (M. Mieusement, octobre 1888).
168. Mehun-sur-Yèvre, église Notre-Dame. Ensemble sud. Cl. Méd. Patrimoine doc. 0032946 (C. Enlart, avant 1910).
169. Mehun-sur-Yèvre, église Notre-Dame. Partie inférieure du clocher au nord. Cl. Méd. Patrimoine doc. 0032947 (C. Enlart, avant 1910).
170. Mehun-sur-Yèvre, église Notre-Dame. La nef avant restauration : vue prise d'en haut. Cl. Méd. patrimoine 10L06588 (L. Roy, février 1912).
171. Mehun-sur-Yèvre, église Notre-Dame. La nef en cours de restauration. Cl. Méd. patrimoine 10L06591 (L. Roy, avril 1912).
172. Mehun-sur-Yèvre, église Notre-Dame. Plan extrait de DESHOULIERES 1931 : 331.
173. Mehun-sur-Yèvre, église Notre-Dame. Ensemble sud-est. Cl. Méd. patrimoine MH0097064 (G. Estève, avant 1932).
174. Mehun-sur-Yèvre, église Notre-Dame. Ensemble nord. Cl. Méd. patrimoine MH0097065 (G. Estève, avant 1932).
175. Mehun-sur-Yèvre, église Notre-Dame. Abside, côté nord-est. Cl. Méd. patrimoine MH0097066 (G. Estève, avant 1932).
176. Mehun-sur-Yèvre, église Notre-Dame. Coupes longitudinale et transversale. Plan archéologique. Plan des toitures. Méd. patrimoine doc. 081124 (A. Martinet, 1^{er} novembre 1944).
177. Mehun-sur-Yèvre, église Notre-Dame. Plan au niveau du sol et plan au niveau de l'extrados des voûtes du déambulatoire. Méd. patrimoine 0081-018-0068 (M. Ranjard, 1965).
178. Mehun-sur-Yèvre, église Notre-Dame. Élévations de l'abside et des chapelles rayonnantes. Méd. patrimoine 0081-018-0068 (M. Ranjard, 1965).
179. Mehun-sur-Yèvre, église Notre-Dame. Déambulatoire côté sud, mur-bahut, épitaphe d'un prêtre (époque mérovingienne).
180. Mehun-sur-Yèvre, église Notre-Dame. Nef, mur nord (extérieur), cinquième travée, inscription funéraire des époux Gilain (vers 1400).
181. Mehun-sur-Yèvre, église Notre-Dame. Clocher-porche, façade occidentale.
182. Mehun-sur-Yèvre, église Notre-Dame. Clocher-porche, face orientale du beffroi.
183. Mehun-sur-Yèvre, église Notre-Dame. Clocher-porche et anciennes fortifications.
184. Mehun-sur-Yèvre, église Notre-Dame. Porche, vue générale vers le sud.

185. Mehun-sur-Yèvre, église Notre-Dame. Portail occidental.
186. Mehun-sur-Yèvre, église Notre-Dame. Nef, tribune occidentale, arcade condamnée ouvrant autrefois sur la salle haute du clocher.
187. Mehun-sur-Yèvre, église Notre-Dame. Clocher-porche, salle haute vue vers le sud-ouest.
188. Mehun-sur-Yèvre, église Notre-Dame. Nef, cage d'escalier située dans l'angle nord-ouest.
189. Mehun-sur-Yèvre, église Notre-Dame. Nef, escalier situé dans l'angle nord-ouest.
190. Mehun-sur-Yèvre, église Notre-Dame. Clocher-porche, salle haute, porte d'accès depuis la tribune occidentale.
191. Mehun-sur-Yèvre, église Notre-Dame. Nef, vue générale vers l'est depuis la tribune occidentale.
192. Mehun-sur-Yèvre, église Notre-Dame. Nef, mur nord (extérieur), quatrième, troisième et deuxième travées.
193. Mehun-sur-Yèvre, église Notre-Dame. Nef, mur nord (extérieur), deux premières travées et clocher-porche.
194. Mehun-sur-Yèvre, église Notre-Dame. Nef, mur nord (extérieur), deuxième travée, porte condamnée.
195. Mehun-sur-Yèvre, église Notre-Dame. Passage transversal à la nef, actuelle chaufferie de l'édifice.
196. Mehun-sur-Yèvre, église Notre-Dame. Nef, mur nord (extérieur), sixième travée.
197. Mehun-sur-Yèvre, église Notre-Dame. Nef, mur sud (extérieur), trois dernières travées.
198. Mehun-sur-Yèvre, église Notre-Dame. Nef, mur sud (extérieur), première travée.
199. Mehun-sur-Yèvre, église Notre-Dame. Nef, mur sud (extérieur), deuxième travée.
200. Mehun-sur-Yèvre, église Notre-Dame. Nef, mur sud (extérieur), angle de la cinquième travée et de la chapelle méridionale.
201. Mehun-sur-Yèvre, église Notre-Dame. Nef, mur sud (extérieur), quatrième travée, détail de l'appareillage.
202. Mehun-sur-Yèvre, église Notre-Dame. Nef, mur sud (extérieur), troisième et quatrième travées, détail de différentes ouvertures.
203. Mehun-sur-Yèvre, église Notre-Dame. Nef, mur sud (extérieur), contrefort séparant les deux dernières travées, détail d'un remploi de sarcophage sculpté.
204. Mehun-sur-Yèvre, église Notre-Dame. Nef, mur sud (extérieur), quatrième travée, détail d'une perturbation de l'appareillage.
205. Mehun-sur-Yèvre, église Notre-Dame. Nef, mur nord (extérieur), quatrième travée, arcade condamnée.
206. Mehun-sur-Yèvre, église Notre-Dame. Nef, mur nord (intérieur), arcade condamnée.
207. Mehun-sur-Yèvre, église Notre-Dame. Chapelle méridionale, vue extérieure vers le nord-est.
208. Mehun-sur-Yèvre, église Notre-Dame. Déambulatoire côté sud, voûtement des huitième et neuvième travées.
209. Mehun-sur-Yèvre, église Notre-Dame. Chapelle méridionale, vue intérieure vers le sud-est.
210. Mehun-sur-Yèvre, église Notre-Dame. Chevet, vue générale vers l'est.
211. Mehun-sur-Yèvre, église Notre-Dame. Pignon du sanctuaire, face orientale, côté sud, détail d'un oculus condamné.
212. Mehun-sur-Yèvre, église Notre-Dame. Chevet, côté sud, deux premières arcades.
213. Mehun-sur-Yèvre, église Notre-Dame. Chevet vu du sud-est.
214. Mehun-sur-Yèvre, église Notre-Dame. Abside côté sud-est (extérieur), détail de la fenêtre haute.
215. Mehun-sur-Yèvre, église Notre-Dame. Pignon du sanctuaire, face orientale, côté sud, détail d'un modillon à copeaux de la corniche de l'abside.
216. Mehun-sur-Yèvre, église Notre-Dame. Pignon du sanctuaire, face orientale, côté nord, détail de modillons à copeaux de la corniche de l'abside.

217. Mehun-sur-Yèvre, église Notre-Dame. Chevet, vue du nord-est.
218. Mehun-sur-Yèvre, église Notre-Dame. Déambulatoire côté sud, voûtement de la cinquième à la septième travée.
219. Mehun-sur-Yèvre, église Notre-Dame. Déambulatoire côté sud, sixième travée située entre la chapelle axiale et la chapelle rayonnante sud.
220. Mehun-sur-Yèvre, église Notre-Dame. Déambulatoire côté sud, quatrième travée située entre la chapelle rayonnante nord et la chapelle axiale.
221. Mehun-sur-Yèvre, église Notre-Dame. Déambulatoire côté nord, deuxième travée, détail d'une ancienne baie condamnée.
222. Mehun-sur-Yèvre, église Notre-Dame. Chevet, déambulatoire (extérieur), travée sud-est, détail de la baie.
223. Mehun-sur-Yèvre, église Notre-Dame. Chevet vu du sud.
224. Mehun-sur-Yèvre, église Notre-Dame. Chevet, chapelle rayonnante nord.
225. Mehun-sur-Yèvre, église Notre-Dame. Chapelle rayonnante nord, vue intérieure.
226. Mehun-sur-Yèvre, église Notre-Dame. Chapelle rayonnante nord, couverture vue vers l'est.
227. Mehun-sur-Yèvre, église Notre-Dame. Chapelle axiale, vue intérieure.
228. Mehun-sur-Yèvre, église Notre-Dame. Chapelle rayonnante sud, vue intérieure.
229. Mehun-sur-Yèvre, église Notre-Dame. Chevet, vue générale du nord-est.
230. Mehun-sur-Yèvre, église Notre-Dame. Chevet, déambulatoire (extérieur), travée nord-est, détail d'une baie de la crypte.
231. Mehun-sur-Yèvre, église Notre-Dame. Chapelle rayonnante sud, vue extérieure.
232. Mehun-sur-Yèvre, église Notre-Dame. Chapelle axiale, détail extérieur d'une baie gothique condamnée.
233. Mehun-sur-Yèvre, église Notre-Dame. Nef, mur sud (extérieur), contrefort séparant les deuxième et troisième travées.
234. Pérusson, église Saint-Pierre. Vue du nord-ouest.
235. Suèvres, église Saint-Christophe. Nef, mur sud (extérieur).
236. La-Chapelle-Saint-Mesmin, église Saint-Mesmin. Nef, mur nord (extérieur), haut-vaisseau.
237. Jargeau, église Saint-Vrain. Nef, mur sud (extérieur), vue générale.
238. Mareau-aux-Bois, église Saint-Georges. Nef, mur nord (extérieur), vue générale.
239. Château-Landon, église Notre-Dame. Nef, mur nord (extérieur), vue générale.
240. Melun, église Notre-Dame. Nef, mur nord (extérieur), haut-vaisseau.
241. Andard, église Saint-Symphorien. Nef, mur sud.
242. Savennières, église Saint-Pierre-et-Saint-Romain. Vue du sud-ouest.
243. Mehun-sur-Yèvre, église Notre-Dame. Chapelle rayonnante nord, absidiole principale (extérieur), détail de la baie.
244. Norwich, cathédrale de La Trinité. Plan extrait de FERNIE 1993 : 20.
245. Rouen, cathédrale Notre-Dame. La crypte romane d'après G. Lanfry. Schéma extrait de RICHE 2001 : 184.
246. Bray-sur-Seine, église Sainte-Croix. Chevet vu du nord-est.
247. Saint-Savin-sur-Gartempe, église Saint-Savin-et-Saint-Cyprien. Chevet, vue extérieures des chapelles rayonnantes, coté sud-est.
248. Mehun-sur-Yèvre, église Notre-Dame. Chapelle axiale (extérieur), détail d'une baie de la crypte.
249. Mehun-sur-Yèvre, église Notre-Dame. Chapelle rayonnante nord (extérieur), détail d'une baie de la crypte.
250. Selles-sur-Cher, église Saint-Eusice. Déambulatoire, côté sud, accès à la crypte.
251. Le Mans, église Notre-Dame-de-la-Couture. Collatéral nord du chœur, accès à la crypte.
252. Rodes, église Sant-Pere. Chevet, déambulatoire, côté sud et accès à la crypte.
253. Saint-Savin-sur-Gartempe, église Saint-Savin-et-Saint-Cyprien. Chevet, accès à la crypte.

254. Poitiers, église Saint-Hilaire. Nef, vue intérieure vers l'est.
255. Chantelle, église Saint-Vincent. Chevet, vue intérieure vers l'est.
256. Orléans, cathédrale Sainte-Croix, sous-sol archéologique. Déambulatoire, côté nord-est, détail d'une pile du rond-point.
257. Rodes, église Sant-Pere. Chevet, vue intérieure vers le nord-est.
258. Uzerche, église Saint-Pierre. Chevet vu du nord-est.
259. Uzerche, église Saint-Pierre. Chevet, vue intérieure vers le nord-est.
260. Mehun-sur-Yèvre, église Notre-Dame. Abside côté sud (extérieur), détail d'une fenêtre haute.
261. Meusnes, église Saint-Pierre. Arc triomphal de la nef.
262. Veauce, église Sainte-Croix. Chevet vu du sud-est.
263. Châtel-Montagne, église Notre-Dame. Chevet vu du nord-est.
264. Saint-Myon, église Saint-Médulphe. Chevet vu du sud-est.
265. Chambon-sur-Voueize, église Sainte-Valérie. Nef, mur nord (extérieur).
266. Beaulieu-lès-Loches, église de La Trinité. Chapelle rayonnante nord-est (extérieur).
267. Mehun-sur-Yèvre, église Notre-Dame. Nef, mur sud, vue intérieure.
268. Chârost, église Saint-Michel. Façade ouest.
269. La Berthenoux, église Notre-Dame. Façade ouest. Cl. Méd. Patrimoine LP004619 (E. Lefèvre-Pontalis, avant 1923).
270. Mehun-sur-Yèvre, église Notre-Dame. Façade ouest, portail, chapiteaux et voussures.
271. Mehun-sur-Yèvre, église Notre-Dame. Nef, mur nord (extérieur), première travée, baie.
272. Mehun-sur-Yèvre, église Notre-Dame. Façade ouest, travée sud.
273. Mehun-sur-Yèvre, église Notre-Dame. Porche, chapiteau sud.
274. Mehun-sur-Yèvre, église Notre-Dame. Porche, chapiteau sud.
275. Mehun-sur-Yèvre, église Notre-Dame. Porche, chapiteau nord.
276. Mehun-sur-Yèvre, église Notre-Dame. Porche, chapiteau nord.
277. Mehun-sur-Yèvre, église Notre-Dame. Clocher-porche, mur nord (extérieur), Agneau pascal.
278. Avord, église Saint-Hugues. Façade ouest. Cl. Méd. Patrimoine MH00102202 (G. Estève, avant 1932).
279. Chârost, église Saint-Michel. Façade ouest, Agneau pascal.
280. Jussy-Champagne, église Saint-André. Façade ouest. Cl. Méd. Patrimoine 10L06352 (L. Roy, mars 1912).
281. Vornay, église Saint-Germain. Façade ouest. Cl. Méd. Patrimoine MH00021730 (G. Estève, avant 1932).
282. Châteaudun. Plan de situation extrait de la carte I.G.N. 2018E (1:25000^e).
283. Châteaudun. Plan schématique de la ville. DAO : P. Martin.
284. Châteaudun. Cadastre napoléonien, section A dite de la ville, s.d. Chartres, A.D. Eure-et-Loir, 3P 3944.
285. Châteaudun. Cadastre, section AI (1987).
286. Châteaudun, église de la Madeleine. Vue aérienne. Méd. Patrimoine cl. ivr24_89280087n_p (Henrard, 1954).
287. Châteaudun, église de la Madeleine. Ensemble nord-ouest. Méd. Patrimoine cl. sap01_mh051525_p (F. Martin-Sabon, 1906).
288. Châteaudun, église de la Madeleine. Plan archéologique de Esnault d'après OUTARDEL 1930.
289. Châteaudun, église de la Madeleine. Porte sud : arc extérieur sculpté. Méd. Patrimoine cl. MH0051527 (F. Martin-Sabon, 1906).
290. Châteaudun, église de la Madeleine. Vue intérieure du bas-côté sud. Méd. Patrimoine cl. MH0051526 (F. Martin-Sabon, 1906).

291. Châteaudun, église de la Madeleine. Plan croquis et élévation perspective, 20 juillet 1853. Chartres, A.D. Eure-et-Loir, 1 O art. 208.
292. Châteaudun, église de la Madeleine. Plan des fouilles, 1958-1959. Chartres, SDAP Eure-et-Loir.
293. Châteaudun, église de la Madeleine. Coupe longitudinale des fouilles, 1958-1959. Chartres, SDAP Eure-et-Loir.
294. Châteaudun, église de la Madeleine. Sous-sol archéologique, mur en *opus spicatum* (face est) délimitant les espaces I et IV.
295. Châteaudun, église de la Madeleine. Sous-sol archéologique, maçonnerie moyen appareil (PIL 106), face sud.
296. Châteaudun, église de la Madeleine. Sous-sol archéologique, abside, côté sud, fondation d'un pilastre, face sud.
297. Châteaudun, église de la Madeleine. Sous-sol archéologique, maçonnerie moyen appareil (PIL 106), face sud. Détail d'un signe lapidaire (A).
298. Châteaudun, église de la Madeleine. Sous-sol archéologique, travée droite du chœur, côté sud, fondations, face sud.
299. Châteaudun, église de la Madeleine. Sous-sol archéologique, abside, côté sud (intérieur), fondations.
300. Châteaudun, église de la Madeleine. Sous-sol archéologique, travée droite du chœur, côté sud, fondations de l'arcade 103, face nord.
301. Châteaudun, église de la Madeleine. Sous-sol archéologique, travée droite du chœur, côté sud, fondations de l'arcade 103, face sud.
302. Châteaudun, église de la Madeleine. Sous-sol archéologique, travée droite du chœur, côté nord, obstruction de l'arcade 103, face nord.
303. Châteaudun, église de la Madeleine. Sous-sol archéologique, abside, côté sud, pilastre situé à l'entrée du déambulatoire, face sud. Détail : trou de pêne.
304. Châteaudun, église de la Madeleine. Sous-sol archéologique, niveau de dallage en calcaire situé sur l'arase du mur en *opus spicatum*.
305. Châteaudun, église de la Madeleine. Sous-sol archéologique, abside, face est (extérieur), peintures murales.
306. Châteaudun, église de la Madeleine. Sous-sol archéologique, abside (extérieur), côté nord-est, *graffiti*.
307. Châteaudun, église de la Madeleine. Sous-sol archéologique, base polygonale de la cinquième pile gothique, côté nord, face sud.
308. Châteaudun, église de la Madeleine. Sous-sol archéologique, niveau de dallage en terre cuite associé à la cinquième pile gothique.
309. Châteaudun, église de la Madeleine. Sous-sol archéologique, abside (intérieur, côté nord) et fondations du XVI^e siècle.
310. Châteaudun, église de la Madeleine. Sous-sol archéologique, chapelle axiale, côté sud, face sud.
311. Châteaudun, église de la Madeleine. Sous-sol archéologique, maçonnerie séparant l'entrée du déambulatoire et de la chapelle orientée, côté sud, face ouest.
312. Châteaudun, église de la Madeleine. Sous-sol archéologique, collatéral sud du chœur, pilastre, face nord.
313. Châteaudun, église de la Madeleine. Sous-sol archéologique, collatéral sud, dernière travée, mur gouttereau sud, face nord.
314. Châteaudun, église de la Madeleine. Sous-sol archéologique, chapelle orientée nord, pilastre d'entrée, face est.
315. Châteaudun, église de la Madeleine. Sous-sol archéologique, déambulatoire, côté sud, mur de condamnation, face sud.

316. Châteaudun, église de la Madeleine. Sous-sol archéologique, chapelle axiale, mur de condamnation du déambulatoire, côté sud, face nord.
317. Châteaudun, église de la Madeleine. Sous-sol archéologique, obstruction du déambulatoire, côté nord, face sud.
318. Châteaudun, église de la Madeleine. Sous-sol archéologique, murs d'orientation est-ouest situés dans le collatéral sud du chœur.
319. Châteaudun, église de la Madeleine. Sous-sol archéologique, maçonnerie plaquée contre le contrefort sud de la chapelle axiale.
320. Châteaudun, église de la Madeleine. Sous-sol archéologique, fondation (23011) de l'abside du XVI^e siècle, côté sud-est.
321. Châteaudun, église de la Madeleine. Sous-sol archéologique, fondation (23004) de l'abside du XVI^e siècle, côté nord-est. Détail : pierre sculptée polychrome dans la fondation sur le MUR 202.
322. Châteaudun, église de la Madeleine. Sous-sol archéologique, fondation (23004) de l'abside du XVI^e siècle, côté nord-est. Détail : carreaux de terre cuite dans un radier sur la chapelle axiale.
323. Châteaudun, église de la Madeleine. Sous-sol archéologique, pile soutenant la dalle montée sur le mur sud de la chapelle axiale.
324. Châteaudun, église de la Madeleine. Sous-sol archéologique, mur en *opus spicatum* d'orientation est-ouest situé dans l'espace III, secteur 1.
325. Châteaudun, église de la Madeleine. Sous-sol archéologique, coupe stratigraphique située à l'extrémité ouest de l'espace III.
326. Châteaudun, église de la Madeleine. Sous-sol archéologique, collatéral nord du chœur, angle de la maçonnerie en *opus spicatum*.
327. Châteaudun, église de la Madeleine. Sous-sol archéologique, collatéral nord du chœur, stratigraphie située sur la maçonnerie en *opus spicatum* d'orientation nord-sud.
328. Châteaudun, église de la Madeleine. Sous-sol archéologique, collatéral nord du chœur, vue générale vers l'est.
329. Châteaudun, église de la Madeleine. Sous-sol archéologique, collatéral nord du chœur, mur gouttereau nord, face sud.
330. Châteaudun, église de la Madeleine. Sous-sol archéologique, collatéral nord du chœur, mur gouttereau nord, pilastre, face sud. Détail : marque lapidaire ou *graffiti*.
331. Châteaudun, église de la Madeleine. Sous-sol archéologique, collatéral nord du chœur, mur gouttereau nord, pilastre, face ouest. Détail : marque lapidaire.
332. Châteaudun, église de la Madeleine. Sous-sol archéologique, collatéral nord du chœur, vue vers l'ouest.
333. Châteaudun, église de la Madeleine. Sous-sol archéologique, collatéral nord, mur sud du clocher, côté ouest.
334. Châteaudun, église de la Madeleine. Sous-sol archéologique, collatéral nord, mur sud du clocher, côté est.
335. Châteaudun, église de la Madeleine. Sous-sol archéologique, collatéral nord, espace III, secteur 2, pile de la dernière travée de la nef, côté nord-est.
336. Châteaudun, église de la Madeleine. Sous-sol archéologique, collatéral nord, PIL 105, côté nord-ouest.
337. Châteaudun, église de la Madeleine. Sous-sol archéologique, stratigraphie conservée dans l'espace III, secteur 1.
338. Châteaudun, église de la Madeleine. Sous-sol archéologique, coupe stratigraphique située à l'extrémité ouest de l'espace III.

339. Châteaudun, église de la Madeleine. Collatéral nord de la nef, mur gouttereau nord et avec niveau de dallage de terre cuite, vue vers l'ouest. Détail d'un carreau : motif de chevrons incisés. Méd. Patrimoine, 16 L 03265 (Fonds Trouvelot, 1958-1959).
340. Châteaudun, église de la Madeleine. Quatrième pilier gothique, côté nord, fondation (refait en 1692), vue vers le sud au cours de la construction de la dalle du sous-sol archéologique. Méd. Patrimoine, 16 L 03214 (Fonds Trouvelot, 1958-1959).
341. Châteaudun, église de la Madeleine. Collatéral nord du chœur, emmarchements successifs d'entrée (descente), vue vers le sud-est. Méd. Patrimoine, 16 L 03183 (Fonds Trouvelot, 1958-1959).
342. Châteaudun, église de la Madeleine. Abside, pile ouest, côté sud, vue vers le sud-ouest au cours de la construction de la dalle du sous-sol archéologique. Méd. Patrimoine, 16 L 03154 (Fonds Trouvelot, 1958-1959).
343. Châteaudun, église de la Madeleine. Sous-sol archéologique, pilier de la dernière travée de la nef, côté sud (PIL 404).
344. Châteaudun, église de la Madeleine. Sous-sol archéologique, mur séparant le vaisseau central et le collatéral sud, face nord.
345. Châteaudun, église de la Madeleine. Sous-sol archéologique, pilier de la dernière travée de la nef, côté nord (PIL 401).
346. Châteaudun, église de la Madeleine. Sous-sol archéologique, niveau de dallage de calcaire situé à l'ouest de l'abside.
347. Châteaudun, église Saint-Jean-de-la-Chaine. Chevet vu du sud-est.
348. Châteaudun, église Saint-Lubin. Vue intérieure vers l'est.
349. Châteaudun, église Saint-Lubin. Plan des fouilles d'après ROBREAU 1996.
350. Châteaudun, église Saint-Lubin. Nef, mur sud, face sud.
351. Châteaudun, église Saint-Lubin. Nef, mur sud, face nord.
352. Châteaudun, église de la Madeleine. Fouilles de 1958-1959, petite châsse en terre cuite gravée : face antérieure, face postérieure, vue de trois-quarts et vue du dessous. Méd. Patrimoine cl. sap01_62P00991_p, sap01_62P00992_p, sap01_62P00993_p et sap01_62P00994_p (Ferron, 1962).
353. Châteaudun, église de la Madeleine. Annexe nord de la nef, maçonnerie ouest-est et mur ouest, vue vers l'ouest. Au premier plan, abside (?). Méd. Patrimoine, 16 L 03375 (Fonds Trouvelot, 1958-1959).
354. Châteaudun, église de la Madeleine. Morceaux d'un objet en os gravé trouvé dans les fouilles. Méd. Patrimoine cl. sap01_62P00989_p et sap01_62P00990_p (Ferron, 1962).
355. Châteaudun, église de la Madeleine. Clocher, face nord.
356. Châteaudun, église de la Madeleine. Clocher, salle basse, mur nord.
357. Châteaudun, église de la Madeleine. Collatéral nord de la nef, mur gouttereau nord, vue générale des fouilles vers l'est. Méd. Patrimoine, 16 L 03325 (Fonds Trouvelot, 1958-1959).
358. Châteaudun, église de la Madeleine. Sous-sol archéologique (espace V), angle nord-ouest de la nef.
359. Châteaudun, église de la Madeleine. Collatéral nord de la nef, niveau de dallage de terre cuite, vue vers l'ouest. Au premier plan, première pile (arasée) des grandes arcades, côté nord (?). Au second plan, fondation du premier pilier gothique, côté nord. Méd. Patrimoine, 16 L 03268 (Fonds Trouvelot, 1958-1959).
360. Châteaudun, église de la Madeleine. Sous-sol archéologique, emmarchement situé à l'entrée du déambulatoire et de la chapelle orientée, côté sud.
361. Châteaudun, église de la Madeleine. Côté ouest : pignon. Méd. Patrimoine cl. sap01_mh033769_p (C. Enlart, s.d.).
362. Châteaudun, église de la Madeleine. Collatéral sud de la collégiale gothique.
363. Châteaudun, église de la Madeleine. Collatéraux nord de la nef.

364. Châteaudun, église de la Madeleine. Sous-sol archéologique, chapelle axiale, angle nord-est, détail des peintures murales.
365. Châteaudun, église de la Madeleine. Collatéral nord de la nef, vue générale des fouilles vers le sud-est avec fonts baptismaux (?) et niveau de dallage de terre cuite. Méd. Patrimoine, 16 L 03359 (Fonds Trouvelot, 1958-1959).
366. Châteaudun, église de la Madeleine. Collatéral nord de la nef, fonts baptismaux (?), décaissement intérieur, stratigraphie, vue générale vers le sud. Méd. Patrimoine, 16 L 03367 (Fonds Trouvelot, 1958-1959).
367. Châteaudun, église de la Madeleine. Collatéral nord de la nef, fonts baptismaux (?), élément hydraulique de terre cuite recevant un tuyau de plomb (?) et quatre bases de colonnettes. Lieux de découverte et de conservation indéterminés. Méd. Patrimoine, 16 L 03374 (Fonds Trouvelot, 1958-1959).
368. Châteaudun, église de la Madeleine. Crypte de la collégiale gothique, collatéral sud et déambulatoire.
369. Châteaudun, église de la Madeleine. Ancienne chapelle rayonnante sud de la collégiale gothique, détail d'une baie.
370. Châteaudun, église de la Madeleine. Nef de la collégiale gothique, élévation côté sud.
371. Châteaudun, église de la Madeleine. Abside, côté nord. Vue vers l'est avec superpositions XIII^e (cinquième pilier gothique) et XVI^e siècles (chœur). Méd. Patrimoine, 16 L 03004 (Fonds Trouvelot, 1958-1959).
372. Châteaudun, église de la Madeleine. Abside de la collégiale gothique.
373. Tournus, église Saint-Philibert. Chevet vu du sud-est.
374. Saint-Savin-sur-Gartempe, église Saint-Savin-et-Saint-Cyprien. Chevet vu de l'est.
375. Toulx-Sainte-Croix, église Sainte-Croix-et-Saint-Martial. Chevet vu du nord-est.
376. Vendôme, église de la Trinité. Croisée du transept, chapiteau sud-ouest.
377. Tours, église Saint-Martin. Le tombeau au xiii^e siècle d'après les textes et les vestiges retrouvés en 1860, d'après Lelong 1988 : 104, fig. 5.
378. Nogent-le-Rotrou, église Saint-Denis. Chevet vu du nord-est.
379. Poitiers, église Sainte-Radegonde. Chevet vu de l'est.
380. Poitiers, église Saint-Hilaire. Chevet vu du nord.
381. Poitiers, église Saint-Jean-de-Montierneuf. Chevet vu du nord-est.
382. Clermont-Ferrand, cathédrale Notre-Dame. Crypte, déambulatoire vu vers le nord-ouest.
383. Clermont-Ferrand, cathédrale Notre-Dame. Crypte, chapelle rayonnante.
384. Clermont-Ferrand, cathédrale Notre-Dame. Crypte, salle centrale vue vers le sud-est.
385. Clermont-Ferrand, cathédrale Notre-Dame. Crypte, salle centrale vue vers le nord-ouest.
386. Clermont-Ferrand, cathédrale Notre-Dame. Crypte, chapelles rayonnantes, fondations.
387. Clermont-Ferrand, cathédrale Notre-Dame. Crypte, déambulatoire.
388. Orléans, cathédrale Sainte-Croix. Vue générale des vestiges du bras sud du transept vers le nord, d'après E. Martellange, avril 1623.
389. Orléans, cathédrale Sainte-Croix. Vue intérieure des vestiges du bras sud du transept vers le sud, d'après E. Martellange, avril 1623.
390. Orléans, cathédrale Sainte-Croix. Vue intérieure des vestiges du bras nord du transept vers le nord, d'après E. Martellange, avril 1623.
391. Orléans, cathédrale Sainte-Croix. Calorifère, jonction entre la première campagne et l'agrandissement du bras nord du transept.
392. Orléans, cathédrale Sainte-Croix. Calorifère, pile cruciforme de la première campagne.
393. Orléans, cathédrale Sainte-Croix. Sous-sol archéologique, pile cruciforme de la première campagne.
394. Orléans, cathédrale Sainte-Croix. Sous-sol archéologique, jonction entre la première campagne et l'agrandissement du chevet (piliers sud).

395. Saintes, église Saint-Eutrope. Crypte, salle centrale, vue générale vers l'est.
396. Orléans, cathédrale Sainte-Croix. Sous-sol archéologique, vue des vestiges entre la chapelle axiale et la chapelle sud-est.
397. Tournus, église Saint-Philibert. Chevet, vue générale intérieure vers le sud-est.
398. Tournus, église Saint-Philibert. Chevet, déambulatoire vu vers le nord-est.
399. Tournus, église Saint-Philibert. Chevet, chapelle rayonnante.
400. Tournus, église Saint-Philibert. Crypte, salle centrale vue vers le nord-est.
401. Tournus, église Saint-Philibert. Crypte, déambulatoire vu du sud-ouest.
402. Tournus, église Saint-Philibert. Crypte, salle centrale vue vers le nord.
403. Tournus, église Saint-Philibert. Crypte, déambulatoire et salle centrale vus de l'est.
404. Tournus, église Saint-Philibert. Crypte, salle centrale vue vers l'ouest.
405. Tournus, église Saint-Philibert. Crypte, déambulatoire vu vers le nord-ouest.
406. Auxerre, cathédrale Saint-Etienne. Crypte, salle centrale, vue générale vers le nord-est.
407. Auxerre, cathédrale Saint-Etienne. Crypte, déambulatoire vu vers le sud-ouest.
408. Auxerre, cathédrale Saint-Etienne. Crypte, chapelle axiale.
409. Auxerre, cathédrale Saint-Etienne. Crypte, déambulatoire vu vers le nord-est.
410. Billom, église Saint-Cerneuf. Crypte, déambulatoire vu vers l'est.
411. Charlieu, église Saint-Fortunat. Fouilles archéologiques, vue des vestiges vers le sud-est.
412. Dijon, église Saint-Etienne. Crypte, vue générale des vestiges vers l'est.
413. Hildesheim, église Saint-Michel. Chevet occidental vu du sud-ouest, d'après Wulf 1996: pl. 75.
414. Hildesheim, église Saint-Michel. Chevet occidental, crypte, salle centrale vue vers le nord-ouest, d'après Wulf 1996: pl. 88.
415. Hildesheim, église Saint-Michel. Chevet occidental, crypte, déambulatoire vu vers l'ouest, d'après Wulf 1996: pl. 89.
416. Ivree, cathédrale Notre-Dame. Chevet occidental, vue extérieure vers le nord-est.
417. Ivree, cathédrale Notre-Dame. Chevet occidental, déambulatoire.
418. Vérone, église Saint-Etienne. Chevet, vue extérieure vers le nord-est.
419. Vérone, église Saint-Etienne. Crypte, déambulatoire.
420. Vérone, église Saint-Etienne. Chevet, vue générale intérieure vers l'est.
421. Vérone, église Saint-Etienne. Chevet, déambulatoire.